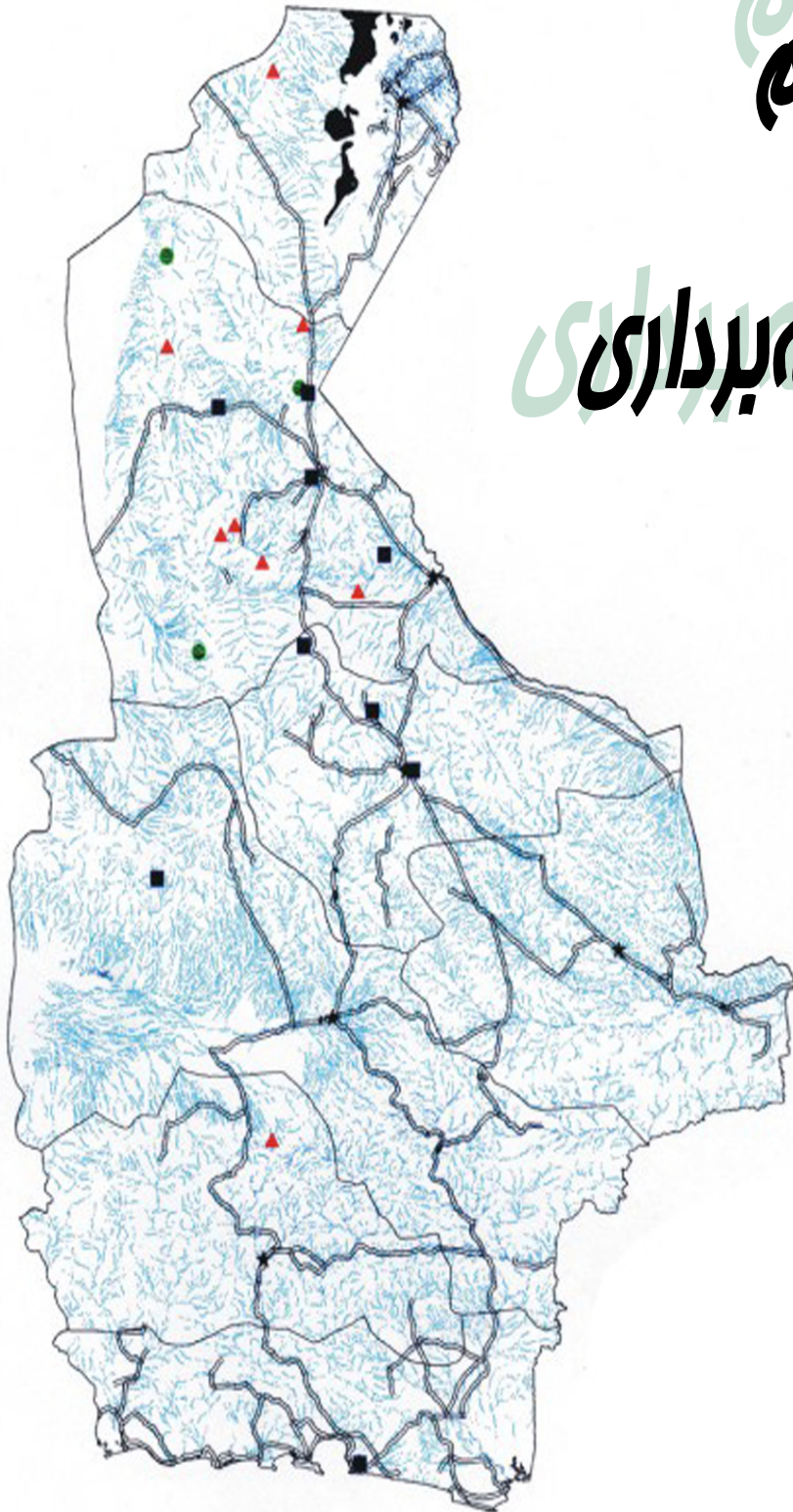


فصل دوم فصل دوم

نمونه برداری



مقدمه:

در ژئوشیمی اکتشافی سه بخش اساسی وجود دارد که شامل نمونه برداری، تجزیه نمونه‌ها و تفسیر نتایج می‌باشد که در این بین نمونه برداری صحیح از اهمیت خاصی برخوردار است. نظر به تشخیص آنومالی‌های واقعی و تمیز انواعی که به نهشته‌های کانساری مرتبط می‌باشند، از سایر انواع آن، لازم است تا جزء ثابتی از رسوبات آبراهه‌ای (برای مثال جزء ۸۰- مش) و یا کانی‌سنگین (جزء ۲۰-) مورد آزمایش قرار می‌گیرد. همچنین برداشت قطعات کانی‌سازی شده کف آبراهه، قطعات پوشیده شده از اکسیدهای آهن و منگنز، قطعات حاوی سیلیس آمورف و یا کربناتهای سیلیسی شده برای آنالیز یک یا چند عنصر یا کانی خاص، می‌تواند مفید واقع شود. عواملی که باید در این خصوص در نظر گرفته شوند شامل تیپ کانسار مورد انتظار، سنگ درونگیر، محیط تکتونیکی و دامنه سنی واحدهای زمین‌شناسی می‌باشند.

به طور کلی چگالی نمونه برداری از رسوبات آبراهه‌ای، تابع دانسیته آبراهه‌ها در حوضه آبریز است. برای مناطق خشک چگالی نمونه برداری می‌تواند به اندازه یک نمونه برای هر ۱ تا ۱۰ کیلومتر مربع تغییر کند.

طراحی شبکه نمونه برداری:

در طراحی شبکه نمونه برداری عوامل مؤثری می‌توانند دخالت داشته باشند. طراحی نمونه برداری طوری صورت گرفته است که حداکثر سازگاری را با روش مرکز ثقل داشته باشد. برای این منظور نقشه آبراهه‌های ناحیه با استفاده از نقشه توپوگرافی و با کمک گیری از عکس‌های هوایی ترسیم می‌گردد. همچنین با کمک گیری از نرم افزارهای GIS عواملی چون سنگ‌شناسی، تکتونیک، کنتاکت‌های توده‌های نفوذی و یا خروجی با نواحی اطراف، نواحی اطراف گسلها، زون‌های

دگرسان شده، مناطق مشکوک به آلتراسیون که با استفاده از عکسهای ماهواره‌ای تشخیص داده شده به همراه مطالعات انجام شده و اندیسهای معرفی شده در مناطق مختلف نیز در طراحی بهینه شبکه حائز اهمیت است. با در نظر گرفتن این موضوع، از مساحتی نزدیک به ۲۵۰۰ کیلومتر مربع تعداد ۵۸۰ نمونه ژئوشیمی طراحی گردید.

انجام عملیات نمونه برداری:

عملیات نمونه برداری توسط اکیپ کارشناسی و با کمک‌گیری از دستگاه GPS انجام گرفت. از تعداد ۵۸۰ نمونه ژئوشیمی، به دلیل صعب العبور بودن مناطق، نبود امکانات لازم و ناامن بودن منطقه ۵۵۳ نمونه ژئوشیمی برداشت گردید.

هر نمونه ژئوشیمی متشکل از حدود ۵۰۰ گرم جزء ۸۰- مش رسوبات آبراهه‌ای می‌باشد که ۱۰۰ گرم از نمونه‌ها را برای آزمایشگاه در نظر گرفته و مابقی برای بایگانی در نظر گرفته می‌شود. برای شناسایی نمونه‌ها شماره‌هایی که از قبل در اختیار کارشناسان قرار گرفته و منحصر به فرد است، اختصاص می‌دهیم. این شماره‌ها شامل یک کد دو حرفی معرف منطقه که حرف اول آن نمایانگر حرف اول برگه ۱:۱۰۰۰۰۰ و حرف دوم نیز نشان‌دهنده حرف اول شیت ۱:۵۰۰۰۰ آن منطقه است. در طی نمونه‌برداری برخی معیارها نیز اعمال گردید:

- ۱ - نمونه پس از کنارزدن مواد سطحی بستر آبراهه برداشت گردید.
- ۲ - به منظور کاهش خطای نمونه‌برداری سعی شده تا حد امکان طول مسیر برداشت نمونه در آبراهه افزایش یابد مشروط بر اینکه در طول مسیر شاخه فرعی جدید آبراهه را قطع نکند.
- ۳- از برداشت مواد آلی اجتناب شد چرا که اغلب بدلیل ارتباط با پدیده جذب، غلظت فلزات در آنها بالا است.

۴ - بر مبنای نظر کارشناسان و با توجه به اهداف اکتشاف در صورت لزوم اقدام به تغییر وضعیت

شبکه نمونه برداری گردید.

نقشه شماره ۱ موقعیت مکانی نمونه‌های ژئوشیمیایی برداشت شده را نشان می‌دهد.

آماده‌سازی نمونه‌ها:

همانطوری که عنوان شد نمونه‌های ژئوشیمیایی با الک ۸۰ مش الک گردیدند و به میزان ۱۰۰ گرم از نمونه الک شده به منظور ارسال به آزمایشگاه آماده‌سازی شد. برای این منظور مقدار ۱۰۰ گرم از نمونه آبراهه‌ای انتخاب و بوسیله پودرکننده ریگی تا زیر ۲۰۰ مش پودر گردید و از بخش پودر شده مقداری برای تجزیه انتخاب و مابقی بخش پودر شده زیر ۲۰۰ مش بایگانی گردید.

آنالیز نمونه‌های ژئوشیمیایی:

در این پروژه ۲۹ عنصر یعنی **Cd, Be, V, P, Li, La, Zn, Cr, Mn, Ba, Au, S, Ag, As, Co, Cu** مورد تجزیه شیمیایی قرار گرفتند. عنصر **Au** به روش اسپکتروگراف نشری و **W** به روش پلاروگراف، عنصر **Ag** به روش جذب اتمی و بقیه عناصر به روش **(ICP(MS, AES)** اندازه‌گیری شده است. جداول مربوطه به آنالیز نمونه‌ها در **CD** و نیز انتهای این فصل آورده شده است.

روش آنالیز نمونه‌های ژئوشیمیایی و حد حساسیت دستگاهها:

مهمترین پارامتر در انتخاب روش آنالیز، حد حساسیت آن می‌باشد. اصولاً وجود مقادیر سنسورد برای یک عنصر در تجزیه و تحلیل‌های آماری اختلال ایجاد می‌کند و علاوه بر این از آنجا که در اکتشافات ژئوشیمیایی اهمیت و کاربرد مقادیر عددی مربوط به هر یک از عناصر صرفاً به منظور

مقایسه نسبی آنها با یکدیگر برای تعیین مقادیر آنومالی می باشد، لذا حصول مقادیر عددی (غیر سنسورد) برای یک عنصر از درجه اهمیت بالائی برخوردار است. حد حساسیت یک روش آزمایشگاهی برای یک عنصر در ارتباط با مقدار زمینه آن انتخاب می شود و باید کوچکتر از آن باشد. لذا با توجه به توضیحات فوق مقادیر حد حساسیت برای عناصر مورد نظر با توجه به تکنیک های آزمایشگاهی موجود و مقدار زمینه عناصر تعیین شد تا با توجه به فراوانی کم عناصر در برخی از این سنگ ها تا حد امکان مقادیر غیرسنسورد حاصل شود. مقادیر غیرسنسورد حاصل شود. روش، حد تشخیص و واحد آنالیز نمونه ها در زیر آمده است.

SAMPLE	Au	Cr	Mn	Sr	Zn	Ba	Be	Ag	As	Co	La
UNITS	ppb	ppm	ppm	ppm	ppm	ppm	ppm	ppm	ppm	ppm	ppm
DETECTION	0.1	5	5	0.2	0.2	0.2	0.1	0.05	1	0.1	5
METHOD	SP	IC3E	IC3E	IC3E	IC3E	IC3E	IC3E	AAB	IC3M	IC3M	IC3E

SAMPLE	Y	Yb	S	Sc	V	Cu	Mo	Ni	Cd	W	Sn
UNITS	ppm	ppm	ppm	ppm	ppm	ppm	ppm	ppm	ppm	ppm	ppm
DETECTION	2	1	2	2	1	0.5	0.1	1	0.2	0.5	1
METHOD	IC3M	IC3M	IC3E	IC3E	IC3E	IC3M	IC3M	IC3M	IC3M	POL	IC3M

SAMPLE	P	Nb	Li	Nd	Eu	Ga	Ge				
UNITS	ppm	ppm	ppm	ppm	ppm	ppm	ppm				
DETECTION	5	0.1	0.2	4	0.5	1	0.5				
METHOD	IC3E	IC3M	IC3E	IC3E	IC3E	IC3E	IC3E				

دقت آنالیز نمونه های ژئوشیمیایی:

پس از آنالیز و بدست آوردن نتایج آزمایشگاه باید کیفیت و دقت نتایج آنالیز مورد بررسی قرار گیرد و این کنترل از اهمیت ویژه ای برخوردار است زیرا اولاً میزان اعتماد به داده ها را مشخص می کند و ثانیاً اگر خطای داده ها زیاد باشد بهتر است در تفسیر نتایج دقت بیشتری را به عمل آورد.

برای این منظور می‌توان در مرحله آماده‌سازی نمونه‌ها یک سری نمونه تکراری تهیه کرد و به همراه نمونه‌های اصلی به آزمایشگاه فرستاد و سپس دقت اندازه‌گیری‌ها را محاسبه کرد. در نتیجه از دیاگرام کنترلی طراحی شده برای ۱۰٪ خطا که در سال ۱۹۷۶ توسط تامپسون ارائه شده استفاده گردید. لذا ابتدا جداول (۱-۲) تا (۲۹-۲) تهیه گردید که در ستون اول این جداول نام متغیر، در ستون دوم شماره نمونه‌ها، ستون سوم شماره نمونه تکراری معادل و در ستون‌های چهارم و پنجم مقادیر اندازه‌گیری شده برای هر جفت نمونه، در ستون ششم مقدار میانگین و در ستون هفتم قدر مطلق تفاضل هر زوج نمونه آورده شده است. برای مثال جداول (۱-۲) تا (۶-۲) در ذیل و سایر جداول در CD آورده شده است. در دیاگرام کنترلی تامپسون، محورهای لگاریتمی افقی و قائم به ترتیب مقادیر میانگین و قدر مطلق تفاضل دو اندازه‌گیری نمونه تکراری را نشان می‌دهد. پس از پیاده کردن نقاط مربوط به جفت نمونه‌های آنالیز شده در صورتیکه ۹۰٪ داده‌ها زیر خط معادل ۱۰٪ و ۹۹٪ داده‌ها زیر خط معادل ۱٪ قرار گیرند خطا در حد ۱۰٪ خواهد بود.

بر اساس محاسبات انجام‌شده دیاگرام کنترلی هر یک از عناصر ترسیم گردیده است. اشکال (۱-۲) تا (۷-۲) دیاگرام‌های کنترلی تامپسون عناصر مورد نظر را نشان می‌دهد. همچنین اشکال (۸-۲) تا (۹-۲) انطباق آنالیز نمونه‌های تکراری را برای عناصر مختلف را نشان می‌دهد.

در مرحله بعد می‌توان از رابطه

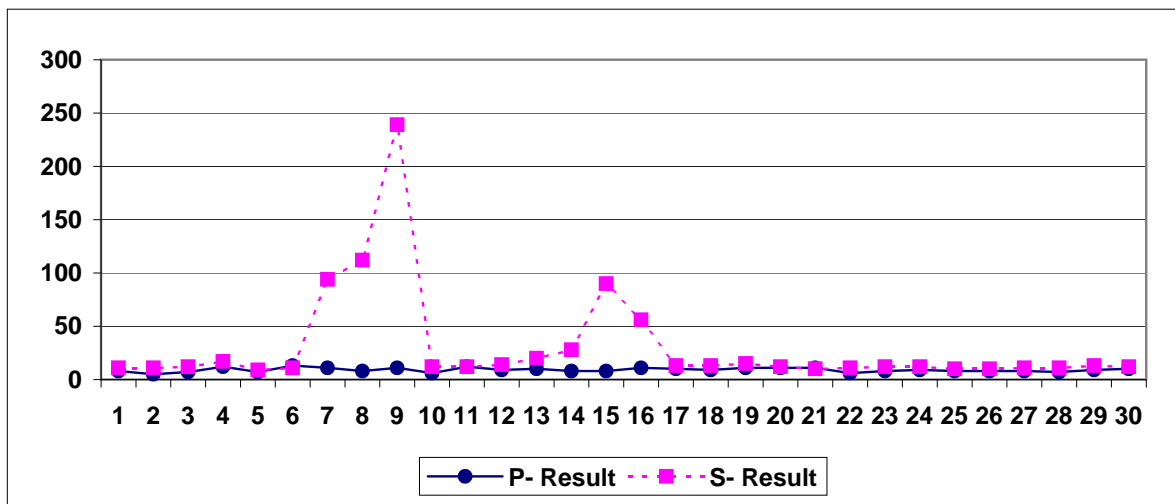
$$RE = 2/n \sum \left| \frac{D}{S} \right| * 100$$

برای اطلاع از میزان خطای نسبی (RE) استفاده نمود که در این فرمول، N تعداد نمونه‌های تکراری، D و S به ترتیب تفاوت و مجموع مقادیر اندازه‌گیری شده در نمونه‌های تکراری متناظر

می باشد. با توجه به رابطه فوق میزان خطای نسبی در جدول (۲-۷) آورده شده است. همانطور که دیده می شود عناصر **As** , **Sn** میزان خطای نسبی بالائی را نشان می دهد. میزان متوسط خطای نسبی در سطح اعتماد ۹۵٪ برابر ۲۴/۶۳۹ می باشد. شکل (۲-۱۰) میزان خطای نسبی را برای عناصر مختلف به صورت نمودار نشان می دهد.

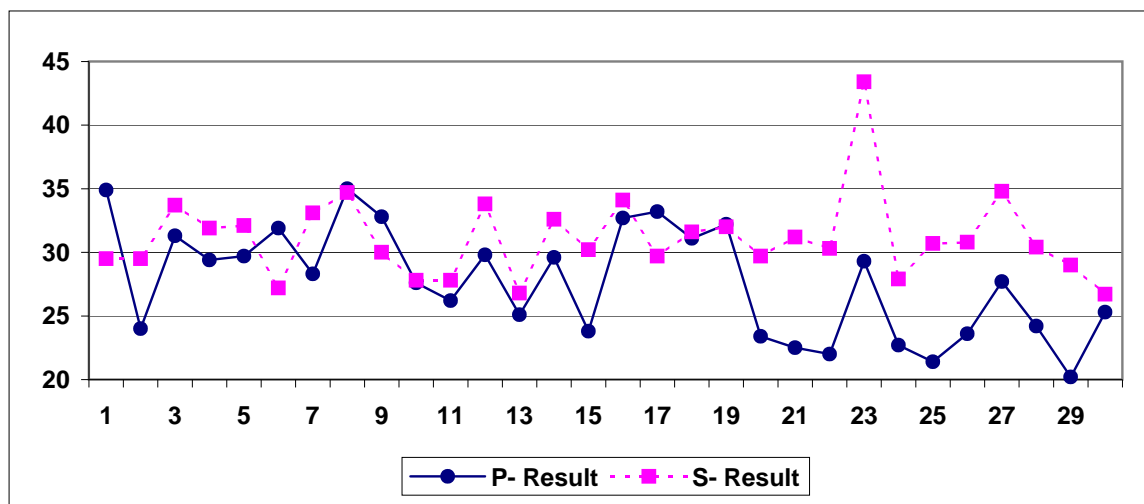
Table(2-1): Means and Differences of Duplicate Analysis

Variable	Sample No	D.No	P- Result	S- Result	M	D
As	CD-267	CHT-801	8	11	9.5	3
	CG-233	CHT-802	5	11	8	6
	CD-239	CHT-803	7	12	9.5	5
	CD-247	CHT-804	12	17	14.5	5
	CD-291	CHT-805	7	9	8	2
	CD-262	CHT-806	13	11	12	2
	CD-260	CHT-808	11	94	52.5	83
	CR-051	CHT-809	8	112	60	104
	CR-099	CHT-810	11	239	125	228
	CR-136	CHT-811	6	12	9	6
	CR-086	CHT-811	12	12	12	0
	CR-125	CHT-812	9	14	11.5	5
	CR-071	CHT-813	10	20	15	10
	CR-060	CHT-814	8	28	18	20
	CR-121	CHT-815	8	90	49	82
	CR-103	CHT-816	11	56	33.5	45
	CR-052	CHT-817	10	13	11.5	3
	CR-106	CHT-818	9	13	11	4
	CR-111	CHT-819	11	15	13	4
	CK-419	CHT-820	11	12	11.5	1
	CK-462	CHT-821	11	10	10.5	1
	CK-400	CHT-822	6	11	8.5	5
	CK-439	CHT-823	8	12	10	4
	CK-415	CHT-824	9	12	10.5	3
	CK-464	CHT-825	8	10	9	2
	CK-394	CHT-826	8	10	9	2
	CK-430	CHT-827	8	11	9.5	3
	CK-382	CHT-828	7	11	9	4
	CK-412	CHT-829	9	13	11	4
	CK-436	CHT-830	10	12	11	2



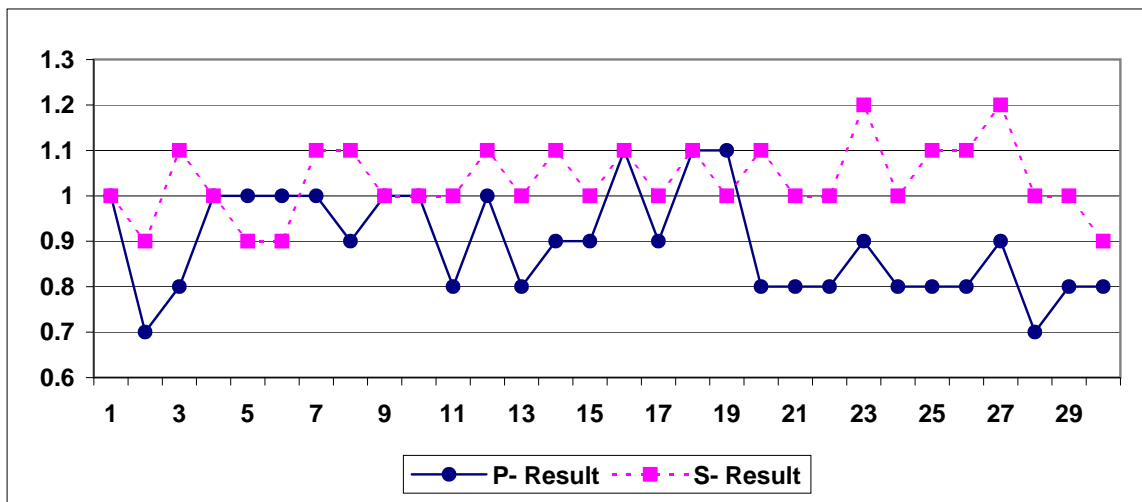
Table(2-2): Means and Differences of Duplicate Analysis

Variable	Sample No	D.No	P- Result	S- Result	M	D
Cu	CD-267	CHT-801	34.9	29.5	32.2	5.4
	CG-233	CHT-802	24	29.5	26.75	5.5
	CD-239	CHT-803	31.3	33.7	32.5	2.4
	CD-247	CHT-804	29.4	31.9	30.65	2.5
	CD-291	CHT-805	29.7	32.1	30.9	2.4
	CD-262	CHT-806	31.9	27.2	29.55	4.7
	CD-260	CHT-808	28.3	33.1	30.7	4.8
	CR-051	CHT-809	35	34.7	34.85	0.3
	CR-099	CHT-810	32.8	30	31.4	2.8
	CR-136	CHT-811	27.6	27.8	27.7	0.2
	CR-086	CHT-811	26.2	27.8	27	1.6
	CR-125	CHT-812	29.8	33.8	31.8	4
	CR-071	CHT-813	25.1	26.8	25.95	1.7
	CR-060	CHT-814	29.6	32.6	31.1	3
	CR-121	CHT-815	23.8	30.2	27	6.4
	CR-103	CHT-816	32.7	34.1	33.4	1.4
	CR-052	CHT-817	33.2	29.7	31.45	3.5
	CR-106	CHT-818	31.1	31.6	31.35	0.5
	CR-111	CHT-819	32.2	32	32.1	0.2
	CK-419	CHT-820	23.4	29.7	26.55	6.3
	CK-462	CHT-821	22.5	31.2	26.85	8.7
	CK-400	CHT-822	22	30.3	26.15	8.3
	CK-439	CHT-823	29.3	43.4	36.35	14.1
	CK-415	CHT-824	22.7	27.9	25.3	5.2
	CK-464	CHT-825	21.4	30.7	26.05	9.3
	CK-394	CHT-826	23.6	30.8	27.2	7.2
	CK-430	CHT-827	27.7	34.8	31.25	7.1
	CK-382	CHT-828	24.2	30.4	27.3	6.2
	CK-412	CHT-829	20.2	29	24.6	8.8
	CK-436	CHT-830	25.3	26.7	26	1.4



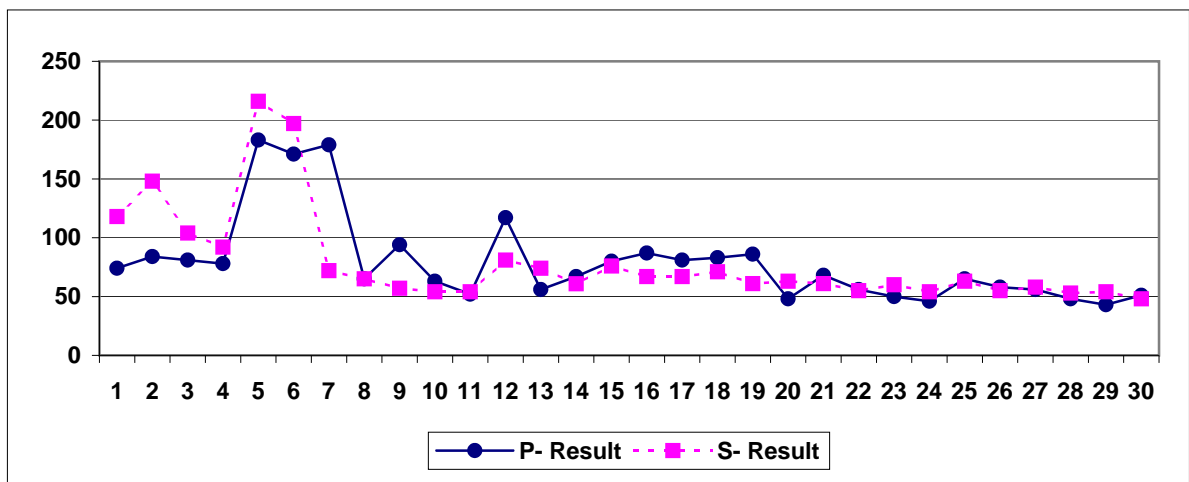
Table(2-3): Means and Differences of Duplicate Analysis

Variable	Sample No	D.No	P- Result	S- Result	M	D
Eu	CD-267	CHT-801	1	1	1	0
	CG-233	CHT-802	0.7	0.9	0.8	0.2
	CD-239	CHT-803	0.8	1.1	0.95	0.3
	CD-247	CHT-804	1	1	1	0
	CD-291	CHT-805	1	0.9	0.95	0.1
	CD-262	CHT-806	1	0.9	0.95	0.1
	CD-260	CHT-808	1	1.1	1.05	0.1
	CR-051	CHT-809	0.9	1.1	1	0.2
	CR-099	CHT-810	1	1	1	0
	CR-136	CHT-811	1	1	1	0
	CR-086	CHT-811	0.8	1	0.9	0.2
	CR-125	CHT-812	1	1.1	1.05	0.1
	CR-071	CHT-813	0.8	1	0.9	0.2
	CR-060	CHT-814	0.9	1.1	1	0.2
	CR-121	CHT-815	0.9	1	0.95	0.1
	CR-103	CHT-816	1.1	1.1	1.1	0
	CR-052	CHT-817	0.9	1	0.95	0.1
	CR-106	CHT-818	1.1	1.1	1.1	0
	CR-111	CHT-819	1.1	1	1.05	0.1
	CK-419	CHT-820	0.8	1.1	0.95	0.3
	CK-462	CHT-821	0.8	1	0.9	0.2
	CK-400	CHT-822	0.8	1	0.9	0.2
	CK-439	CHT-823	0.9	1.2	1.05	0.3
	CK-415	CHT-824	0.8	1	0.9	0.2
	CK-464	CHT-825	0.8	1.1	0.95	0.3
	CK-394	CHT-826	0.8	1.1	0.95	0.3
	CK-430	CHT-827	0.9	1.2	1.05	0.3
	CK-382	CHT-828	0.7	1	0.85	0.3
	CK-412	CHT-829	0.8	1	0.9	0.2
	CK-436	CHT-830	0.8	0.9	0.85	0.1



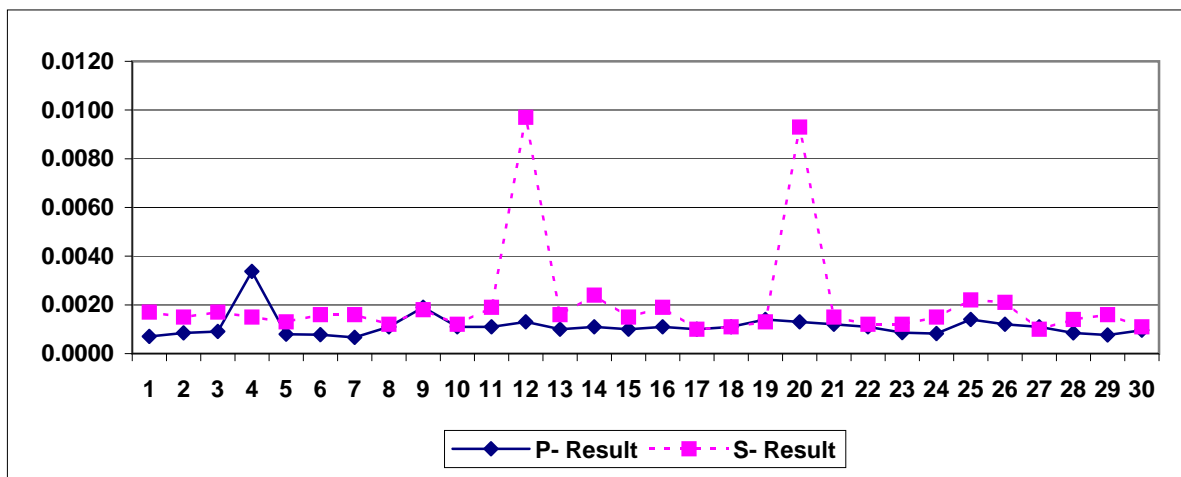
Table(2-4): Means and Differenceses of Duplicate Analysis

Variable	Sample No	D.No	P- Result	S- Result	M	D
Ni	CD-267	CHT-801	74	118	96	44
	CG-233	CHT-802	84	148	116	64
	CD-239	CHT-803	81	104	92.5	23
	CD-247	CHT-804	78	92	85	14
	CD-291	CHT-805	183	216	199.5	33
	CD-262	CHT-806	171	197	184	26
	CD-260	CHT-808	179	72	125.5	107
	CR-051	CHT-809	65	65	65	0
	CR-099	CHT-810	94	57	75.5	37
	CR-136	CHT-811	63	54	58.5	9
	CR-086	CHT-811	52	54	53	2
	CR-125	CHT-812	117	81	99	36
	CR-071	CHT-813	56	74	65	18
	CR-060	CHT-814	67	60.9	63.95	6.1
	CR-121	CHT-815	80	76	78	4
	CR-103	CHT-816	87	67	77	20
	CR-052	CHT-817	81	67	74	14
	CR-106	CHT-818	83	71	77	12
	CR-111	CHT-819	86	61	73.5	25
	CK-419	CHT-820	48	63	55.5	15
	CK-462	CHT-821	68	61	64.5	7
	CK-400	CHT-822	56	55	55.5	1
	CK-439	CHT-823	50	60	55	10
	CK-415	CHT-824	46	54	50	8
	CK-464	CHT-825	65	63	64	2
	CK-394	CHT-826	58	55	56.5	3
	CK-430	CHT-827	56	58	57	2
	CK-382	CHT-828	48	53	50.5	5
	CK-412	CHT-829	43	54	48.5	11
	CK-436	CHT-830	51	48	49.5	3



Table(2-5): Means and Differences of Duplicate Analysis

Variable	Sample No	D.No	P- Result	S- Result	M	D
Au	CD-267	CHT-801	0.0007	0.0017	0.00120193	0.000996139
	CG-233	CHT-802	0.0008	0.0015	0.001174677	0.000650647
	CD-239	CHT-803	0.0009	0.0017	0.001302125	0.000795749
	CD-247	CHT-804	0.0034	0.0015	0.002434495	0.00186899
	CD-291	CHT-805	0.0008	0.0013	0.001048894	0.000502212
	CD-262	CHT-806	0.0008	0.0016	0.001186596	0.000826808
	CD-260	CHT-808	0.0007	0.0016	0.001130564	0.000938871
	CR-051	CHT-809	0.0011	0.0012	0.00115	1E-04
	CR-099	CHT-810	0.0019	0.0018	0.00185	0.0001
	CR-136	CHT-811	0.0011	0.0012	0.00115	1E-04
	CR-086	CHT-811	0.0011	0.0019	0.0015	0.0008
	CR-125	CHT-812	0.0013	0.0097	0.0055	0.0084
	CR-071	CHT-813	0.0010	0.0016	0.0013	0.0006
	CR-060	CHT-814	0.0011	0.0024	0.00175	0.0013
	CR-121	CHT-815	0.0010	0.0015	0.00125	0.0005
	CR-103	CHT-816	0.0011	0.0019	0.0015	0.0008
	CR-052	CHT-817	0.0010	0.0010	0.001	0
	CR-106	CHT-818	0.0011	0.0011	0.0011	0
	CR-111	CHT-819	0.0014	0.0013	0.00135	0.0001
	CK-419	CHT-820	0.0013	0.0093	0.0053	0.008
	CK-462	CHT-821	0.0012	0.0015	0.00135	0.0003
	CK-400	CHT-822	0.0011	0.0012	0.00115	1E-04
	CK-439	CHT-823	0.0009	0.0012	0.00103	0.00034
	CK-415	CHT-824	0.0008	0.0015	0.00116	0.00068
	CK-464	CHT-825	0.0014	0.0022	0.0018	0.0008
	CK-394	CHT-826	0.0012	0.0021	0.00165	0.0009
	CK-430	CHT-827	0.0011	0.0010	0.00105	0.0001
	CK-382	CHT-828	0.0008	0.0014	0.001124677	0.000550647
	CK-412	CHT-829	0.0008	0.0016	0.00118	0.00084
	CK-436	CHT-830	0.0010	0.0011	0.00103	0.00014



Table(2-6): Means and Differences of Duplicate Analysis

Variable	Sample No	D.No	P- Result	S- Result	M	D
W	CD-267	CHT-801	0.69	0.97	0.83	0.28
	CG-233	CHT-802	0.93	0.91	0.92	0.02
	CD-239	CHT-803	1.16	0.85	1.005	0.31
	CD-247	CHT-804	1.63	1.03	1.33	0.6
	CD-291	CHT-805	0.375	1.13	0.7525	0.755
	CD-262	CHT-806	1.05	1.29	1.17	0.24
	CD-260	CHT-808	0.78	1.42	1.1	0.64
	CR-051	CHT-809	1.03	1.16	1.095	0.13
	CR-099	CHT-810	0.73	0.99	0.86	0.26
	CR-136	CHT-811	0.93	0.91	0.92	0.02
	CR-086	CHT-811	0.95	0.85	0.9	0.1
	CR-125	CHT-812	0.55	0.93	0.74	0.38
	CR-071	CHT-813	0.64	0.99	0.815	0.35
	CR-060	CHT-814	1.48	1.05	1.265	0.43
	CR-121	CHT-815	0.375	1.13	0.7525	0.755
	CR-103	CHT-816	0.375	1.18	0.7775	0.805
	CR-052	CHT-817	0.94	1.28	1.11	0.34
	CR-106	CHT-818	0.78	1.3	1.04	0.52
	CR-111	CHT-819	1.34	1.42	1.38	0.08
	CK-419	CHT-820	1.8	1.42	1.61	0.38
	CK-462	CHT-821	1.08	1.42	1.25	0.34
	CK-400	CHT-822	1.23	1.36	1.295	0.13
	CK-439	CHT-823	0.72	1.42	1.07	0.7
	CK-415	CHT-824	1.2	1.39	1.295	0.19
	CK-464	CHT-825	0.9	1.28	1.09	0.38
	CK-394	CHT-826	0.56	1.21	0.885	0.65
	CK-430	CHT-827	1.05	1.13	1.09	0.08
	CK-382	CHT-828	1	1.1	1.05	0.1
	CK-412	CHT-829	1.56	1.13	1.345	0.43
	CK-436	CHT-830	1.87	1.49	1.68	0.38

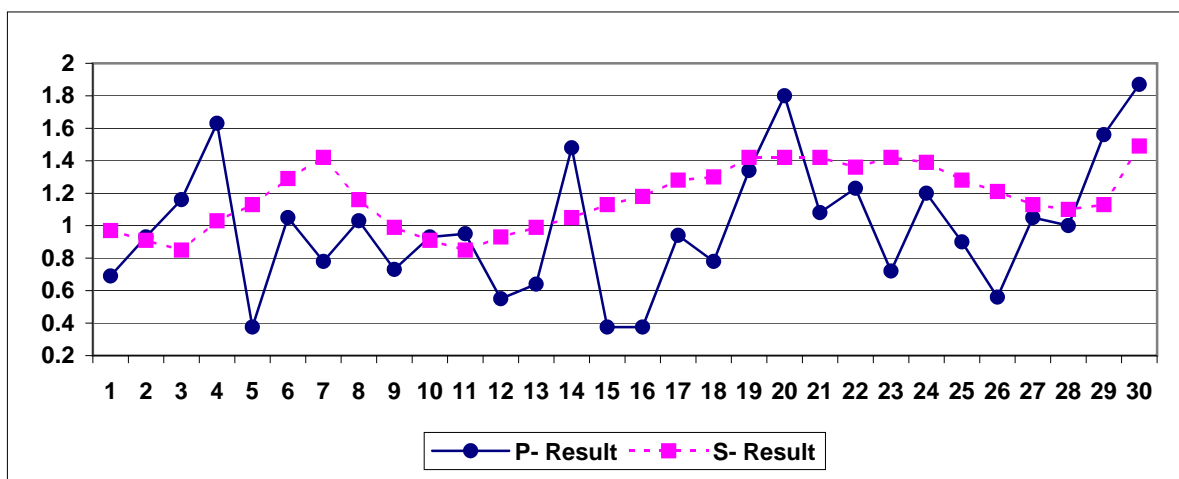


Fig (2-1): Thampson Diagram For Different Element

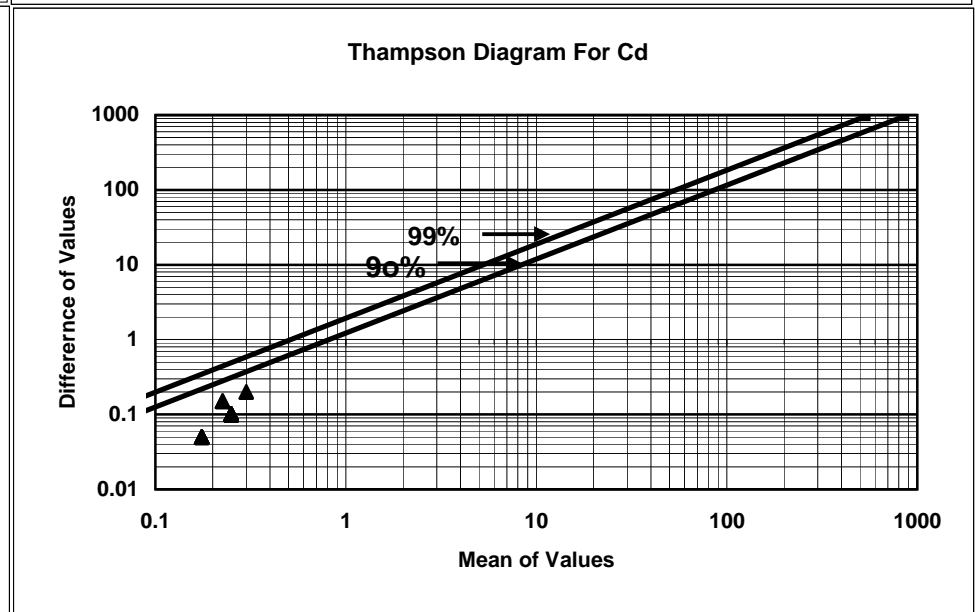
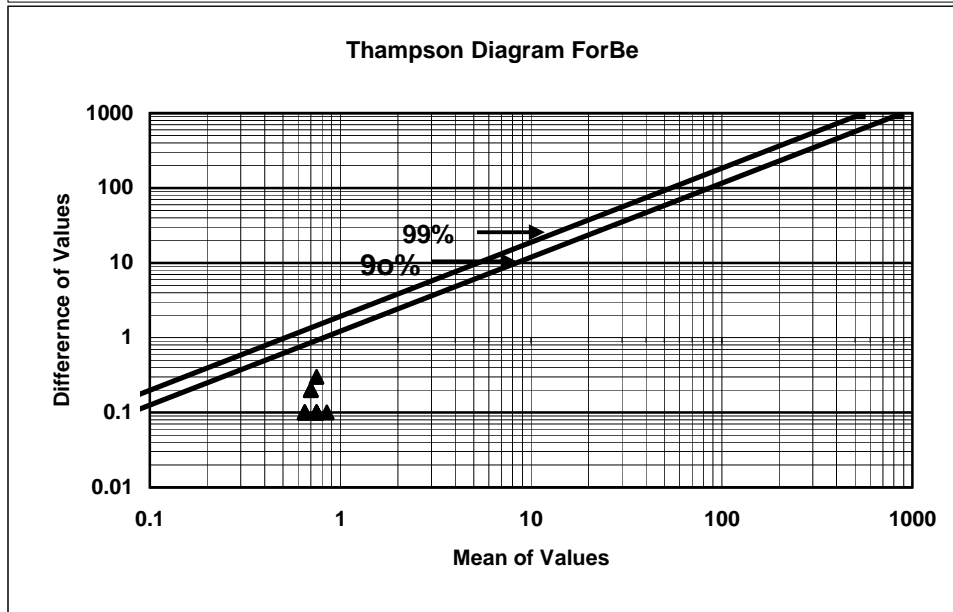
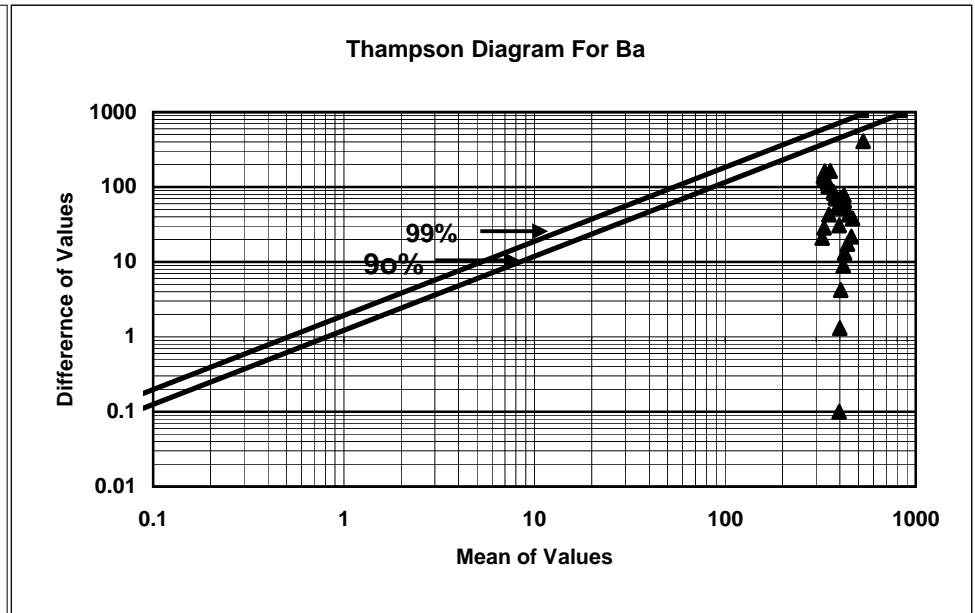
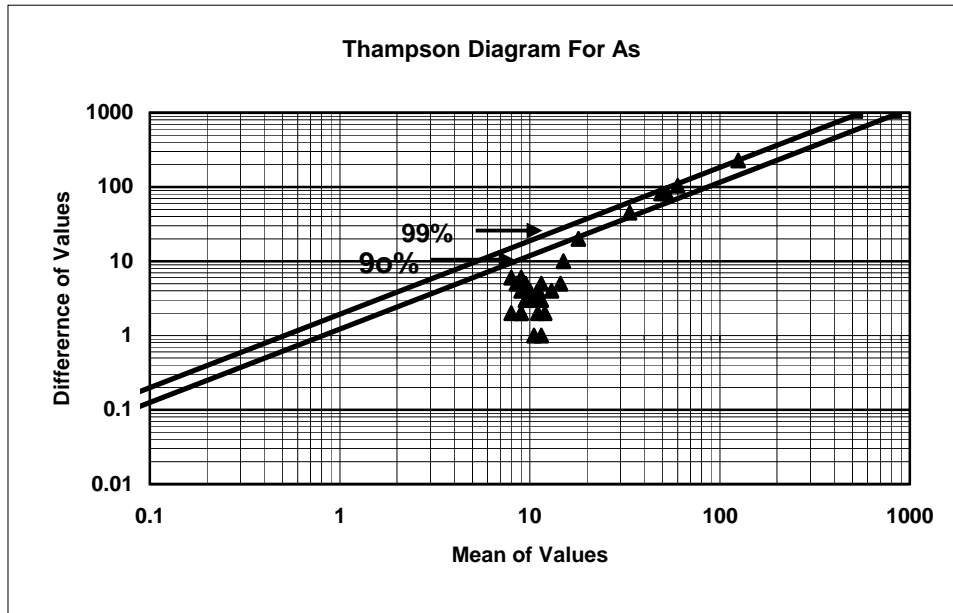


Fig (2-2): Thampson Diagram For Different Element

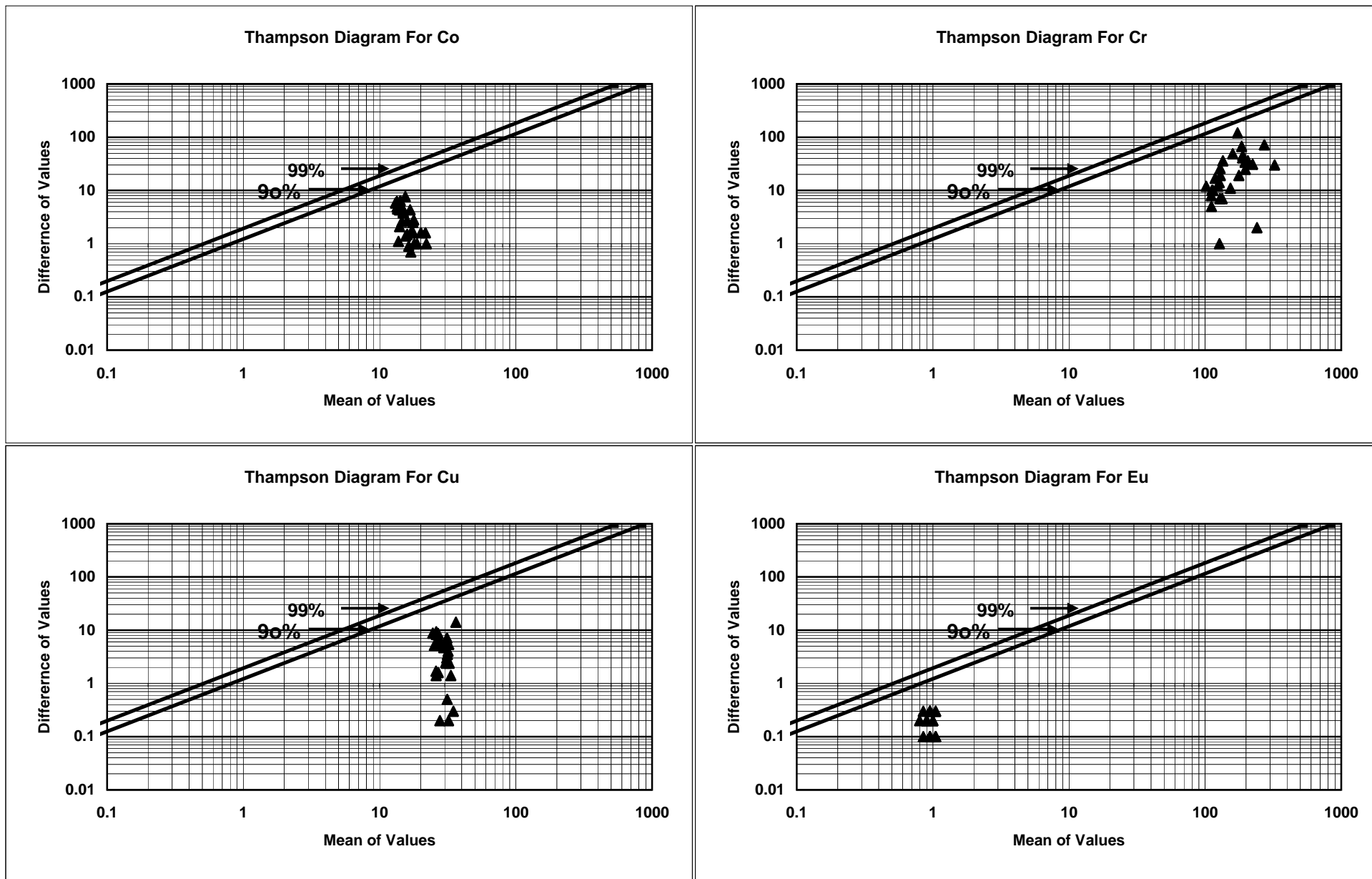


Fig (2-3): Thampson Diagram For Different Element

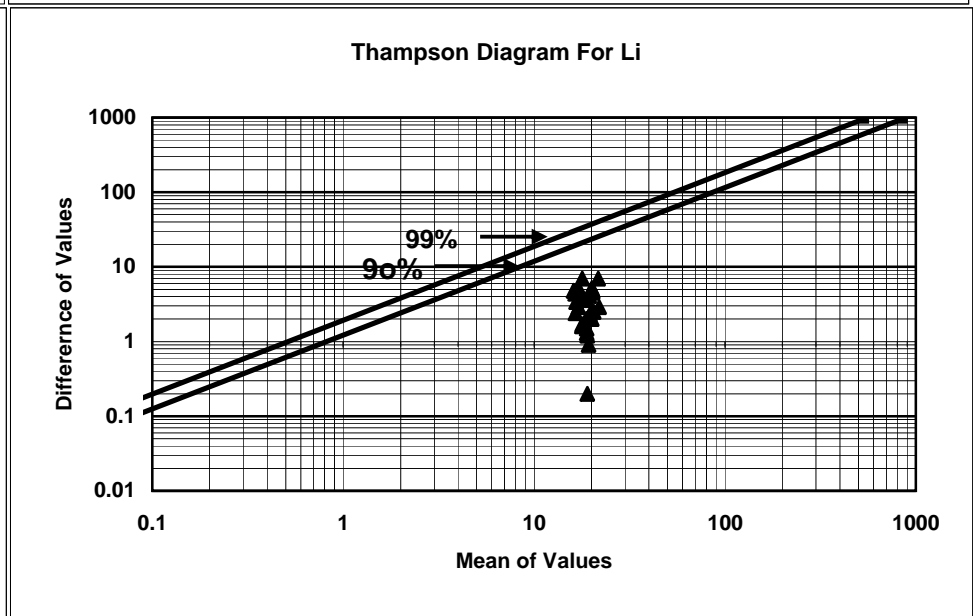
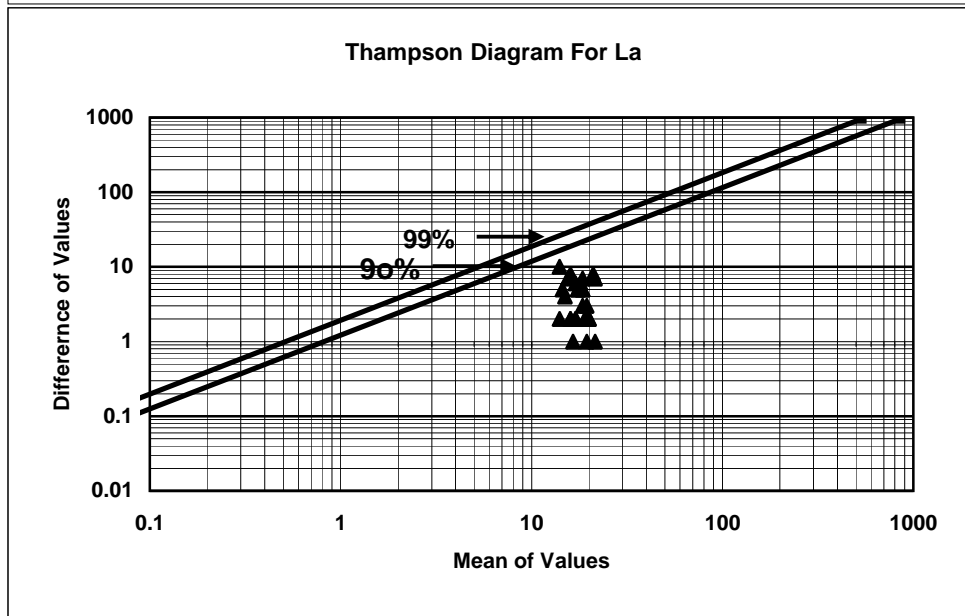
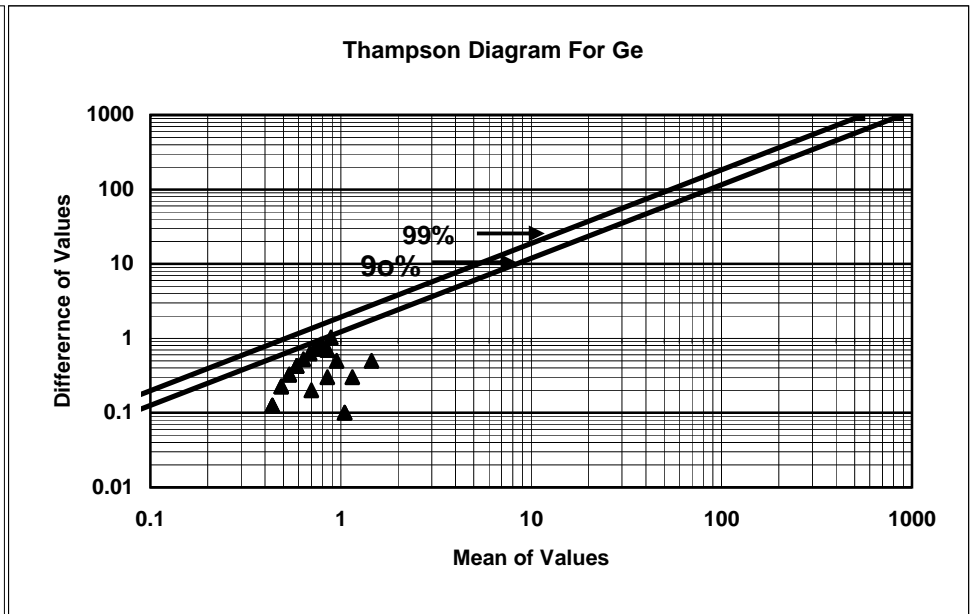
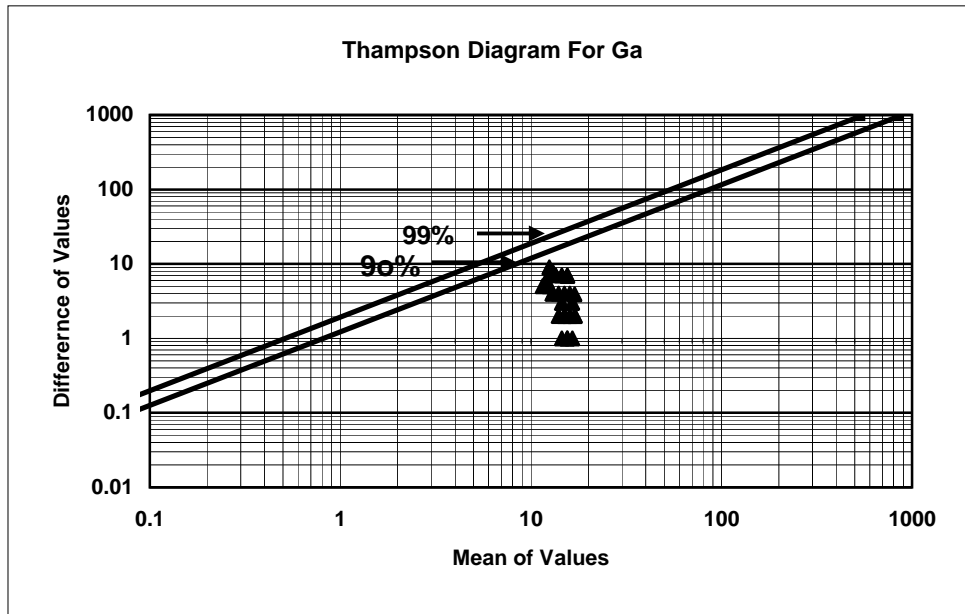


Fig (2-4): Thampson Diagram For Different Element

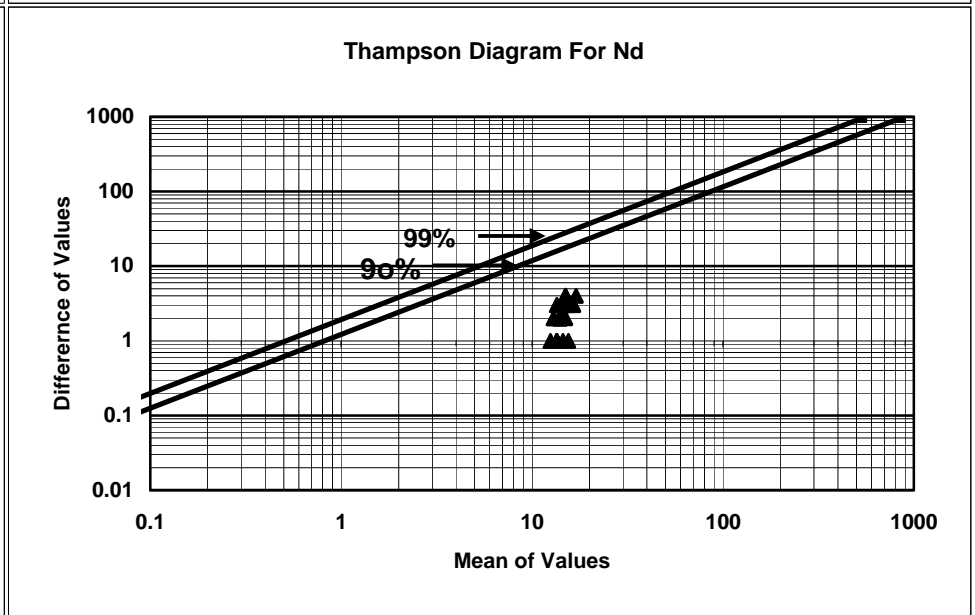
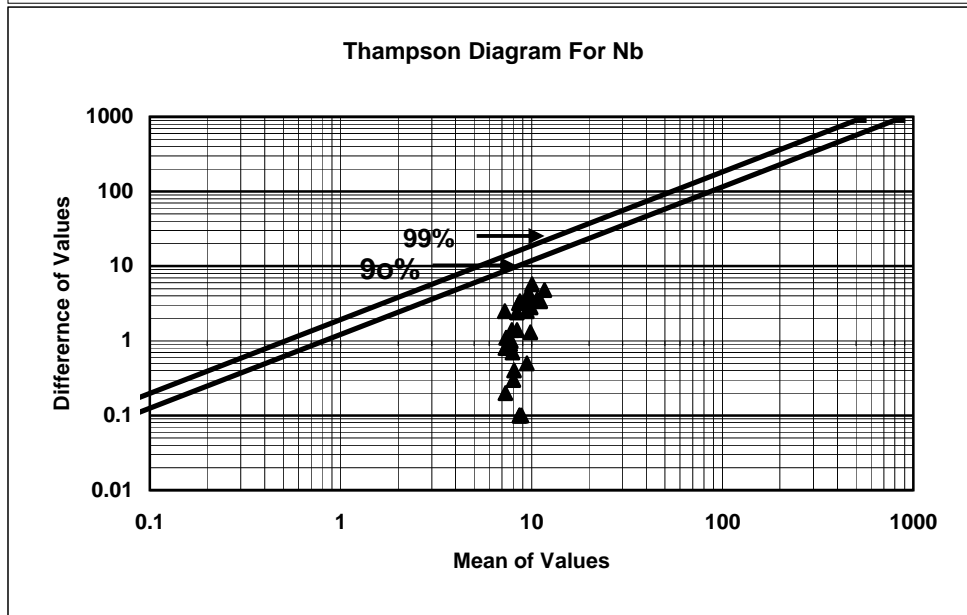
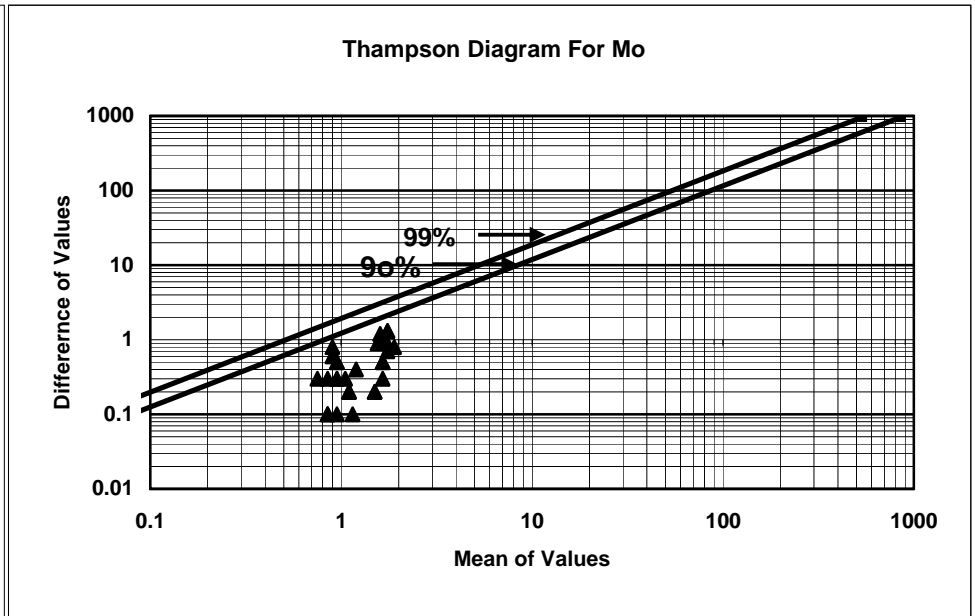
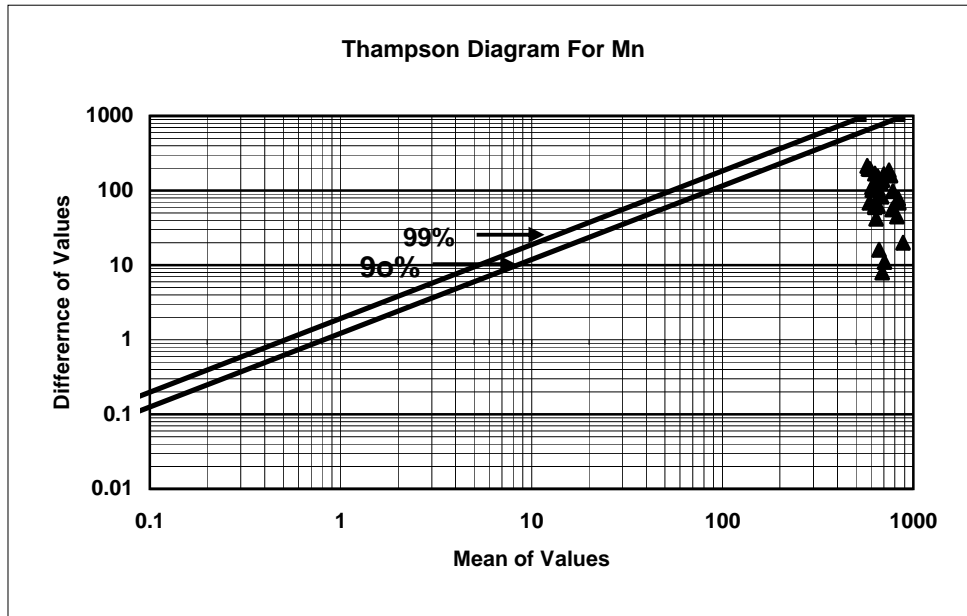


Fig (2-5): Thampson Diagram For Different Element

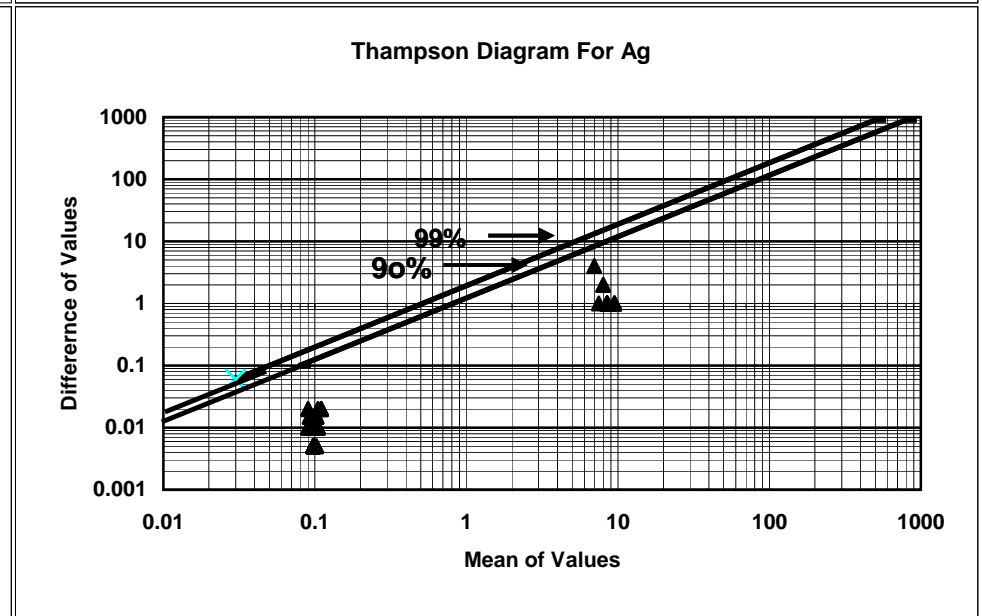
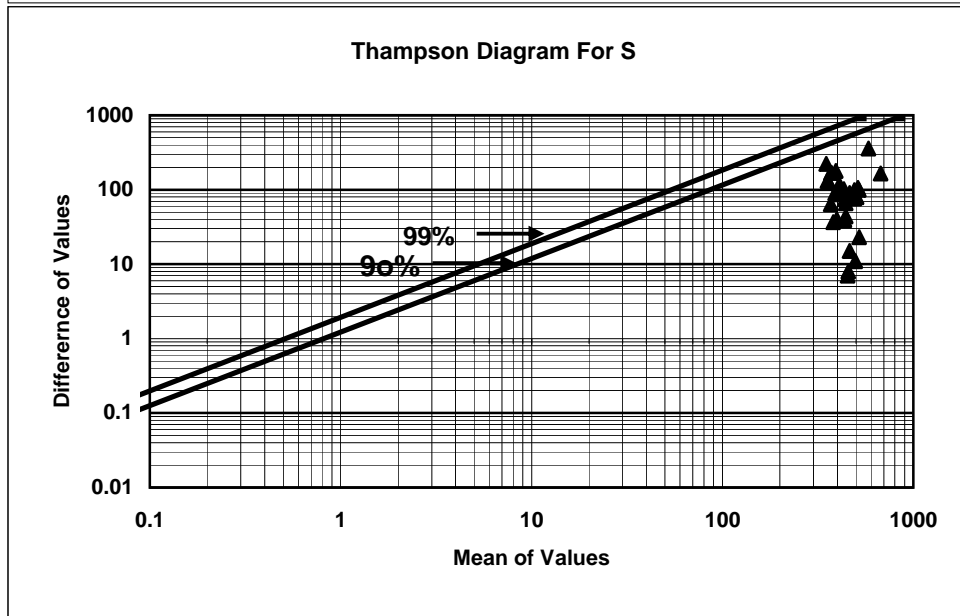
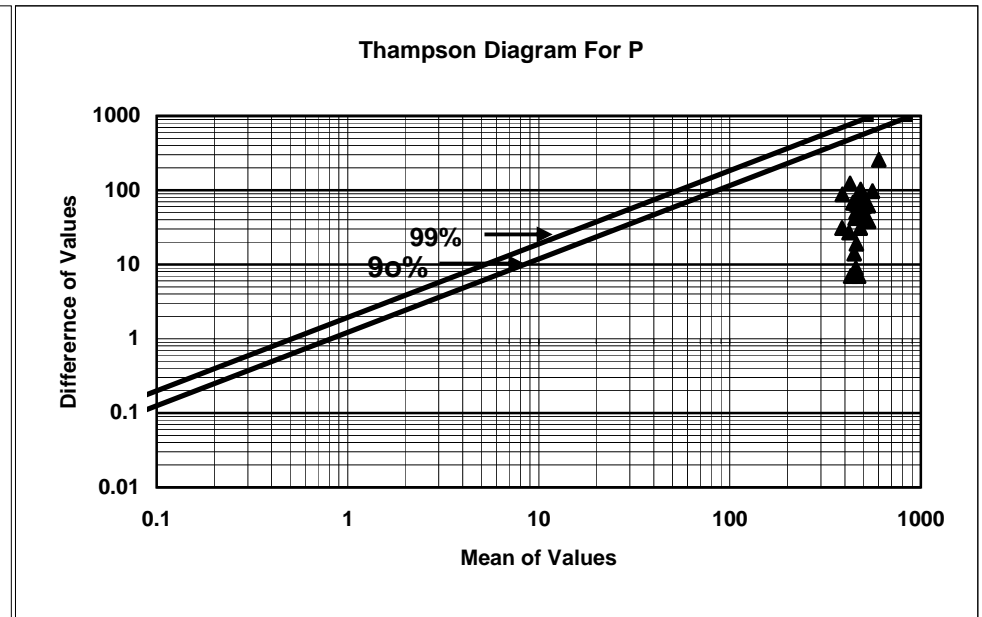
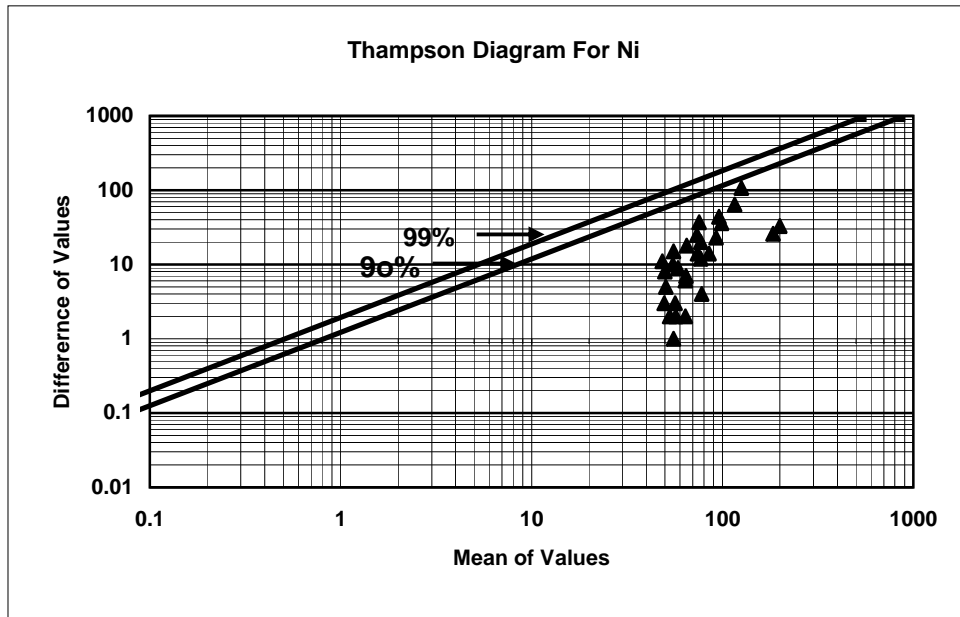


Fig (2-6): Thampson Diagram For Different Element

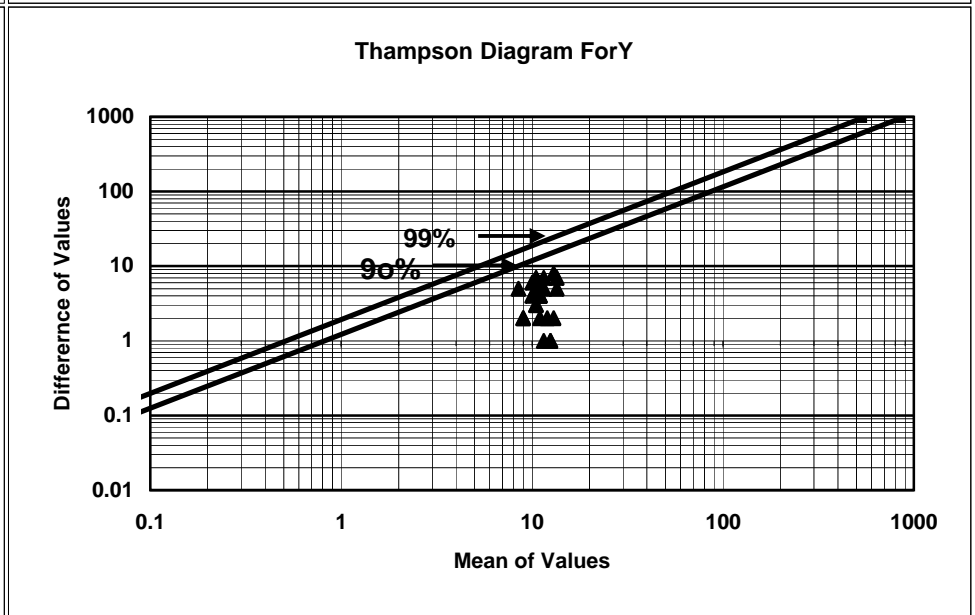
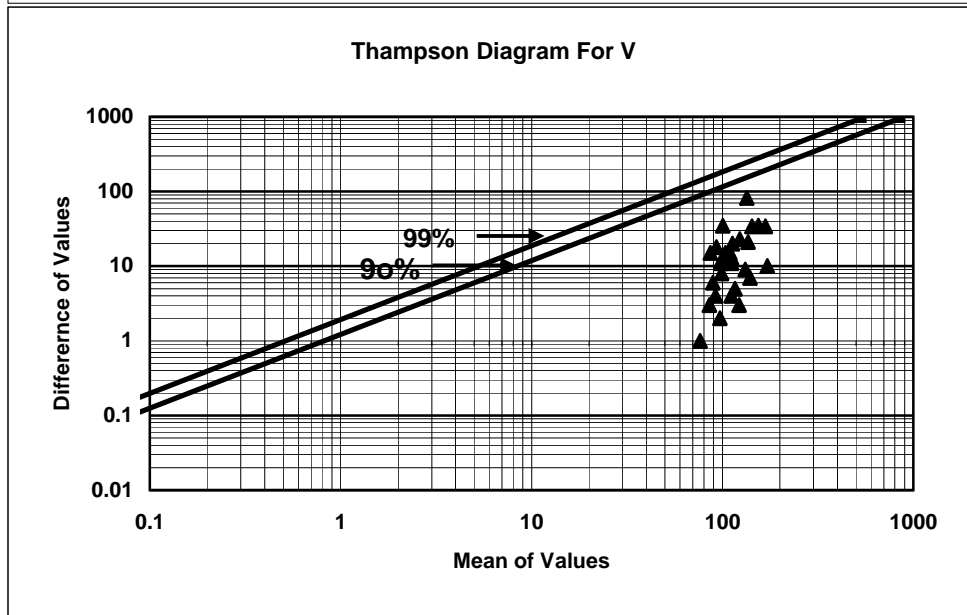
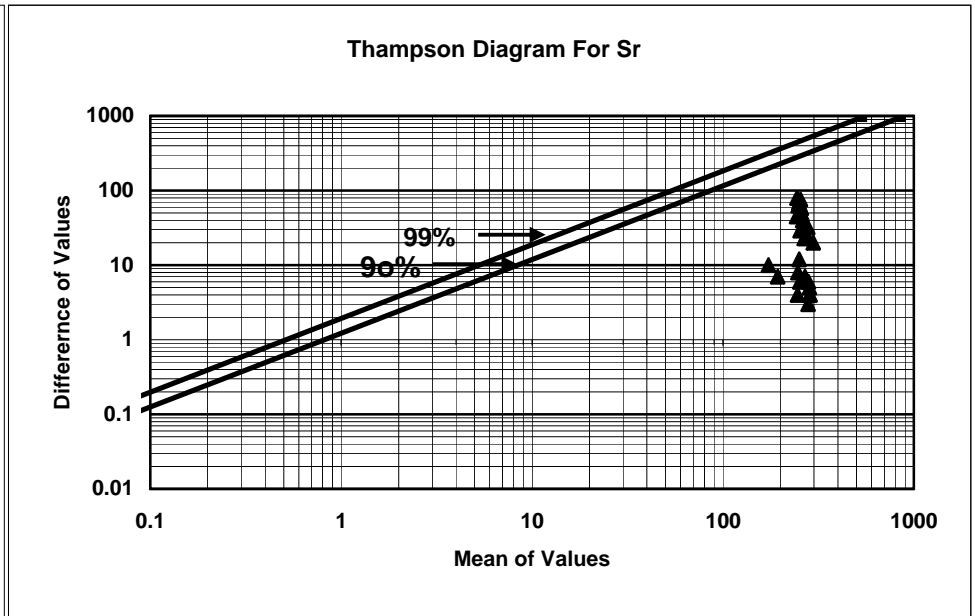
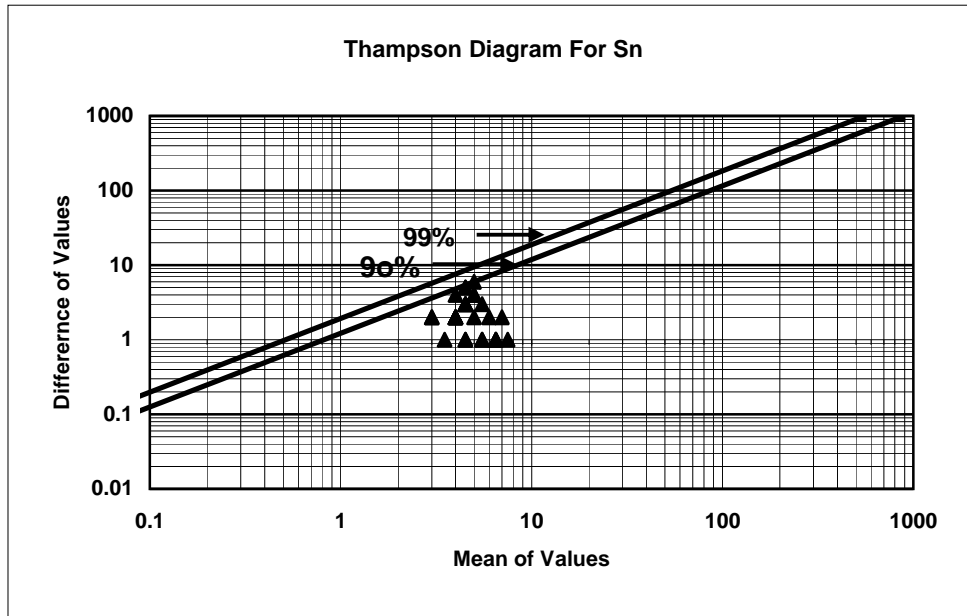
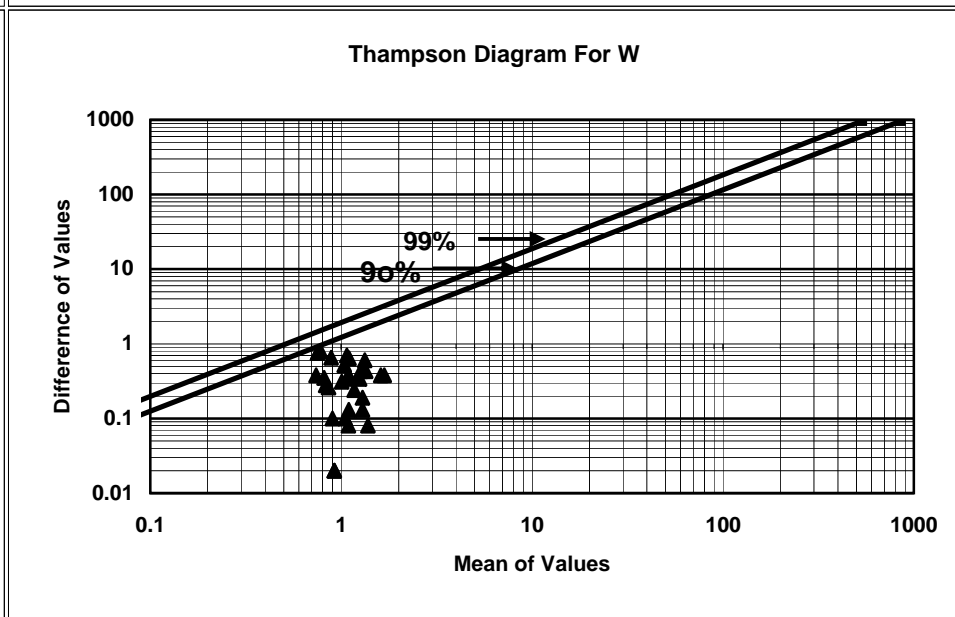
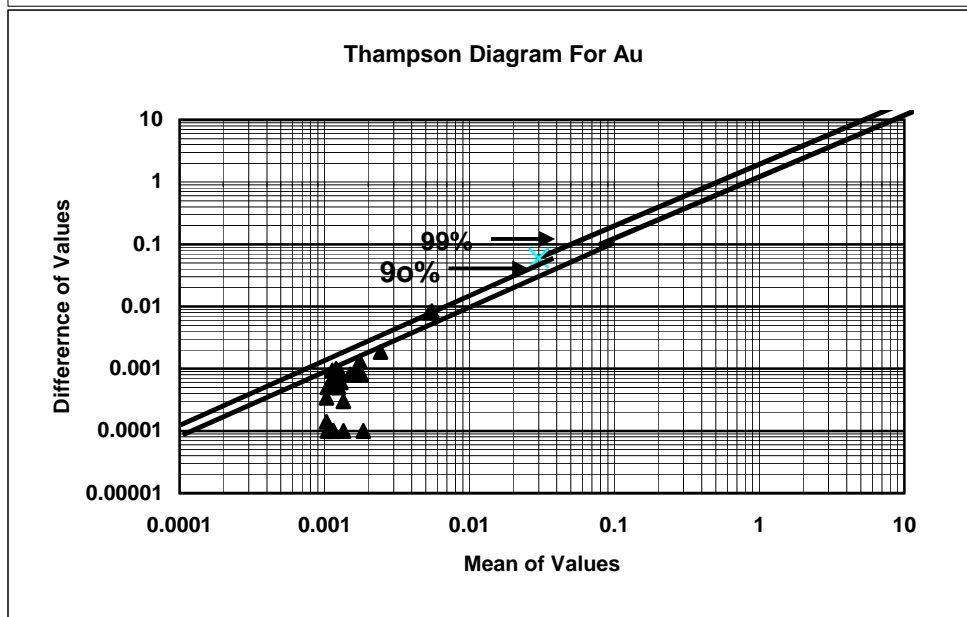
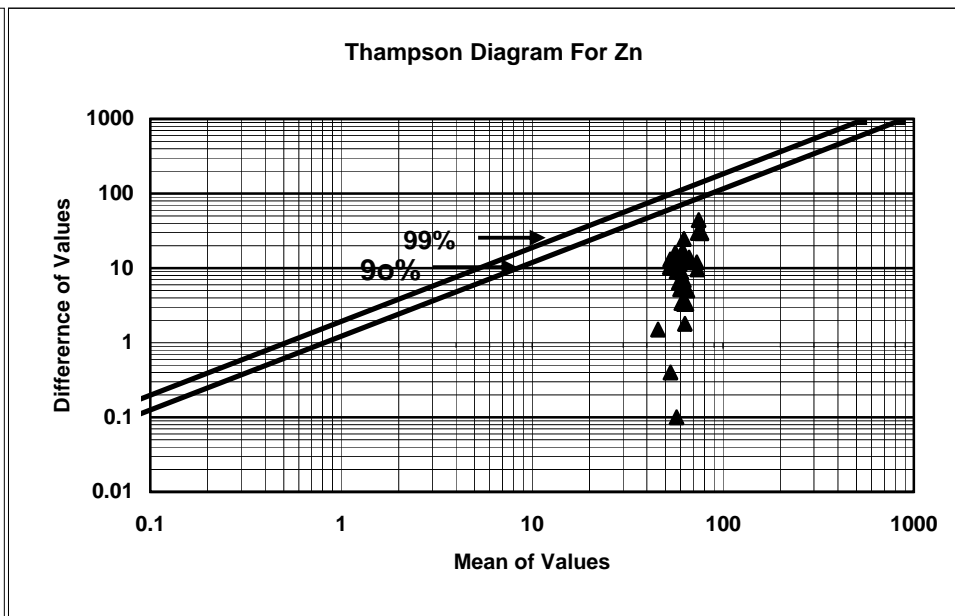
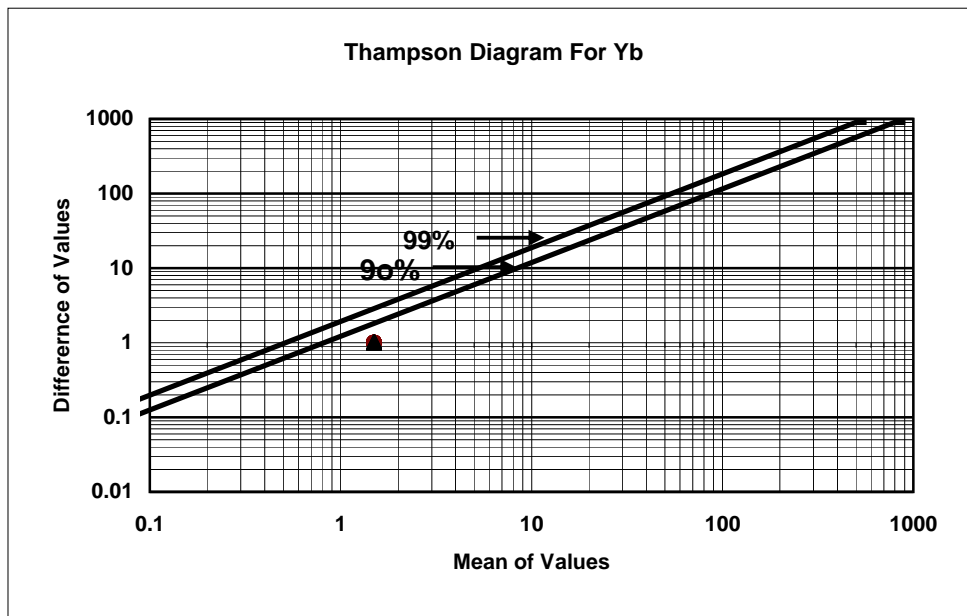
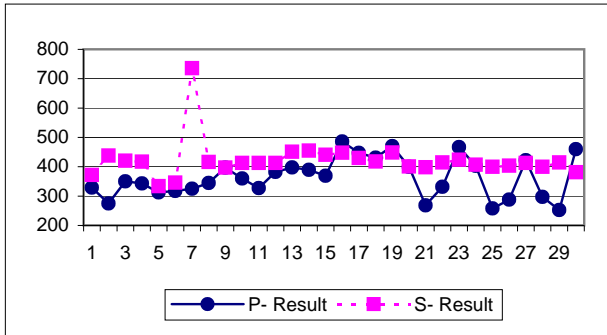


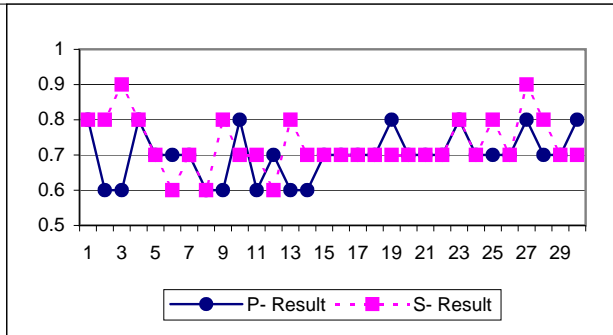
Fig (2-7): Thampson Diagram For Different Element



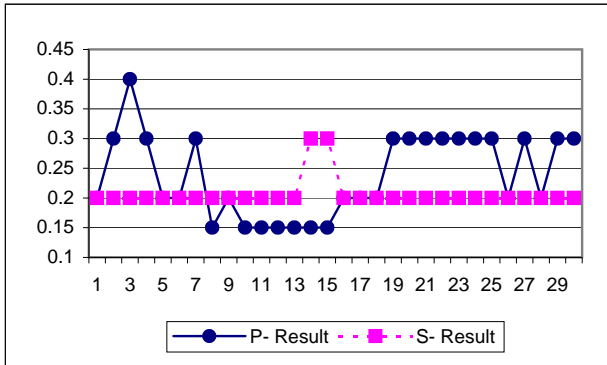
شکل (۲-۸): مقایسه نتایج آنالیز نمونه‌های ژئوشیمیایی و تکراری



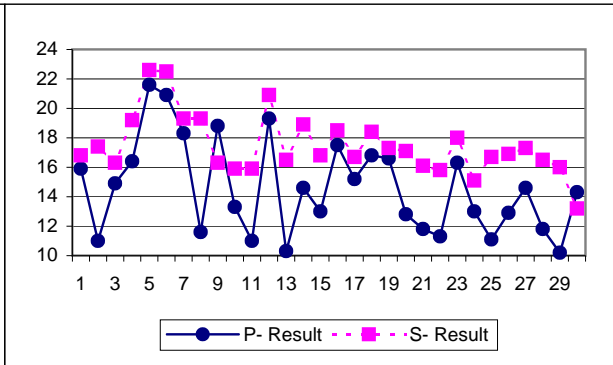
Ba



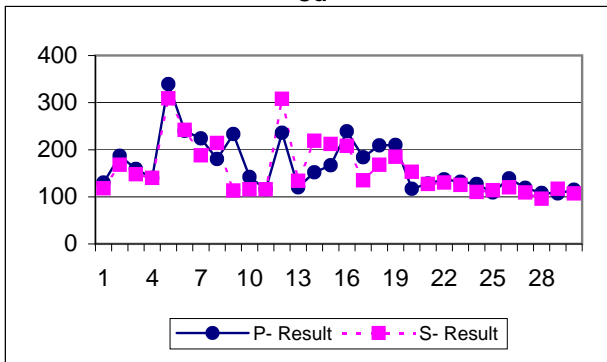
Be



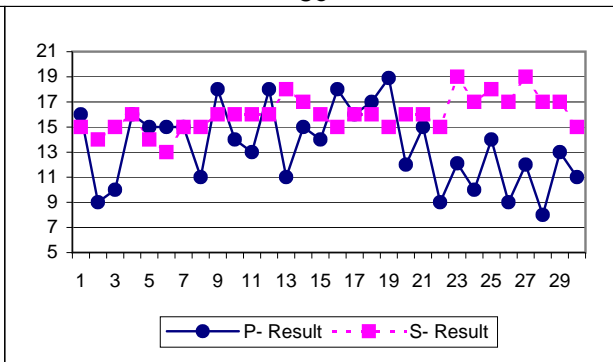
Cd



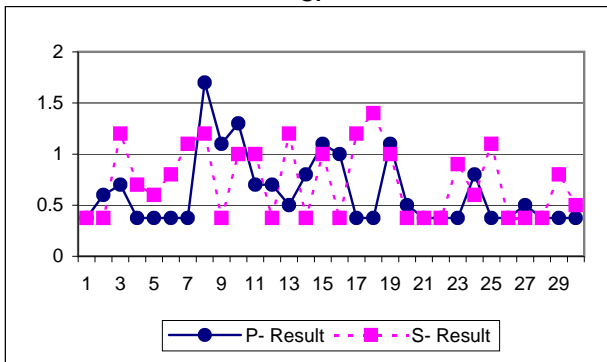
Co



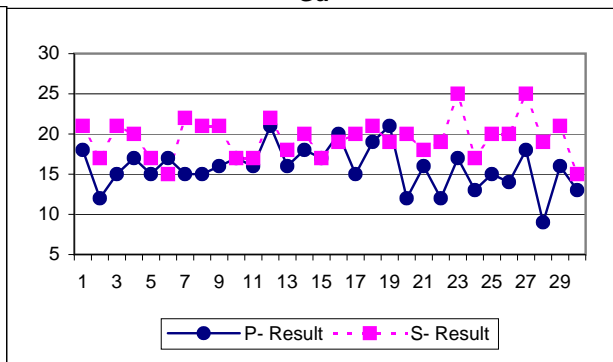
Cr



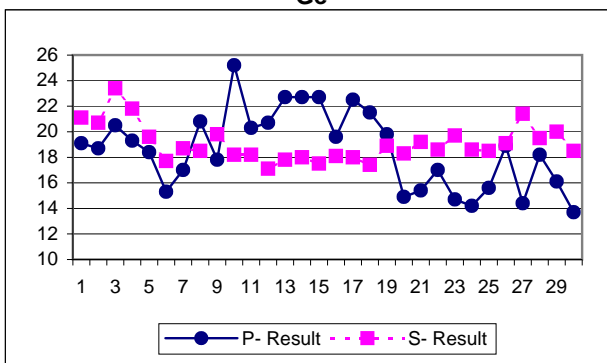
Ga



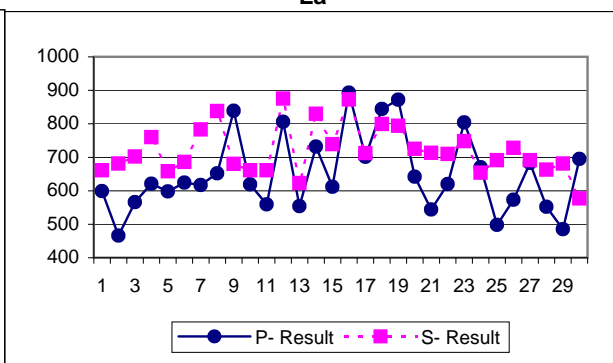
Ge



La

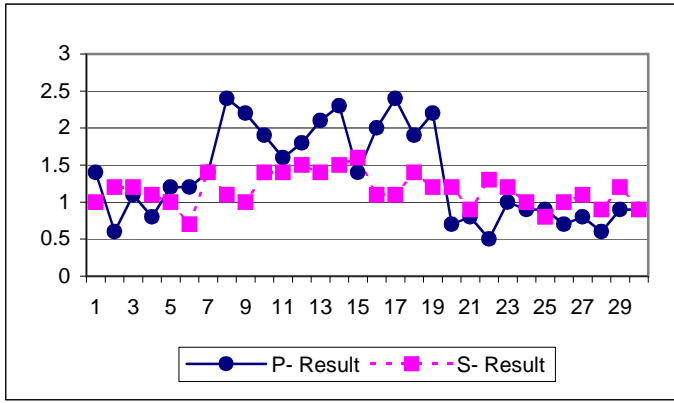


Li

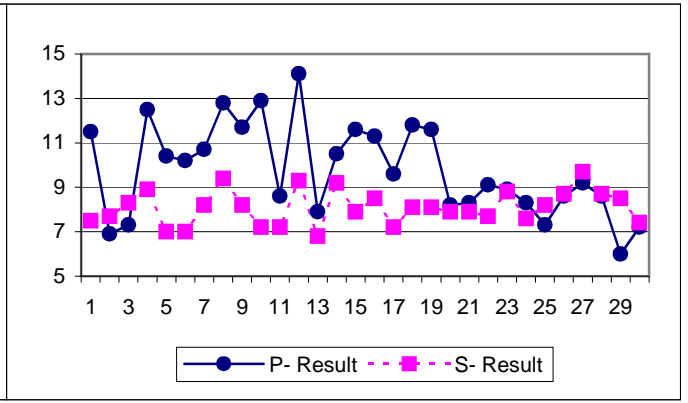


Mn

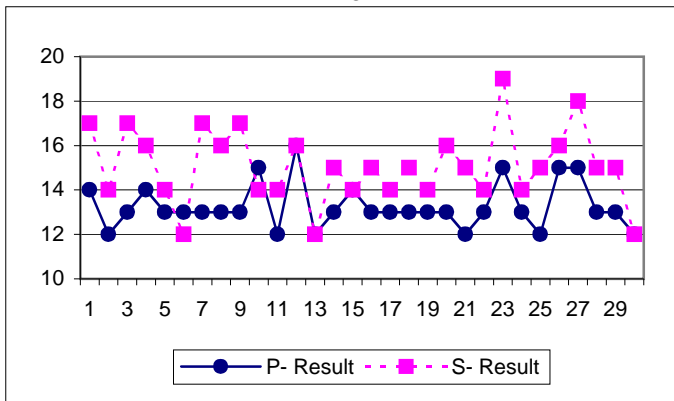
شکل (۲-۹) : مقایسه نتایج آنالیز نمونه‌های ژئوشیمیایی و تکراری



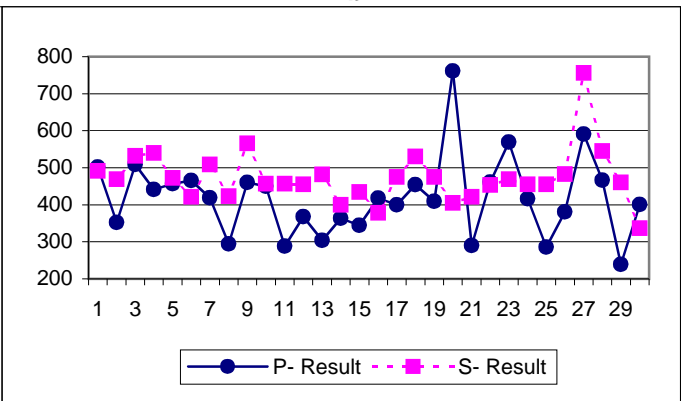
Mo



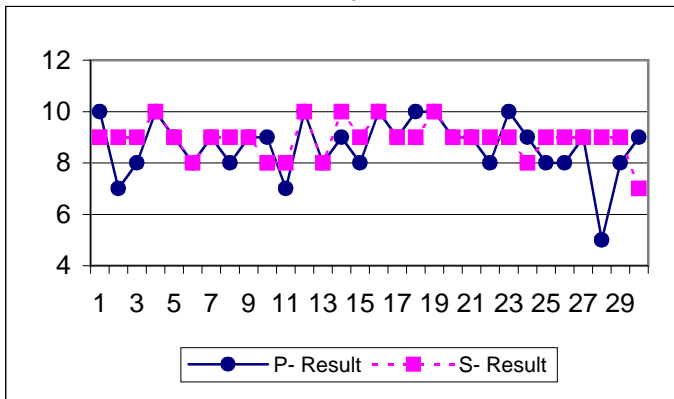
Nb



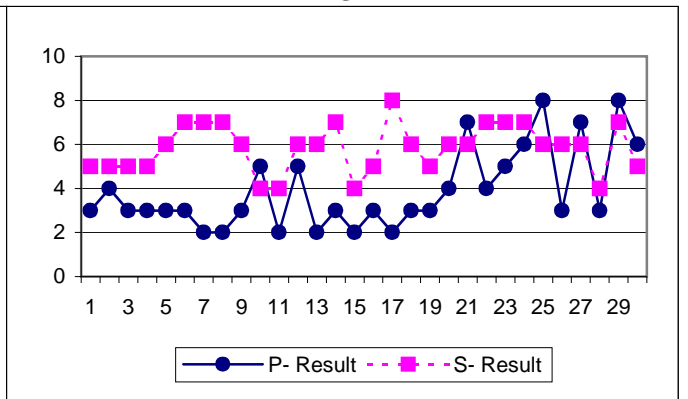
Nd



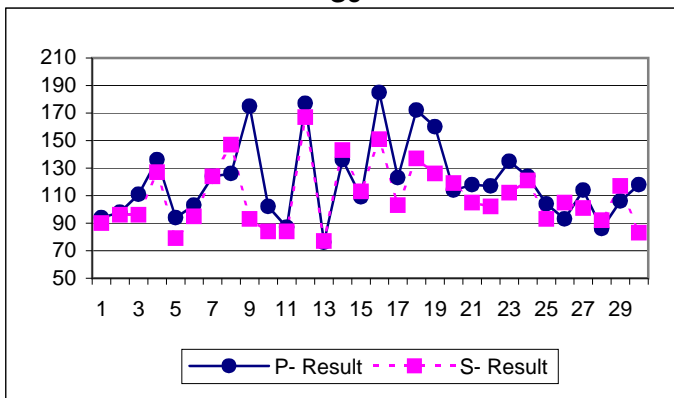
S



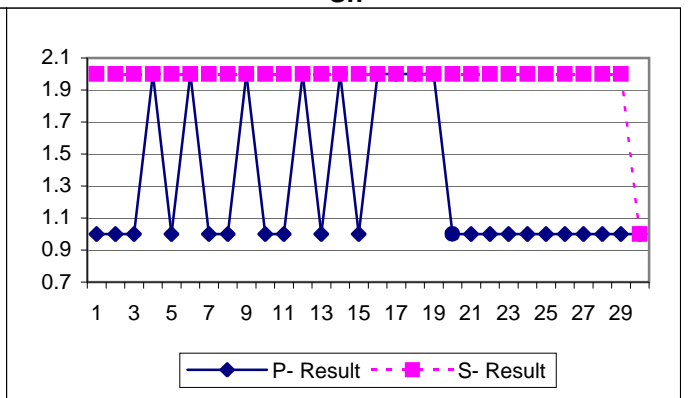
Sc



Sn



V

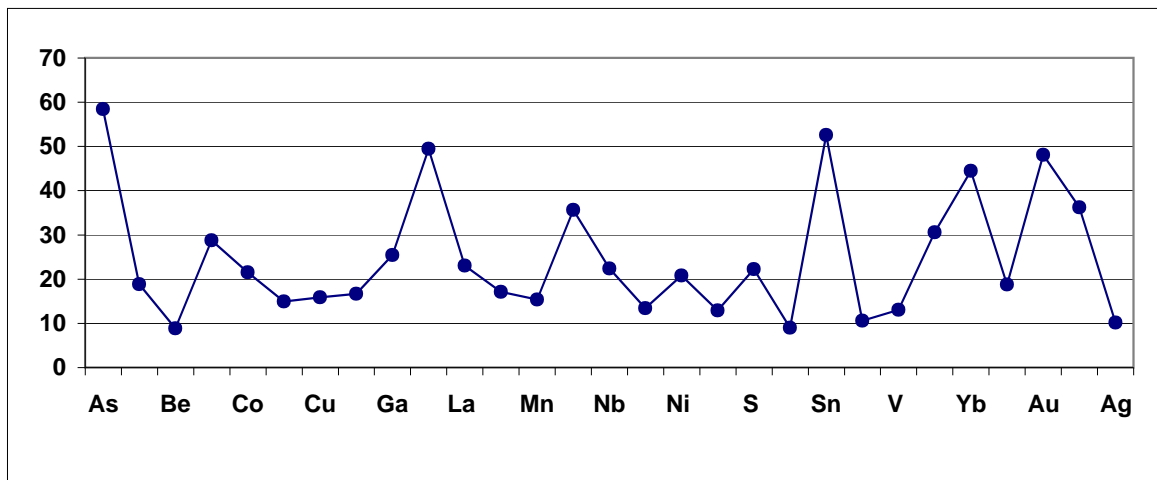


Yb

Table (2-7): Relative and Standard Error for Different in Chehel kureh

Element	M	D/S	RE
As	11	8.763	58.421
Ba	391.775	2.826	18.84
Be	0.7	1.328	8.856
Cd	0.225	4.314	28.761
Co	15.525	3.158	21.53
Cr	137.5	2.232	14.885
Cu	30.1	2.372	15.819
Eu	0.95	2.497	16.65
Ga	15	3.815	25.439
Ge	0.612	7.414	49.429
La	17.5	3.45	23.005
Li	18.95	2.561	17.077
Mn	663.5	2.304	15.362
Mo	1.125	5.341	35.61
Nb	8.675	3.354	22.364
Nd	14	2.004	13.36
Ni	65	3.12	20.803
P	473	1.932	12.884
S	439.75	3.33	22.201
Sc	8.75	1.342	8.948
Sn	4.5	7.887	52.584
Sr	259	1.583	10.558
V	111.25	1.951	13.008
Y	11	4.578	30.521
Yb	1.5	6.666	44.444
Zn	61.425	2.815	18.767
Au	0.0011	7.212	48.084
W	1.08	5.427	36.185
Ag	0.1	1.523	10.157
Average			24.63972414

Fig (2-10): Curve Of Relative Error



جداول آنالیز نمونه‌های ژئوشیمیایی برگه ۱:۱۰۰۰۰۰ چهل کوره

Sample No	As	Ba	Be	Cd	Co	Cr	Cu	Eu	Ga	Ge	La	Li	Mn	Mo	Nb
UNITS	ppm	ppm	ppm	ppm	ppm	ppm	ppm	ppm	ppm	ppm	ppm	ppm	ppm	ppm	ppm
CR-001	10	487	0.6	0.15	12.5	183	29.6	0.8	12	0.375	14	21.4	694	2.2	8.3
CR-002	9	400	0.7	0.15	13.3	149	30.5	0.8	13	0.5	15	21.7	648	1.6	9
CR-003	7	382	0.7	0.15	12.8	139	26.4	0.8	13.2	0.375	16	20.5	638	1.6	8.7
CR-004	9	394	0.7	0.15	15.2	154	30.5	0.8	15	0.9	16	19.7	736	1.4	10.1
CR-005	4	354	0.7	0.15	11.5	127	25.7	0.7	13	0.375	13	15.8	592	1.6	8.9
CR-006	11	383	0.7	0.15	13.4	145	28.2	0.9	13	0.8	16	21.4	696	1.2	10.1
CR-007	10	409	0.7	0.15	14.9	152	27.3	0.8	14	0.8	16	21.1	693	1.7	9.3
CR-008	12	401	0.7	0.15	13.3	117	26.5	0.8	14	1	16	20.3	643	1.3	9.4
CR-009	11	377	0.7	0.15	11.6	125	24.5	0.8	12	0.6	15	21.2	612	1.4	8.5
CR-010	12	386	0.7	0.15	11.8	109	23.5	0.8	13	0.9	15	23	549	1.4	7.1
CR-011	6	394	0.7	0.15	10.5	98	22.6	0.7	12	0.375	13	19.1	501	1.3	8.5
CR-012	11	390	0.7	0.15	13	112	24	0.7	13	0.375	14	21.1	586	1.2	8.2
CR-013	8	404	0.6	0.15	13.5	158	27	0.8	14	0.375	15	19.1	669	1.5	9.5
CR-014	10	393	0.7	0.15	13.2	126	24.6	0.8	14	0.375	16	19.5	603	1.3	8.6
CR-015	12	393	0.7	0.15	15.4	171	27.4	0.8	14	0.9	16	22.5	696	1.4	8.8
CR-016	8	406	0.6	0.15	14.3	159	27.4	0.8	14	0.375	15	20.5	685	1.5	8.9
CR-017	9	409	0.7	0.15	11.7	128	24	0.8	13	0.375	15	19	595	1.2	8.9
CR-018	8	345	0.6	0.15	12.4	138	24.9	0.8	14	0.7	15	18.5	506	1.4	10.8
CR-019	8	401	0.6	0.15	13	158	27.5	0.8	13	0.6	17	21.7	714	1.6	11.6
CR-020	12	453	0.7	0.15	14.2	142	26.8	0.8	15	0.375	17	21	675	1.8	8.6
CR-021	11	359	0.6	0.15	12.7	153	26.4	0.6	12	0.375	11	15.8	668	1.3	9.7
CR-022	12	373	0.7	0.15	14.7	145	26.7	0.8	14	0.5	15	21.3	684	1.4	8.2
CR-023	8	382	0.6	0.15	12.8	146	27.4	0.7	12	0.5	14.5	19.8	695	1.8	9.3
CR-024	10	368	0.7	0.15	13.5	126	28	0.8	14	0.375	15	20.8	653	1.3	8.7
CR-025	10	378	0.6	0.15	13.5	155	29	0.8	13	0.9	15	20.2	737	1.5	9.8
CR-026	11	401	0.7	0.15	13.1	130	26.1	0.8	14	0.6	16	23.6	635	1.4	9.6
CR-027	12	387	0.6	0.15	14.8	161	28.4	0.8	15	0.375	16	21.9	731	1.6	10.2
CR-028	6	384	0.7	0.15	11.8	115	23.6	0.7	13	0.7	13	20.2	555	1.2	9
CR-029	11	483	0.7	0.15	14	137	27.9	0.8	14	1.1	16	23.5	683	1.5	8.6
CR-030	11	364	0.7	0.15	13.2	133	28.7	0.8	14	0.8	15	21.9	651	1.3	9.4
CR-031	10	395	0.7	0.15	14.3	132	29	0.9	14	0.7	16	24.5	724	1.7	14
CR-032	8	375	0.7	0.2	11.1	123	24	0.7	11	0.375	13	20.8	586	1.3	9
CR-033	11	439	0.7	0.15	13.2	158	28	0.8	13	0.9	15	22.2	702	1.6	9.4
CR-034	7	422	0.7	0.15	11.1	127	24.6	0.8	11	0.9	14	23	610	1.3	8.7
CR-035	7	424	0.7	0.15	10.1	118	22.1	0.7	12	0.7	13	21.6	482	2	7.2
CR-036	9	389	0.7	0.15	12.2	119	24.6	0.7	13	0.375	12	20.4	592	1.4	8.4
CR-037	10	381	0.7	0.15	13	138	25.6	0.7	14	0.8	14	19	636	1.6	8.3
CR-038	8	418	0.6	0.15	14.9	171	28.4	0.8	14	1	17	22.3	738	1.8	10
CR-039	10	414	0.7	0.15	13.8	151	26	0.8	14	0.5	15	21.2	647	1.8	9.2
CR-040	15	413	0.7	0.15	14.8	153	29.8	0.8	15	0.6	17	24.8	737	1.6	9.9
CR-041	11	371.7	0.6	0.15	14.1	147	28.5	0.9	14	0.8	17	22.8	666	1.7	9.1
CR-042	8	379.5	0.6	0.15	12.3	172	27.3	0.8	12	1.3	15	23	640	1.6	9.6
CR-043	12	372.5	0.7	0.15	12.5	173	27.2	0.9	13	1.1	18	22.4	636	1.9	9.7
CR-044	10	376	0.6	0.15	12.7	169	28	0.8	13	0.8	16	22.5	606	1.8	9
CR-045	11	458.1	0.6	0.15	12.4	159	27.6	0.8	12	0.375	15	21.6	645	1.4	9.4
CR-046	7	373.8	0.6	0.15	12.2	157	26	0.8	12	0.9	14	22.9	602	1.5	9
CR-047	10	375	0.6	0.15	13.7	153	27.3	0.8	13	0.375	15	22.4	606	1.6	8.5
CR-048	9	376	0.5	0.2	12.3	176	29.8	0.9	12	0.375	18	22.7	719	1.6	10.7
CR-049	8	324.1	0.6	0.2	15.3	198	29.9	0.9	15	0.375	17	18.1	669	1.5	14.3
CR-050	8	495.4	0.5	0.15	12.8	144	27.6	0.8	12	0.9	16	21.9	623	1.5	9
CR-051	8	344.4	0.6	0.15	11.6	180	35	0.9	11	1.7	15	20.8	652	2.4	12.8
CR-052	10	446.9	0.7	0.2	15.2	184	33.2	0.9	16	0.375	15	22.5	701	2.4	9.6
CR-053	7	400	0.6	0.15	11.2	146	29.4	0.8	11	0.7	16	21.3	643	1.6	9.7
CR-054	10	535.4	0.6	0.2	14.6	167	30.7	0.9	14	0.375	17	23	711	2	9.6
CR-055	10	391	0.6	0.15	12.1	162	30.5	0.9	12	0.9	15	22.8	646	1.8	9.7
CR-056	11	499.6	0.6	0.2	15	147	33.1	0.9	15	0.9	15	21.9	745	2.1	9.5

جدول آنالیز نمونه‌های ژئوشیمیایی برگه ۱:۱۰۰۰۰۰ چهل کوره

CR-057	5	397.2	0.6	0.15	11	119	28.9	0.8	11	1	15	24.3	653	1.2	9.4
CR-058	10	411.4	0.6	0.15	14.9	132	30.5	0.9	15	0.6	14	23.7	731	1.6	10.5
CR-059	7	384.1	0.6	0.15	14.6	131	28.9	0.9	14	0.375	14	23.5	710	1.8	11
CR-060	8	389.5	0.6	0.15	14.6	152	29.6	0.9	15	0.8	18	22.7	732	2.3	10.5
CR-061	10	376.9	0.6	0.15	13	131	28.2	0.9	13	1.1	16	25	704	1.8	9.8
CR-062	8	381.1	0.6	0.15	12.4	105	29.1	0.8	13	0.6	14	24.4	612	1.5	9.5
CR-063	9	366.6	0.6	0.15	13.5	129	27.3	0.8	13	1.2	15	25	635	1.7	9.4
CR-064	10	368.8	0.7	0.15	12.7	106	28	0.9	14	1	16	24.8	644	1.6	12.2
CR-065	11	392	0.6	0.15	14.5	153	30.3	0.8	14	0.8	14	24.7	742	2.6	10.1
CR-066	10	386	0.6	0.15	14.3	147	30.6	0.9	14	1	15	24.9	737	1.6	10
CR-067	10	387.5	0.6	0.15	12.7	125	27.3	0.8	13	1	15	24.6	667	1.3	9
CR-068	11	398.5	0.7	0.15	13.4	117	28.7	0.9	14	0.5	15	24.4	702	1.5	9.4
CR-069	11	371.4	0.6	0.15	14.4	145	32.6	0.9	14	0.8	19	23.5	808	1.5	10.9
CR-070	10	386.8	0.6	0.15	13.5	133	27.9	0.9	14	0.8	17	23.1	674	1.7	9.6
CR-071	10	397.6	0.6	0.15	10.3	120	25.1	0.8	11	0.5	16	22.7	554	2.1	7.9
CR-072	10	384.4	0.7	0.15	13.1	108	26.9	0.9	14	0.8	16	23	614	1.8	8.8
CR-073	9	419.1	0.7	0.15	13.5	141	29.6	0.9	14	0.9	17	24.3	680	2.2	9.1
CR-074	9	407.5	0.7	0.15	14.1	131	31.7	0.9	14	1	19	23.7	744	1.5	10.6
CR-075	13	392.8	0.7	0.2	17.2	145	33.1	0.9	16	0.8	18	24.3	827	1.9	10.4
CR-076	11	402.9	0.6	0.15	13.9	127	29.7	1	14	0.8	17	23.3	720	1.9	9.9
CR-077	9	402	0.7	0.2	14.6	134	30.7	0.9	15	0.2	18	21.1	740	2.2	9.7
CR-078	10	397	0.7	0.15	14.3	140	30.7	0.9	14	0.8	16	23.2	751	2	10
CR-079	8	400	0.7	0.15	13.3	119	29.9	0.9	14	1	16	25.9	670	2	10.7
CR-080	10	403.1	0.6	0.15	12.4	130	28.3	0.9	13	1	16	22.5	682	1.7	8.9
CR-081	10	329	0.6	0.15	11.1	139	26.7	0.8	13	0.375	14	20.8	568	2	9.2
CR-082	8	312	0.6	0.15	10.2	123	282.6	0.7	12	1.1	12	17.2	548	1.6	8.9
CR-083	9	316	0.5	0.15	10.8	122	37.1	0.7	12	0.5	12	15.2	579	1.2	9.7
CR-084	8	343	0.6	0.15	11.2	138	33.6	0.8	13	0.7	16	19.1	604	1.9	9.1
CR-085	10	408	0.6	0.15	12.3	150	30.2	0.8	14	0.8	15	18.8	630	2	10
CR-086	12	327	0.6	0.15	11	116	26.2	0.8	13	0.7	16	20.3	559	1.6	8.6
CR-087	7	327	0.7	0.15	11.1	126	28.4	1.1	13	0.7	17	21.7	609	1.8	11.1
CR-088	9	341	0.7	0.15	11.6	137	26.5	0.8	14	0.9	15	19.1	582	1.9	9.8
CR-089	10	331	0.7	0.15	12.8	153	28.8	0.9	15	1.3	18	24.7	618	2.1	10.4
CR-090	13	353	0.6	0.15	15	168	30.1	1	15	0.4	20	19.4	728	1.8	10.7
CR-091	13	366	0.6	0.3	14.4	184	34	0.9	15	0.9	19	17.9	734	2.1	10.8
CR-092	11	335	0.6	0.2	14.4	160	32.9	0.9	15	0.7	18	18.9	742	1.5	12.5
CR-093	10	358	0.5	0.2	15.1	181	29.5	0.9	16	0.7	16	19.2	762	1.5	11.1
CR-094	9	370	0.6	0.15	13.7	172	29	0.9	15	0.375	18	20	718	1.7	10.6
CR-095	7	362	0.6	0.2	14	166	27.9	0.9	15	0.6	18	17.5	709	1.5	9.8
CR-096	8	385	0.5	0.2	13	209	29.7	0.9	14	1.1	17	19.1	758	1.9	10.8
CR-097	9	319	0.6	0.15	12.6	188	28.7	0.9	14	0.5	13	16.7	686	2	10
CR-099	11	397	0.6	0.2	18.8	233	32.8	1	18	1.1	16	17.8	839	2.2	11.7
CR-100	12	568	0.5	0.2	17	216	33.6	1	17	1.1	19	20.5	854	2	11.8
CR-101	12	418	0.6	0.3	18.9	246	35	1	20	0.5	20	19.1	950	2.1	12.4
CR-102	11	402	0.6	0.2	15.4	203	31.3	1	16	0.375	18	20.1	864	1.6	11.7
CR-103	11	486	0.7	0.2	17.5	239	32.7	1.1	18	1	20	19.6	893	2	11.3
CR-104	9	502	0.7	0.15	16.1	189	29.2	1	16	0.6	19	19.6	744	1.8	10.9
CR-105	12	486	0.6	0.2	17.5	192	34.4	1	19	1.2	21	20	806	1.8	10.7
CR-106	9	431	0.7	0.2	16.8	209	31.1	1.1	17	0.375	19	21.5	844	1.9	11.8
CR-107	9	486	0.7	0.2	14.4	184	28.5	1	17	0.375	18	19.7	779	1.8	16.4
CR-108	10	516	0.7	0.2	15.4	178	28.3	1	17	0.9	17	20	736	1.6	10.9
CR-109	15	483	0.7	0.3	19.6	255	34.3	1.2	19	0.7	22	19.9	967	1.9	12.9
CR-110	3	469	0.8	0.2	19.4	239	33.2	1.2	20	0.375	23	21.8	924	1.9	13.1
CR-111	11	470	0.8	0.3	16.6	210	32.2	1.1	18.9	1.1	21	19.8	872	2.2	11.6
CR-112	11	472	0.8	0.3	18.3	210	32.2	1.2	20	0.5	23	20.6	928	6.6	50.2
CR-113	11	443	0.6	0.3	18.6	230	33	1.1	19	0.6	22	17.5	953	1.9	13
CR-114	13	453	0.7	0.3	20.4	218	33.4	1.2	21	1.1	25	18.5	982	2.3	12.8
CR-115	12	441	0.7	0.2	18	227	30.4	0.9	18	0.7	18	11	863	1.8	11.5

جدول آنالیز نمونه‌های ژئوشیمیایی برگه ۱:۱۰۰۰۰۰ چهل کوره

CR-116	13	475	0.7	0.3	16.6	202	29.6	1	19	0.7	18	17	851	1.9	11.6
CR-117	11	851	0.7	0.2	16.3	191	29	1.1	18	0.8	22	20	806	2.1	19.1
CR-118	9	449	0.7	0.2	16.1	179	28.2	1	18	0.6	20	19.1	763	1.7	10.7
CR-119	13	486	0.7	0.3	19	219	53.9	1.1	20	0.6	20	17.6	872	2.1	11.4
CR-120	12	489	0.7	0.3	17.9	289	31	1.1	19	0.6	18	20.2	915	1.6	13
CR-121	8	369	0.7	0.15	13	167	23.8	0.9	14	1.1	17	22.7	612	1.4	11.6
CR-122	7	350	0.7	0.15	14.2	142	23.7	0.9	14	0.9	16	21.8	621	1.4	11.1
CR-123	8	340	0.7	0.2	17.2	221	28	0.9	17	0.7	19	21.1	754	1.8	12
CR-124	10	357	0.7	0.3	15.7	205	26.1	1	16	0.9	20	20.9	697	1.6	13.7
CR-125	9	382	0.7	0.15	19.3	236	29.8	1	18	0.7	21	20.7	806	1.8	14.1
CR-126	11	370	0.7	0.2	15.6	232	29.3	1	16	1.7	18	21.1	787	1.7	15.1
CR-127	12	400	0.7	0.2	17.7	225	28.1	1	17	0.6	19	21.3	765	2	13.3
CR-128	7	360	0.7	0.2	14.8	215	26.6	1	14	0.9	17	21.2	705	1.5	13
CR-129	11	383	0.7	0.2	16.6	189	26.9	1	17	0.5	19	20.7	724	1.9	13.2
CR-130	7	377	0.7	0.2	16.6	221	27.3	1	16	1	19	20.5	723	1.9	13.6
CR-131	4	392	0.7	0.3	17.8	192	29.7	1.1	18	0.9	22	21.5	763	1.5	13.7
CR-132	11	391	0.7	0.2	12.6	144	25.7	0.9	14	1	16	22.3	647	1.6	13.2
CR-133	10	906	0.8	0.2	13.9	125	26	1	16	1.4	19	20.6	623	1.7	11
CR-134	9	401	0.7	0.2	12.4	138	26	0.9	14	0.7	16	20.5	631	1.9	12
CR-135	2	375	0.8	0.2	14	147	26.9	1	16	0.8	18	22.2	632	1.8	12.6
CR-136	6	360	0.8	0.15	13.3	142	27.6	1	14	1.3	17	25.2	619	1.9	12.9
CG-137	9	351	0.5	0.15	11	342	24.4	0.7	11	0.375	16	16.2	682	0.9	6.2
CG-138	10	335	0.5	0.15	9.8	229	23.5	0.7	11	0.375	15	17.4	644	0.6	6.9
CG-139	7	345	0.5	0.15	11.1	304	23.1	0.7	11	0.6	16	15.9	651	0.9	6.3
CG-140	8	347	0.6	0.15	10.4	373	24.5	0.7	11	0.8	17	17.4	672	0.7	6.8
CG-141	8	354	0.5	0.15	10.5	217	23.6	0.7	12	0.7	15	15.9	648	0.7	5.7
CG-142	9	345	0.6	0.15	9.1	271	22.1	0.7	10	0.6	15	16.9	587	0.7	6.4
CG-143	7	342	0.5	0.15	11	284	23	0.6	11	0.375	14	16.1	627	0.7	5.6
CG-144	5	354	0.5	0.15	10.5	266	23.2	0.7	11	0.7	14	16.8	646	0.7	6.2
CG-145	8	335	0.6	0.15	10.3	196	22.9	0.7	11	0.375	16	18.1	588	0.6	6.2
CG-146	6	350	0.6	0.15	8.4	177	21	0.6	9.6	0.375	13	17.9	541	0.6	6.2
CG-147	12	444	0.8	0.2	14.7	232	31.3	1	14	0.7	19	17.7	798	1.1	8.6
CG-148	12	457	0.8	0.2	10.5	132	24.9	0.9	13	0.375	16	15.8	622	1.1	6.8
CG-149	15	487	0.8	0.2	12	187	26.7	1	14	0.375	19	15.2	680	1.2	7.3
CG-150	8	447	0.5	0.3	7.6	157	18.5	0.6	9	0.6	13	15.1	489	0.6	4.8
CG-151	16	478	0.8	0.2	10.7	129	24.5	0.9	13	0.8	17	16.7	613	1.1	6.6
CG-152	13	472	0.8	0.2	12.8	158	26	1	14	0.375	21	15.7	674	1.1	6.9
CG-153	15	483	0.8	0.2	13	198	27.5	1	14	0.5	20	16.4	726	0.9	7.7
CG-154	9	467	0.9	0.2	13.4	161	27.8	1	15	1.1	21	16.5	725	1.1	8.3
CG-155	17	524	0.9	0.2	14.6	194	30.1	1	15	1.2	23	17	843	1.4	7.8
CG-156	13	484	0.9	0.2	13.8	163	28.2	1	15	0.375	19	16.6	750	1.2	8.1
CG-157	10	513	0.9	0.2	13.3	172	29.9	1	14	1.4	20	16.8	813	1.1	8.2
CG-158	14	477	0.8	0.2	12.7	137	27.4	1	15	0.5	19	17.2	732	1.4	7.4
CG-159	10	487	0.9	0.2	9.5	115	24.5	0.9	13	0.375	15	16.8	621	1.1	6.4
CG-160	9	351	0.6	0.4	10.5	245	26.1	0.8	11	0.6	18	16.8	741	0.7	6.7
CG-161	13	478	0.8	0.2	11.2	134	26.6	1	14	0.9	18	16.8	664	1.8	7.2
CG-162	12	471	0.9	0.2	13.5	182	30.4	1	16	0.375	21	18.1	794	1.9	8.7
CG-163	14	450	0.8	0.3	14.7	219	34	1.1	16	0.375	21	17.3	965	2.4	9.9
CG-164	15	467	0.9	0.2	11.3	115	31.9	1	16	1.4	18	18.2	750	1.5	8.6
CG-165	13	446	0.9	0.2	11.8	126	28.2	1	15	0.375	18	17.4	723	2.2	8.3
CG-166	10	454	0.8	0.2	13.6	193	30.1	1	16	0.375	17	16.5	825	2	8.9
CG-167	14	448	0.8	0.2	10.6	138	28.1	1	14	0.375	18	17.2	721	1.6	7.9
CG-168	13	452	1	0.2	10.9	118	30.2	1	16	0.375	19	18.7	717	1.7	8.6
CG-169	14	463	0.9	0.2	12.1	121	29	1	15	0.375	17	17.6	749	1.6	8.1
CG-170	13	440	0.9	0.2	11.8	122	28.6	1	15	0.375	18	18.1	716	1.6	8.1
CG-171	10	427	0.8	0.2	10.8	125	28.6	1	14	0.5	18	17.5	699	1.9	8.1
CG-172	13	432	0.9	0.2	10.9	133	28.5	1	14	0.5	16	17.8	730	1.8	8.9
CG-173	11	420	0.9	0.2	11.7	133	28.5	1	15	0.7	18	17.4	708	2.1	8.3

جدول آنالیز نمونه‌های ژئوشیمیایی برگه ۱:۱۰۰۰۰۰ چهل کوره

CG-174	12	432	0.9	0.2	10.2	127	28.4	1	14	0.8	18	18.5	703	1.7	8.4
CG-175	15	441	0.9	0.2	9.7	118	27	1	14	1.1	17	17.8	670	1.8	8.3
CG-176	14	447	0.9	0.2	11.5	138	28.1	1	15	0.375	17	18	738	1.5	8.6
CG-177	19	440	0.8	0.2	10.8	128	28.1	1	15	0.375	17	17.1	700	1.3	8.1
CG-178	11	423	0.9	0.2	11.2	162	29.2	1	16	0.7	18	17	734	2.9	7.8
CG-179	11	428	0.9	0.2	11	130	29.7	1	15	0.375	17	18.3	733	1.6	7.9
CG-180	20	427	0.8	0.2	12.1	158	29.3	1	16	0.6	19	16.8	793	1.7	8.4
CG-181	12	405	0.9	0.2	11.5	135	28.4	1	15	0.6	17	17.6	720	1.6	7.9
CG-182	14	417	0.9	0.2	10.9	131	28.3	1	15	0.6	19	17.8	721	1.5	7.9
CG-183	13	423	0.9	0.2	10.7	145	29.6	1	15	0.5	19	18.8	728	2.3	8.5
CG-184	11	434	0.9	0.2	11.8	138	30.3	1	16	0.9	20	18.2	745	1.9	8.1
CG-185	13	430	0.9	0.2	10.4	129	27.5	1	15	0.375	17	16.8	702	1.8	8
CG-186	12	439	0.9	0.2	11.6	139	28.8	1	16	1.1	19	17.5	722	2.2	8.4
CG-187	13	447	0.9	0.2	11.6	143	30	1	16	0.2	20	17.9	775	1.7	8.9
CG-188	11	418	1	0.2	11.2	126	30.1	1.1	16	0.375	22	18.4	708	1.9	9
CG-189	14	442	0.9	0.2	10.7	159	31.7	1	15	0.9	19	18.2	725	2.4	9.2
CG-190	13	440	0.9	0.2	11.1	158	29.7	1	15	0.6	20	17.2	775	2	8.6
CG-191	11	431	0.9	0.2	12.3	146	28.2	1	15	1.3	18	17.2	754	1.8	8.3
CG-192	6	345	0.6	0.15	8.7	157	20.7	0.7	10	0.5	14	17.5	559	1.2	6.1
CG-193	9	345	0.5	0.15	8.1	179	21.1	0.7	8.9	0.6	13	16.6	576	0.8	6.1
CG-194	7	347	0.6	0.15	10.3	213	22	0.7	12	0.375	15	16.3	624	1.2	6.1
CG-195	6	271	0.6	0.3	16.4	231	29.3	0.8	11	1.4	16	18.7	529	1.3	7.5
CG-196	7	272	0.6	0.3	13.1	186	25.3	0.8	9	1.2	18	19.2	478	1.1	6.9
CG-197	7	278	0.6	0.3	14.5	164	25.6	0.7	11	1.7	16	18.5	484	0.9	6.8
CG-198	8	285	0.5	0.3	14.9	261	27.2	0.7	9	1.7	14	16.7	590	0.9	8
CG-199	7	275	0.5	0.2	11.4	146	22.7	0.7	8	1.3	15	17.2	436	1.5	6.2
CG-200	4	259	0.5	0.2	12.6	151	23.4	0.7	9	1.3	12	17.9	474	0.6	7
CG-201	6	281	0.6	0.2	11.9	157	24.2	0.7	9	1.5	14	18.1	461	0.7	6.8
CG-202	6	290	0.5	0.2	11.2	164	19.9	0.6	8	1.1	13	16	405	0.8	5.8
CG-203	6	289	0.5	0.2	11.3	166	21.5	0.7	8	1	14	16.3	431	0.9	6.1
CG-204	8	265	0.5	0.2	11.3	145	22.4	0.7	8	0.7	13	17.6	447	0.7	6.9
CG-205	5	260	0.5	0.3	12.7	174	24.8	0.7	9	0.9	16	16.9	529	0.7	8.2
CG-206	8	263	0.4	0.3	12.1	216	24.5	0.7	8	0.7	14	17	529	0.6	7.8
CG-207	5	252	0.5	0.2	10.7	118	24.5	0.6	8	0.8	10	17.3	392	0.7	6.4
CG-208	9	258	0.5	0.2	12.4	146	23	0.7	8	0.6	15	17.3	447	0.9	6.8
CG-209	6	247	0.5	0.2	12.7	179	25.9	0.7	8	1.1	13	19.2	474	0.8	7.4
CG-210	7	252	0.5	0.2	12.3	203	23.7	0.6	7	1	12	17.5	480	0.9	7
CG-211	5	230	0.4	0.2	14.7	177	24	0.7	8	0.375	14	16.5	490	0.6	8
CG-212	8	248	0.5	0.3	15.3	186	25.6	0.7	10	0.8	16	16.2	529	0.8	8.4
CG-213	7	254	0.5	0.3	13.1	159	24.3	0.7	9	0.7	15	17.6	480	0.9	6.8
CG-214	8	245	0.5	0.3	12.9	172	23.5	0.6	9	0.375	10	15.5	435	1	6.9
CG-215	9	258	0.5	0.3	12.9	167	24.9	0.7	9	0.8	15	18	485	0.8	7.5
CG-216	9	265	0.6	0.3	14.8	161	25.7	0.7	10	1.1	13	18.7	471	1.1	6.9
CG-217	7	280	0.5	0.3	12.9	164	21.9	0.7	10	0.7	14	16.8	447	0.9	6.7
CG-218	8	246	0.5	0.3	14.8	149	23.1	0.7	10	0.8	16	17.4	477	0.8	7.3
CG-219	8	248	0.5	0.3	14.4	209	25.4	0.7	10	1.1	17	17.4	561	0.9	8.5
CG-220	8	270	0.5	0.3	12.1	173	25.9	0.7	10	0.5	17	17.7	538	0.6	8
CG-221	5	249	0.6	0.3	12.1	191	26.6	0.7	10	0.5	17	18.1	541	0.9	7.9
CG-222	9	256	0.6	0.3	10.1	136	22.8	0.7	9	0.7	13	17.9	462	0.7	6.8
CG-223	7	259	0.6	0.4	10.7	177	23.7	0.8	11	0.375	17	17.6	510	1.1	12.5
CG-224	5	254	0.6	0.3	13.5	228	26.3	0.7	11	0.8	19	18.2	575	0.9	8.6
CG-225	5	266	0.5	0.3	10	159	23.9	0.7	9	0.7	13	18.1	461	0.8	7.3
CG-226	6	273	0.6	0.2	9.3	138	24.4	0.6	9	0.6	11	18.5	428	0.8	6.9
CG-227	6	285	0.7	0.3	11	140	27.5	0.7	10	0.6	12	22.3	454	0.7	7.4
CG-228	7	277	0.5	0.3	12.9	196	26	0.8	11	1.1	14	17.4	524	0.9	7.6
CG-229	4	286	0.6	0.3	12.7	185	25.5	0.7	10	0.375	16	17.6	495	0.8	6.9
CG-230	10	280	0.5	0.3	14.1	314	28.9	0.7	11	0.7	14	18.8	596	1.1	8.3
CG-231	9	281	0.6	0.3	11.6	201	25.2	0.7	11	0.375	13	18.2	486	0.9	7.1

جداول آنالیز نمونه‌های ژئوشیمیایی برگه ۱:۱۰۰۰۰۰ چهل کوره

CG-232	3	278	0.6	0.3	12.6	187	24.4	0.7	10	0.5	13	17.9	473	1	6.9
CG-233	5	275	0.6	0.3	11	187	24	0.7	9	0.6	12	18.7	466	0.6	6.9
CG-234	7	283	0.6	0.3	12.9	199	27.3	0.7	11	0.5	14	17.7	506	0.9	7.6
CG-235	8	287	0.7	0.4	15.3	214	29.3	0.7	12	0.9	14	21.6	552	1.1	7.5
CG-236	3	314	0.6	0.3	11.9	204	27.7	0.8	10	0.9	15	17.8	532	0.9	7
CG-237	4	336	0.7	0.4	12.8	193	26.4	0.7	11	0.8	12	16.5	546	1.1	7.8
CD-238	10	382	0.7	0.5	16.9	165	35.4	0.8	15	0.375	14	18	647	1	9
CD-239	7	350	0.6	0.4	14.9	159	31.3	0.8	10	0.7	15	20.5	566	1.1	7.3
CD-240	10	366	0.8	0.6	20.2	313	32.8	0.8	17	0.375	15	16.7	688	1.2	7.9
CD-241	15	324	0.6	0.5	16.1	187	28.5	0.7	11	0.5	13	17.8	590	0.9	7.7
CD-242	7	324	0.6	0.4	13.8	193	30.5	0.8	11	0.8	15	17.8	542	0.8	6.9
CD-243	7	343	0.6	0.3	12.2	157	30.6	0.9	12	0.8	16	17.6	676	0.7	8.4
CD-244	25	343	0.7	0.6	13.2	124	98.8	0.7	11	1.7	15	17.7	595	1	8.1
CD-245	9	296.1	0.8	0.2	13	106	25.9	0.9	13	0.8	14	17.2	508	1	10.5
CD-246	11	330.5	0.7	0.2	13.6	117	30.3	1	14	0.375	16	17.6	577	0.8	11.6
CD-247	12	343	0.8	0.3	16.4	140	29.4	1	16	0.375	17	19.3	621	0.8	12.5
CD-248	11	333.7	0.8	0.2	14.4	147	27.9	1	14	0.6	16	19.2	569	0.8	11.4
CD-249	10	348.2	0.8	0.2	17.8	194	33	1	16	0.8	16	19	603	1.4	11.4
CD-250	13	368.6	0.8	0.3	15.5	164	33.6	1	15	0.7	17	20.1	659	1.4	12.7
CD-251	9	366.3	0.8	0.3	17.2	154	31	1	17	0.375	17	17.9	616	1.5	11.1
CD-252	13	373.7	0.8	0.3	14.6	161	30.4	1	15	1	17	18	628	1.1	11.8
CD-253	7	377.5	0.8	0.3	16.2	173	29.3	1	16	0.5	16	16.7	606	1.5	11.2
CD-254	11	374.5	0.8	0.2	14.3	160	28.5	1	15	0.375	16	18.2	588	1.3	11.4
CD-255	9	380.4	0.8	0.3	16.1	161	29	1	16	0.375	16	16.8	619	1.3	10
CD-256	13	347.4	0.7	0.3	16.8	242	28.5	1	15	0.375	16	16.2	601	1.2	10.9
CD-257	11	353.5	0.7	0.3	20	361	30.8	1	17	0.375	17	17.4	672	2.1	11.5
CD-258	9	338.1	0.8	0.3	15.9	186	29.5	1	14	0.375	15	16.9	576	1.4	10.7
CD-259	13	337.7	0.7	0.3	16.3	200	35.1	1	16	0.375	15	18.9	648	1.2	11.1
CD-260	11	325	0.7	0.3	18.3	224	28.3	1	15	0.375	15	17	617	1.4	10.7
CD-261	7	328	0.7	0.3	18.4	213	28	0.9	16	0.375	15	14.7	605	3.8	10.2
CD-262	13	317.2	0.7	0.2	20.9	240	31.9	1	15	0.375	17	15.3	624	1.2	10.2
CD-263	10	313.5	0.7	0.3	28.2	457	34.5	1	17	0.375	16	16.6	714	1.5	11
CD-264	9	331.6	0.7	0.2	21.9	226	34.5	1	16	0.375	17	16.9	629	0.9	10.2
CD-265	9	336.1	0.7	0.2	19	193	32	1	15	0.375	15	17.5	586	1.3	9.8
CD-266	8	326.6	0.7	0.2	18.5	191	32.8	1	16	0.375	16	17.1	619	1.1	10.6
CD-267	8	329	0.8	0.2	15.9	130	34.9	1	16	0.375	18	19.1	599	1.4	11.5
CD-268	15	338.1	0.8	0.2	18	168	31.7	1.1	17	0.375	19	18.7	640	1.5	10.7
CD-269	10	327.3	0.8	0.2	16.1	145	30.4	1	16	0.375	17	17.9	625	1	11.5
CD-270	10	334.3	0.8	0.2	15.8	122	33.1	1	16	0.5	18	18.3	601	1.5	11
CD-271	10	327.8	0.8	0.2	16.3	151	31.2	1	15	0.5	16	18.4	599	1.2	10.8
CD-272	11	337.9	0.8	0.2	17.8	148	28.3	1	16	0.375	17	18.2	601	1.1	11.2
CD-273	8	317	0.7	0.2	22.4	345	30.8	1	16	0.375	15	17.6	662	1	12.3
CD-274	11	366	0.8	0.2	15	123	28.7	1	16	0.375	17	18.2	586	1.4	10.6
CD-275	11	366.6	0.8	0.2	14.5	129	27.1	0.9	15	0.7	15	17.8	570	1	10
CD-276	7	328.8	0.7	0.2	20.8	258	27.8	0.9	16	0.375	15	17.1	577	1.3	9.8
CD-277	10	294	0.6	0.2	24.3	323	27.8	0.9	15	0.375	14	16.4	591	1	10
CD-278	3	306.7	0.7	0.2	20.6	252	29.3	0.9	16	0.375	16	17	527	1.4	10
CD-279	5	261.8	0.6	0.2	26.8	348	26.4	0.9	14	0.8	14	15.4	586	1.1	8.6
CD-280	9	341.5	0.8	0.2	16.5	146	27.9	1	16	0.375	15	17.5	546	1.5	9.3
CD-281	9	290.6	0.8	0.2	21.6	212	25	1	14	0.375	13	16.7	560	0.8	9.2
CD-282	10	254.7	0.6	0.2	25.9	620	31.4	0.9	15	0.375	15	14.4	653	1.3	10
CD-283	8	315.3	0.7	0.2	15.7	173	26	0.9	14	0.375	14	17	515	1.3	9
CD-284	7	346.9	0.7	0.2	14.6	134	24.8	0.9	14	0.375	15	16.9	511	1.3	9.3
CD-285	9	291.2	0.7	0.2	20.3	220	28.1	0.9	14	0.5	14	16.8	570	1.2	9.7
CD-286	12	346.5	0.7	0.2	19.9	205	29.8	1	15	0.375	16	17.5	638	1	11.6
CD-287	10	309.7	0.6	0.2	20.1	235	27	0.9	15	0.6	14	16.5	606	2.2	9.6
CD-288	9	281	0.6	0.2	22.9	354	27.2	0.9	14	0.375	14	16	596	0.9	9
CD-289	14	295	0.7	0.2	17.7	180	33.2	1.1	15	0.375	17	18.6	617	1	12.2

جداول آنالیز نمونه‌های ژئوشیمیایی برگه ۱:۱۰۰۰۰۰ چهل کوره

CD-290	10	296.5	0.7	0.2	20.9	255	30	1	16	0.7	18	20	612	1.1	11.1
CD-291	7	312.5	0.7	0.2	21.6	339	29.7	1	15	0.375	15	18.4	598	1.2	10.4
CD-292	6	258.9	0.6	0.2	30.4	425	26.9	0.8	15	0.375	13	14.4	601	0.9	7.2
CD-293	10	321.4	0.7	0.2	15.8	124	33.7	1	15	0.8	15	18.5	605	0.9	11.9
CD-294	10	321.4	0.7	0.2	21.3	339	33.4	1.2	16	0.375	23.8	19.4	691	1.1	13.8
CD-295	9	218	0.6	0.2	12.6	143	38.5	1.1	12	1	15	16.4	644	1.2	14.2
CD-296	12	240	0.6	0.2	13.2	303	29.9	0.9	11	0.7	14	17.4	545	1.3	13.4
CD-297	12	238	0.06	0.15	14.8	246	25	0.8	10	0.8	13	17.3	479	0.9	11.8
CD-298	10	267	0.8	0.15	13.3	222	26.9	0.9	11	1	18	21.8	497	1.1	14.4
CD-299	11	252	0.7	0.15	12.5	201	28.5	0.9	11	0.7	15	18.3	486	1.1	11.6
CD-300	8	252	0.8	0.15	11.5	179	25.9	0.8	10	1.2	13	22.2	490	1	12.7
CD-301	6	209	0.7	0.2	21.4	462	24.7	0.7	11	0.6	12	19.3	486	1.1	10.3
CD-302	5	284	0.9	0.15	10.6	132	22.9	0.8	11	0.5	12.7	25.1	445	1	14.8
CD-303	4	256	0.7	0.15	13.4	253	22.2	0.8	11	0.7	14	19.2	493	1.1	12.2
CD-304	14	252	0.8	0.15	13.1	159	31.1	1	12	0.375	18.6	24.3	505	1.1	12.8
CD-305	10	262	0.8	0.15	11.3	132	26.7	0.9	11	1.1	16	19.2	521	1.2	11.8
CD-306	11	256	0.8	0.15	13.3	177	28.4	0.9	11	0.5	16	19.7	563	1.4	12.6
CD-307	7	257	0.8	0.15	10.7	127	22.2	0.8	11	0.5	13	21	423	1.1	12.9
CD-308	7	254	0.8	0.15	10.4	132	22.8	0.8	11	0.8	13	20.5	422	1.1	13.1
CD-309	8	256	0.6	0.15	10.8	172	20.1	0.8	9	0.5	13	18.2	446	1.1	10.5
CD-310	7	257	0.7	0.15	10.1	146	22.6	0.8	10	0.7	12	19.7	474	1.1	13
CD-311	5	249	0.7	0.15	10.9	137	22.5	0.8	10.9	0.375	13	20.5	440	1.1	12.3
CD-312	5	218	0.7	0.15	15.7	271	24.6	0.8	11	0.7	12	19.7	458	1.2	12.4
CD-313	11	214	0.5	0.15	16.2	298	22.2	0.7	10	0.8	11	16.7	473	1.3	10.1
CD-314	6	252	0.7	0.15	12	133	26.9	0.8	11	0.6	14	18.6	478	0.9	11.7
CD-315	10	269	0.9	0.15	11.1	129	25.3	0.8	12	0.5	14	22.3	485	1.3	14.2
CD-316	9	236	0.5	0.2	18.7	651	31	0.8	11	0.7	13	17.3	644	1.4	13.8
CD-317	9	216	0.5	0.2	19.1	410	28	0.8	11	0.375	13	16.2	558	1.1	12.1
CD-318	8	244	0.7	0.2	12.2	154	26.8	0.8	11	1.1	13	19.8	498	1.3	12.1
CD-319	10	256	0.7	0.15	10.3	163	22.9	0.8	11	1	14	17.6	493	1.4	12.5
CD-320	6	246	0.7	0.15	11	174	24.4	0.8	10	0.6	13	20	464	1	12.2
CD-321	7	270	0.8	0.2	11.6	191	23.6	0.8	11	0.9	13.4	19	480	1.4	11.6
CD-322	9	253	0.6	0.15	11.1	168	22.9	0.8	10	0.7	13	17.8	480	1.2	11.9
CD-323	9	251	0.6	0.15	11.4	208	23.1	0.8	10	0.375	12.8	17	496	1	11.7
CD-324	9	251	0.6	0.15	10.9	165	25.7	0.8	10	1	13	17.8	472	1.2	11
CD-325	7	257	0.7	0.15	11.6	144	25.1	0.8	11	0.375	13	18.8	477	0.9	12
CD-326	6	265	0.6	0.15	10.7	150	23.1	0.8	10.2	0.6	13	18.6	477	0.9	11.3
CD-327	10	249	0.6	0.15	11.9	167	24.2	0.8	11	0.7	13	18.2	461	0.9	10.9
CD-328	7	259	0.6	0.15	11.9	174	23.5	0.8	10	0.9	13	18.2	501	0.8	12.3
CD-329	7	263	0.7	0.15	13.5	232	29.4	0.8	11	0.6	13	17.9	494	1.3	11.3
CD-330	6	266	0.6	0.15	11.5	215	20.1	0.7	10	0.375	12	17.3	432	1	10.3
CD-331	7	252	0.6	0.15	15	333	21	0.7	11	0.5	11	14.9	450	1	10.4
CD-332	10	245	0.6	0.15	15.8	301	21.7	0.7	10	0.8	13	17.9	460	1.3	10.7
CD-333	6	264	0.6	0.15	11.8	186	21	0.8	10	0.6	13	17.7	442	1.2	11.3
CD-334	9	262	0.6	0.15	11.4	207	22	0.8	10	0.6	13	17.2	456	1.2	11.6
CD-335	4	273	0.6	0.15	12.3	180	21.5	0.8	11	0.8	13	17.8	471	1.2	10.4
CD-336	5	238	0.6	0.15	16.9	302	24	0.7	10	0.6	11	18.3	476	0.8	10.6
CD-337	8	271	0.7	0.15	11.3	139	22.3	0.8	10	0.375	14	18.9	455	0.8	11.3
CD-338	8	270	0.6	0.15	11	194	22.4	0.8	10	0.6	13	17.6	476	1.4	11.7
CD-339	10	278	0.7	0.15	11.2	152	22.8	0.8	11	0.375	13	18.1	469	1	11.4
CD-340	10	253	0.6	0.15	10.6	193	22.7	0.8	10	0.375	14	17.6	475	1.3	11.5
CD-341	8	283	0.6	0.15	11.7	185	22.3	0.8	11	0.8	14	17.6	467	1.2	10.9
CD-342	8	264	0.7	0.15	11.2	184	21.7	0.7	11	0.7	12.1	18	459	1.2	10.9
CD-343	8	261	0.6	0.15	11.4	181	23.8	0.8	11	0.6	13	18.4	487	1	11.9
CD-345	5	272	0.7	0.2	11.4	155	21.7	0.7	8	0.6	12	18.3	442	1	7.5
CD-346	7	276	0.6	0.2	12.2	166	21.5	0.7	8	0.375	12	18.2	500	1	8.7
CD-347	11	282	0.7	0.2	11.9	161	22.3	0.7	8	0.5	12	18.4	505	1	8.2
CD-348	6	300	0.6	0.2	11.9	158	22.9	0.7	9	0.375	12	18.8	516	0.8	8.6

جداول آنالیز نمونه‌های ژئوشیمیایی برگه ۱:۱۰۰۰۰۰ چهل کوره

CD-349	7	286	0.7	0.2	12.5	166	22.8	0.7	8	0.6	12	17.9	535	1.2	8.2
CD-350	5	287	0.6	0.2	12.5	176	24.1	0.7	9	0.375	12	18.8	556	1.2	8.9
CD-351	9	293	0.7	0.2	11.9	150	22.6	0.8	9	0.375	13	19.4	558	1.1	9.7
CD-352	7	302	0.6	0.2	11.7	135	20.5	0.8	9	0.6	13	18	503	1.2	8.1
CD-353	8	307	0.7	0.3	12	137	21.3	0.8	9	0.5	12	18.5	542	1.2	8.3
CD-354	6	308	0.7	0.3	11.7	121	21.3	0.8	10	0.5	14	19	542	0.8	8.9
CD-355	9	312	0.7	0.3	14	172	24.3	0.8	11	0.8	14	18.3	717	0.9	10.3
CD-356	9	314	0.6	0.3	13	162	22.7	0.8	9	0.9	12	18.3	547	1.3	9.2
CD-357	6	291	0.7	0.3	14.4	232	23.1	0.8	9	0.5	12	18.3	604	1.5	8.9
CD-358	6	299	0.7	0.3	13	171	22.3	0.8	9	0.8	14	17.9	571	1.5	7.7
CD-359	8	301	0.7	0.3	13	140	23.7	0.8	9	0.5	13	18.8	594	1.3	8
CD-360	7	319	0.6	0.3	12.9	154	22.7	0.8	11	0.6	13	16.9	617	1.3	8.2
CD-361	9	309	0.8	0.3	11.3	113	28.9	0.8	8	1	11	19.1	562	0.9	8.2
CD-362	12	324	0.7	0.3	12.4	128	22.7	0.8	9	0.6	13	17.9	584	0.9	7.9
CD-363	10	313	0.8	0.2	11	135	22.5	0.8	8	0.375	12	18.2	553	1	7.9
CD-364	6	316	0.7	0.3	13.7	153	22.5	0.8	10	0.5	15	17.4	591	1.5	7.8
CD-365	8	325	0.8	0.3	13.4	175	24.2	0.8	9	0.6	13	17.9	692	1.2	8.9
CD-366	7	308	0.7	0.3	13.6	154	25	0.8	9	0.8	15	18.4	596	1.3	8.4
CD-367	10	305	0.8	0.3	15.4	191	26.7	0.8	10	0.5	14	19.1	649	1.5	8.6
CD-368	10	370	0.7	0.3	13.2	141	22.7	0.8	11	0.7	15	17.6	595	1	8.4
CD-369	7	362	0.8	0.3	14.8	166	22.7	0.8	11	0.8	13	17.6	602	1.2	7.9
CD-370	6	292	0.7	0.2	14.3	178	22.2	0.8	10	0.375	13	18.7	532	1.3	7.6
CD-371	12	294	0.7	0.3	12.1	120	23.6	0.8	10	0.375	12	20	556	1.1	8.3
CD-372	13	275	0.6	0.3	16.8	224	26.3	0.8	10	1	12	18.7	651	1	8.4
CD-373	9	298	0.7	0.3	12.1	121	21.7	0.7	10	0.5	11	17.4	557	1.2	8.1
CD-374	8	293	0.6	0.3	15.8	174	25.6	0.8	11	0.375	15	17.9	699	1.3	9.4
CD-375	6	297	0.7	0.2	13.7	132	20.9	0.8	10	0.6	13	17.7	542	1.1	7.5
CD-376	7	309	0.6	0.2	12.9	123	21.9	0.7	10	0.5	7	17.3	576	1.1	8.2
CD-377	8	283	0.7	0.2	11.8	93	21	0.7	9	0.8	9	18.6	524	1	7.7
CD-378	8	309	0.7	0.2	14	139	24.8	0.8	10	0.375	11	19.4	588	0.9	9.5
CD-379	9	308	0.7	0.2	13.9	138	24.9	0.8	10	0.375	15	19.4	574	1	8.7
CD-380	10	306	0.6	0.2	15.3	173	27.5	0.7	9	0.375	10	17.9	680	1.2	10
CD-381	9	316	0.6	0.2	14.3	170	23.9	0.8	9	0.5	13	17	636	0.8	8.9
CK-382	7	297	0.7	0.2	11.8	108	24.2	0.7	8	0.375	9	18.2	552	0.6	8.6
CK-383	11	312	0.7	0.2	13.5	128	25.7	0.8	10	0.375	17	18.3	590	0.9	8.3
CK-384	8	308	0.7	0.2	11.4	110	25.1	0.8	10	0.6	15	20.7	565	0.7	8.9
CK-385	7	304	0.7	0.2	13.4	106	24.4	0.8	10	0.375	15	19.4	559	0.9	8.6
CK-386	7	292	0.7	0.2	12.9	119	22.1	0.8	9	0.6	11	17.7	576	0.7	8.2
CK-387	5	309	0.7	0.2	12.9	120	25.1	0.8	10	0.6	16	20	586	0.8	8.8
CK-388	9	297	0.7	0.2	13.2	130	26.6	0.8	10	0.375	15	20.2	613	0.7	9.9
CK-389	6	316	0.6	0.2	12.8	137	23.4	0.8	9	0.7	16	18.2	602	0.7	8.5
CK-390	9	297	0.7	0.2	12.2	106	23.7	0.8	9	0.5	15	19.1	560	0.8	8.7
CK-391	6	301	0.7	0.2	12.3	126	23.6	0.8	10	0.5	16	18.1	570	0.8	8.5
CK-392	9	299	0.7	0.2	12.7	111	26.7	0.8	10	0.6	16	20.9	558	0.6	10.6
CK-393	10	300	0.7	0.2	12.2	116	25.3	0.8	10	0.2	15	20	567	0.7	9
CK-394	8	288	0.7	0.2	12.9	139	23.6	0.8	9	0.375	14	18.9	573	0.7	8.6
CK-395	7	284.8	0.7	0.3	9.6	120	21.9	0.8	7	0.5	12	17.9	543	0.7	8
CK-396	8	318	0.8	0.3	11	150	24.3	0.8	9	0.375	13	6	602	0.9	9.4
CK-397	6	324	0.7	0.3	11	146	22.1	0.8	9	0.375	13		577	0.8	8.5
CK-398	9	326.5	0.7	0.3	9.7	125	21.4	0.8	8	0.9	11	17.8	558	0.6	8.6
CK-399	6	312.5	0.8	0.3	12.2	117	22.6	0.8	9	0.375	15	18.3	572	0.9	8.9
CK-400	6	331.5	0.7	0.3	11.3	137	22	0.8	9	0.375	12	17	620	0.5	9.1
CK-401	7	342.3	0.7	0.3	12.1	159	23.2	0.8	9	0.375	13	17.3	661	0.8	9.1
CK-402	8	338	0.7	0.3	10.9	143	22.8	0.8	8	0.9	11	18	638	0.6	9.6
CK-403	9	359.2	0.7	0.3	14.4	159	23.9	0.8	10	0.6	17	16.1	724	1	9.1
CK-404	8	360	0.8	0.3	11.7	139	22.9	0.8	9	0.9	14	17.3	624	0.9	9.4
CK-405	7	365.1	0.7	0.3	14.5	165	24.7	0.8	11	0.7	15	15.6	730	1.1	9.8
CK-406	7	364.4	0.8	0.3	13.1	151	24.8	0.8	9	0.6	15	16.7	689	0.7	10.4

جداول آنالیز نمونه‌های ژئوشیمیایی برگه ۱:۱۰۰۰۰۰ چهل کوره

CK-407	7	395.2	0.8	0.3	13.5	153	25.5	0.9	11	0.7	17	17.7	728	0.8	10.3
CK-408	7	380	0.8	0.3	13.3	170	23.5	0.8	10	0.6	16	15.3	658	1	9.9
CK-410	9	426.5	0.7	0.3	14	167	24	0.8	12	0.7	14	14.8	709	1	9.9
CK-411	7	414	0.7	0.3	14.7	169	25.2	0.9	11	0.6	17	15.7	749	1.3	9.7
CK-412	9	252.5	0.7	0.3	10.2	107	20.2	0.8	13	0.375	16	16.1	485	0.9	6
CK-413	10	253.9	0.7	0.3	11.3	118	22.3	0.8	13	0.375	14	16.1	530	1.3	6.8
CK-414	5	405.3	0.7	0.3	13.2	115	22.8	0.8	11	0.375	14	14.2	646	0.7	8.3
CK-415	9	402.8	0.7	0.3	13	127	22.7	0.8	10	0.8	13	14.2	670	0.9	8.3
CK-416	8	391.9	0.8	0.9	15.4	122	24.1	1.9	12	0.375	12	15.8	626	0.7	8
CK-417	10	408.1	0.7	0.3	14.9	159	25.3	0.8	11	0.375	13	13.4	738	0.7	8.7
CK-418	8	380.2	0.7	0.3	14.3	165	23.5	0.8	11	0.375	14	12.3	691	1	8.1
CK-419	11	399.7	0.7	0.3	12.8	117	23.4	0.8	12	0.5	12	14.9	642	0.7	8.2
CK-420	9	412	0.7	0.3	13	119	24.2	0.9	11	0.375	14	13.5	631	0.9	7.9
CK-421	8	428.6	0.7	0.3	13.4	135	24.4	0.9	12	0.7	13	14.3	695	0.6	8.7
CK-422	9	399.5	0.8	0.3	13	126	24.7	0.8	11	0.375	14	14.9	655	0.9	9.2
CK-423	7	422	0.8	0.3	11.1	108	23	0.8	11	0.375	11	13.7	577	0.6	7.7
CK-424	6	424.4	0.8	0.3	14.6	127	24.2	0.9	12	1	15	14.9	681	1	9.2
CK-425	8	419.4	0.8	0.3	13.1	132	27.2	0.9	11	0.375	13	15.4	684	0.9	9.5
CK-426	8	414.2	0.8	0.3	14.2	126	27.6	0.9	12	0.375	16	14.5	680	0.9	8.7
CK-427	5	415	0.8	0.3	14.5	121	28	0.9	12	1.1	14	14.8	684	0.9	9.7
CK-428	9	409.8	0.8	0.3	14.2	117	25.6	0.9	11	0.6	15	14.6	688	0.7	9.1
CK-429	11	433.8	0.8	0.3	14	138	30	0.9	11	0.5	15	16.1	725	1.1	10.2
CK-430	8	421.8	0.8	0.3	14.6	119	27.7	0.9	12	0.5	18	14.4	683	0.8	9.2
CK-431	7	428.1	0.8	0.3	14.2	130	27	0.9	14	1.4	15	14.2	714	1	8.7
CK-432	6	420	0.8	0.3	13.6	127	26.4	0.9	13	0.7	14	14.4	699	0.8	9
CK-433	11	420.5	0.7	0.3	13.7	119	27.2	0.9	13	0.375	14	13.3	677	1	8.1
CK-434	7	244	0.7	0.3	10	94	21.4	0.7	12	0.8	16	15.7	436	0.9	6
CK-435	8	446.9	0.8	0.3	14.9	120	24.8	0.8	11.8	0.5	12	13	671	0.8	7.5
CK-436	10	459.4	0.8	0.3	14.3	115	25.3	0.8	11	0.375	13	13.7	695	0.9	7.2
CK-437	9	445.5	0.8	0.3	15.7	124	27.5	0.9	12	0.375	16	14.6	748	0.9	7.5
CK-438	12	464	0.8	0.3	17.5	135	29.7	0.9	14	0.8	17	14.3	821	0.8	8.9
CK-439	8	466.5	0.8	0.3	16.3	132	29.3	0.9	12.1	0.375	17	14.7	804	1	8.9
CK-440	10	453.2	0.8	0.3	13.9	130	25.6	0.9	11	0.375	14	13.8	765	0.8	8
CK-441	11	465	0.8	0.3	15	108	25.8	0.9	11	0.5	13	13.7	420	1	7.2
CK-442	7	448.9	0.8	0.3	15.3	120	25.4	0.9	12	0.8	15	13.9	722	0.9	7.4
CK-443	11	447.4	0.8	0.3	14.7	126	25.1	0.8	11	0.375	13	13.5	740	1	7.8
CK-445	9	446.9	0.8	0.3	16.8	135	27.6	0.9	13	0.375	16	13.2	821	0.8	8.3
CK-446	8	392.1	0.7	0.2	19	144	32.2	1.1	23	0.375	20	14.6	693	1.2	9.3
CK-447	7	262	0.7	0.3	10.2	124	22.3	0.8	11	0.375	14	16.7	526	0.9	8.8
CK-448	8	275	0.7	0.3	10.3	125	20.8	0.7	11	0.8	14	16.2	475	1	7.7
CK-449	9	250	0.7	0.3	11.6	137	21.7	0.8	12	0.6	17	16.7	550	0.8	9
CK-450	7	252	0.7	0.3	11.6	133	22.1	0.8	12	0.7	17	16.8	540	1	9.2
CK-451	6	266	0.7	0.3	11.4	136	24.2	0.8	12	0.375	17	18	549	1.1	10.3
CK-452	7	266	0.7	0.3	10.3	134	22.8	0.7	11	0.375	14	17.7	482	0.8	8.6
CK-453	7	261	0.7	0.3	10.5	116	21.1	0.7	12	0.7	14	16.1	495	0.7	8.1
CK-454	8	267	0.7	0.3	11.5	121	23.1	0.8	13	0.375	17	17.2	514	1	8.3
CK-455	7	262	0.7	0.3	10.4	110	20	0.7	11	0.375	13	16	480	0.7	7.4
CK-456	10	260	0.7	0.3	10.9	124	20.8	0.7	12	0.375	14.3	17	488	0.9	7.7
CK-457	7	255	0.7	0.3	10.5	109	20.5	0.8	12	0.8	14	16.6	476	0.8	7.5
CK-459	9	276	0.7	0.3	11.2	119	20.1	0.8	13	0.375	17	15.9	495	1.1	7
CK-460	8	265	0.7	0.3	11.2	109	19.1	0.7	12	0.375	12	15.6	468	1	7.8
CK-461	8	267	0.7	0.3	10.1	124	21	0.8	13	0.5	15	15.8	494	1	7.8
CK-462	11	268	0.7	0.3	11.8	128	22.5	0.8	15	0.375	16	15.4	544	0.8	8.3
CK-463	7	283	0.7	0.3	10.7	125	20.9	0.8	14	0.375	15	15.4	512	1	7.7
CK-464	8	258	0.7	0.3	11.1	109	21.4	0.8	14	0.375	15	15.6	498	0.9	7.3
CK-465	8	281	0.7	0.3	11.4	141	22.6	0.8	14	0.5	15	15.3	546	0.8	7.6
CK-466	9	262	0.7	0.3	11.5	144	25.7	0.8	15	0.375	13	15.3	488	1.8	7.6
CK-467	11	268	0.7	0.3	10.9	137	24.7	0.8	14	0.5	14	14.7	499	1.6	7.3

جدول آنالیز نمونه‌های ژئوشیمیایی برگه ۱:۱۰۰۰۰۰ چهل کوره

CK-468	11	268	0.7	0.3	10.9	137	24.7	0.8	14	0.5	14	14.7	499	1.6	7.3
CK-469	14	269	0.7	0.3	11.5	141	26	0.8	14	0.375	14	16.5	525	1.3	7.7
CK-470	12	279	0.7	0.4	13.6	159	31	0.8	16	0.375	14	16.3	572	2	8
CK-471	9	272	0.7	0.3	11.7	125	27.3	0.8	13	0.375	16	16.4	526	1.4	5.9
CK-472	14	275	0.7	0.3	15	130	30	0.8	16	0.375	16	16.7	563	1.8	6.2
CK-473	8	288	0.7	0.3	12.1	131	25.2	0.8	18	0.375	15	15.3	551	1.7	6
CK-474	9	296	0.7	0.3	11.4	140	27.4	0.8	16	0.375	13	15.5	542	1.5	6
CK-475	9	278	0.7	0.3	13.3	133	30.8	0.8	17	0.5	16	15.7	540	1.4	6
CK-476	10	292	0.7	0.3	11.2	136	24	0.8	14	0.375	13	16	548	1.3	6.2
CK-477	11	285	0.7	0.3	11	139	25.2	0.8	14	0.8	14	15.8	558	1.6	6.2
CK-478	5	294	0.7	0.3	11	143	22.9	0.8	14.1	0.6	13	14.9	523	1.4	6.2
CK-479	5	271	0.7	0.3	11.6	150	21.2	0.8	14	0.375	13	14.7	448	1.5	5.1
CK-480	7	217	0.6	0.3	21.2	435	21.6	0.7	13	0.375	11	13.4	539	1.3	4.6
CK-481	10	273	0.7	0.3	12.2	213	24	0.8	13	0.9	13	14.4	536	1.5	6
CK-482	7	261	0.6	0.3	12.3	150	21.6	0.7	13	0.375	13	14.3	455	1.4	5.2
CK-483	8	268	0.6	0.3	12.6	176	23.5	0.8	15	0.375	14	14.4	545	1.7	6.5
CK-484	8	263	0.6	0.3	9.5	128	20.4	0.7	11	0.5	10	15	440	1	5.4
CK-485	7	254	0.7	0.3	10.9	114	22.2	0.7	14	1.1	13	15.8	471	1.2	5.8
CK-486	9	268	0.6	0.3	11	131	22.2	0.7	13	0.375	14	15.5	511	1.3	6.2
CK-487	8	244	0.7	0.3	9.5	116	20.5	0.7	11	0.375	13	14.7	411	1.2	5
CK-488	10	244	0.6	0.3	11.9	233	24.8	0.7	12	0.375	12	15.2	489	1.2	5.7
CK-489	6	263	0.6	0.3	11	163	23.9	0.7	12	0.375	14	15.1	474	1.4	5.5
CK-490	8	257	0.7	0.3	11.3	169	22.2	0.7	12	0.375	13	15.2	470	1.6	5.8
CK-491	9	263	0.7	0.3	12.5	289	25.5	0.7	13	0.8	13	14.8	485	2.7	5.7
CK-492	9	257	0.7	0.3	11.7	174	23.8	0.7	13	0.375	12	15.4	501	1	5.6
CK-493	9	247	0.7	0.3	12	161	21.7	0.8	5	0.375	16	14.8	516	1.4	6.3
CK-494	7	247	0.6	0.3	10.9	169	24.1	0.7	12	0.375	12	15.3	490	1.2	5.8
CK-495	7	378	0.7	0.3	14.9	214	30.6	0.9	14	0.375	14	17.6	692	1.5	8.1
CK-496	7	392	0.7	0.3	16.1	243	31.1	0.9	15	0.375	19	21.6	764	1.1	8.1
CK-497	9	394	0.8	0.3	16.9	220	31.7	0.9	15	0.375	15	22	678	1.8	9.2
CK-498	7	407	0.7	0.2	12.1	140	28.5	0.8	12	0.375	16	18.5	643	1.5	9
CK-499	10	433	0.7	0.2	12.7	110	27.7	0.7	15	0.375	11	19.5	649	1.6	6.9
CK-500	9	401	0.8	0.2	15	121	31.3	0.9	16	0.375	13	20.1	725	1.5	7.3
CK-501	9	408	0.9	0.2	15.8	120	32.6	1	17	0.375	18	22.3	742	1.4	7.5
CK-502	11	400	0.8	0.2	13	118	30.5	0.8	14	0.6	12	19.9	701	1.6	7.7
CK-503	10	378	0.8	0.2	15.9	122	32.9	0.9	15	0.375	14	17.2	717	1.9	25.6
CK-504	11	424	0.8	0.3	15.6	126	33.9	1	16	0.375	18	21.6	743	1.2	7.5
CK-505	10	421	0.8	0.3	14.5	128	31.4	0.9	16	0.375	14	23.4	727	1.6	8.2
CK-506	10	413	0.9	0.2	15.2	130	33.4	1	15	0.375	17	23.5	751	1.2	8
CK-507	13	427	0.8	0.3	14.4	125	29.3	1	15	0.375	17	22.9	753	1.3	7.4
CK-508	10	441	0.9	0.3	15.2	130	33.3	1	17	0.375	17	22.1	738	1.5	7.9
CK-509	9	425	0.8	0.2	15.9	126	35.7	1.1	16	0.375	17	23.4	771	1.5	7.8
CK-510	10	455	0.9	0.3	15.8	145	35.8	1	17	0.375	18	21.1	776	1.8	13.7
CK-511	12	463	0.9	0.2	14.2	149	36.6	1.1	19	0.375	20	21.2	813	1.3	7.3
CK-512	12	461	0.9	0.2	12.3	144	34	1.1	18	0.375	17	21.6	810	1.5	7.5
CK-513	12	492	0.8	0.2	11.1	127	29.9	1	17	0.375	18	21.4	752	1.7	7.1
CK-514	10	451	0.8	0.2	10.8	138	34.4	1	16	0.375	18	21.7	791	1.5	7.1
CK-515	10	397	1	0.2	14.7	144	42.8	0.9	21	0.375	15	25.3	748	1.6	9
CK-516	12	430	0.9	0.2	13.8	137	36.3	1	21.2	0.375	19	22.7	756	1.6	8.1
CK-517	9	431	0.8	0.2	12.4	141	32.4	1	18	0.375	18	21.5	738	1	7.4
CK-518	14	454	1	0.2	13.7	130	35.2	1.1	21	0.375	22	22.8	801	1.5	7.3
CK-519	13	447	0.9	0.2	11.9	117	32.5	1	18	0.375	17	23	734	1.4	7.4
CK-520	10	438	0.9	0.2	12.6	127.4	32.2	1.1	19	0.375	21	21.2	743	1.7	6.9
CK-521	13	438	0.8	0.2	12.1	119	31.6	1	18	0.375	15	20	759	1.2	6.9
CK-522	11	428	0.9	0.2	11.9	125	31.3	1	19	0.375	21	20.8	716	1.5	6.8
CK-523	11	420	0.7	0.2	18.9	334	29.9	1	21	0.375	19	19.4	792	1.4	7
CK-524	11	427	0.8	0.2	14.6	209	29.8	1	18	0.6	18	20.6	720	1.4	7.2
CK-525	12	458	0.9	0.2	12.5	121	32.7	1	19	0.375	19	22.8	754	1.3	7.5

جداول آنالیز نمونه‌های ژئوشیمیایی برگه ۱:۱۰۰۰۰۰۰ چهل کوره

CK-526	9	479	0.9	0.2	13.1	113	30.7	1.1	20	0.8	21	21.7	745	1.4	7.6
CK-527	13	434	0.8	0.15	11.2	121	31.6	0.9	15	0.375	17	21.3	732	1.2	6.6
CK-528	10	410	0.8	0.15	10.8	111	27.5	0.9	15	0.375	19	20.4	695	1.6	7.1
CK-529	11	417	0.8	0.15	12	119	27	1	17	0.375	18	20.2	711	1.5	7.4
CK-530	9	373	0.7	0.2	10.5	103	24.2	0.9	15	0.375	13	15	663	1.4	6.4
CK-531	4	414	0.8	0.15	10.8	116	26.6	0.9	18	0.375	17	19.6	685	1.4	6.2
CK-532	11	442	0.8	0.15	10.2	116	28.2	1	15	1.3	19	19	740	1.3	6.3
CK-533	9	454	0.8	0.2	13.3	157	30.2	0.9	16	0.375	19	18.1	778	1.8	7.2
CK-534	12	456	0.9	0.2	11.9	131	31.3	0.9	18	0.375	15	20.8	769	1.5	8
CK-535	9	445	0.9	0.2	10.9	108	28.7	1	16	0.375	17	20.1	689	1.4	7.1
CK-536	10	430	0.8	0.3	12.3	112	32.1	1	17	0.375	16	22.8	733	1.4	7.5
CK-537	12	451	0.9	0.2	11	105	24.8	1.1	23	0.375	20	18	661	1.6	6.3
CK-538	8	486	0.8	0.2	12	116	30.1	0.9	17	0.5	15	21	749	1.3	6.3
CK-539	9	447	0.8	0.2	13.2	123	30.3	0.9	17	0.375	15	22.1	733	1.5	7.1
CK-540	8	439	0.9	0.2	13.7	131	31.9	0.9	17	1.1	18	23.4	716	1.3	7.5
CK-541	5	436	0.9	0.2	11.3	99	28.7	0.9	16	0.375	15	23.9	709	1.2	7.4
CK-542	8	462	0.9	0.2	14.1	127	32.9	0.9	18	0.5	17	22.5	744	1.3	6.9
CK-543	8	410	0.7	0.15	12.7	108	29.1	0.8	15	0.5	12	18.9	665	1.3	6.7
CK-544	9	406	0.7	0.15	10.9	107	26.2	0.8	15	0.375	11	18.2	659	1.4	6.2
CK-545	7	288.4	0.7	0.15	12.7	114	28.8	0.7	11	0.6	15	22.7	536	1.1	8.6
CK-546	7	321.1	0.7	0.15	12.3	111	25.7	0.8	13	0.375	16	21.9	523	1.3	7.7
CK-547	8	331.4	0.7	0.2	13	129	28.2	0.8	14	0.8	17	21.2	583	1.3	8.6
CK-548	8	332.6	0.6	0.2	13.9	152	29	0.8	14	0.8	16	21.3	621	1.2	9.1
CK-549	11	341.1	0.7	0.2	13.6	121	28.4	0.8	15	0.9	19	21.4	577	1.3	8.1
CK-550	10	367.7	0.7	0.2	14.7	174	27	0.8	14	0.375	15	22.2	583	1.4	8
CK-551	9	389.5	0.7	0.2	25.5	157	29.4	0.9	16	0.375	17	21.4	656	1.3	9.1
CK-552	11	376.9	0.7	0.2	16.1	182	31.7	0.9	17	0.375	17	21.5	676	1.3	9.6
CK-553	9	343.8	0.7	0.2	15.1	154	29.7	0.9	15	0.375	16	20	631	1.1	8.8

جدول آنالیز نمونه‌های ژئوشیمیایی برگه ۱:۱۰۰۰۰۰ چهل کوره

Sample No	Nd	Ni	P	S	Sc	Sn	Sr	V	Y	Yb	Zn	Au	W	Ag
UNITS	ppm	ppm	ppm	ppm	ppm	ppm	ppm	ppm	ppm	ppm	ppm	ppm	ppm	ppm
CR-001	13	44	406	279	9	2	322	133	9	1	54.2	0.0023	0.99	0.1
CR-002	13	45	385	272	8	2	275	130	9	1	51.6	0.002	0.9	0.11
CR-003	13	46	427	312	8	3	275	127	10	1	53.4	0.0014	0.81	0.1
CR-004	14	49	449	306	8	3	281	155	9	1	59.1	0.0015	0.77	0.11
CR-005	12	47	412	312	7	3	246	110	7	1	50.4	0.0015	0.73	0.11
CR-006	14	49	405	257	9	2	279	145	9	1	57.5	0.0019	0.78	0.1
CR-007	13	49	404	310	8	2	287	141	9	1	57.3	0.0013	0.81	0.1
CR-008	13	50	419	286	8	3	285	115	10	1	51.1	0.0027	0.87	0.1
CR-009	13	42	413	267	8	2	279	112	9	1	49.3	0.0015	0.99	0.11
CR-010	12	47	420	319	8	3	292	93	10	1	49	0.0014	0.93	0.095
CR-011	11	46	393	298	7	3	280	79	9	1	41	0.0011	0.9	0.11
CR-012	12	46	376	301	8	3	286	109	9	1	46.5	0.0014	0.92	0.115
CR-013	13	53	379	356	8	2	281	129	9	1	52	0.0013	0.94	0.12
CR-014	13	51	514	293	7	3	287	105	9	1	46.7	0.0012	0.85	0.12
CR-015	14	56	415	323	9	2	294	140	10	1	54.7	0.0012	0.73	0.12
CR-016	13	51	404	299	8	2	289	135	10	1	58	0.0029	0.71	0.11
CR-017	12	46	438	263	8	3	294	107	8	1	50.6	0.001	0.73	0.11
CR-018	13	46	435	294	7	5	280	102	9	1	58	0.0011	0.9	0.11
CR-019	14	42	429	245	8	4	287	153	9	1	63.1	0.0011	1	0.11
CR-020	14	49	429	298	8	3	292	131	12	1	57	0.0011	0.8	0.11
CR-021	10	40	405	257	6	2	248	140	6	1	59.2	0.0014	0.64	0.1
CR-022	12	52	543	301	7	2	272	133	10	1	58.5	0.0011	0.75	0.09
CR-023	12	44	449	270	7	3	284	134	7	1	59.4	0.001	0.94	0.085
CR-024	12	51	457	318	7	2	285	122	10	1	57.1	0.001	1.1	0.095
CR-025	12	44	440	316	8	2	281	155	8	1	64.5	0.001	1.25	0.09
CR-026	13	47	438	305	8	2	291	117	10	1	59.7	0.001	1.27	0.09
CR-027	14	47	460	314	8	3	278	154	8	1	65.3	0.001	1.34	0.1
CR-028	12	44	408	271	6	3	272	101	7	1	49.7	0.001	1.16	0.11
CR-029	13	47	462	340	8	3	287	135	10	1	59.6	0.001	1.07	0.11
CR-030	12	47	471	308	7	2	283	118	9	1	55.9	0.0011	1.36	0.12
CR-031	14	47	421	348	9	8	301	142	9	1	63.2	0.001	1.86	0.12
CR-032	11	39	376	244	6	2	290	106	6	1	51.6	0.001	1.52	0.1
CR-033	12	48	390	272	8	3	308	129	8	1	59	0.0011	1.16	0.12
CR-034	12	39	366	242	8	3	294	105	7	1	51.6	0.0007	1.18	0.12
CR-035	10	43	348	231	6	2	290	72	7	1	43	0.0007	1.25	0.1
CR-036	10	46	381	326	6	2	285	98	6	1	50.1	0.0008	1.05	0.11
CR-037	11	46	368	268	6	2	281	114	8	1	54.3	0.0012	0.9	0.095
CR-038	13	48	419	333	8	3	310	148	8	1	64.6	0.0013	1.07	0.12
CR-039	12	47	381	299	7	2	289	119	8	1	56.2	0.0021	1.16	0.12
CR-040	14	50	430	363	9	2	313	141	9	1	64.2	0.002	1	0.11
CR-041	13	56	514	344	9	3	290	134	13	2	76.7	0.001	1.03	0.12
CR-042	13	59	445	342	8	2	292	122	10	1	59.5	0.001	0.97	0.095
CR-043	13	60	406	303	8	2	282	125	11	2	60.2	0.0015	0.9	0.115
CR-044	13	64	448	434	8	2	289	113	10	1	59.8	0.0011	1.7	0.09
CR-045	13	59	434	335	9	2	294	132	10	2	62.1	0.0012	2.3	0.095
CR-046	12	61	417	328	8	2	291	114	9	1	59.8	0.0018	1.5	0.09
CR-047	13	77	439	355	8	2	281	109	10	2	57.8	0.001	1.07	0.085
CR-048	14	59	496	318	9	2	278	151	9	1	67.9	0.001	0.93	0.085
CR-049	13	52	472	316	9	5	279	154	9	2	72.5	0.0015	0.9	0.085
CR-050	13	64.5	456	350	8	2	287	116	9	1	57.5	0.001	0.95	0.09
CR-051	13	65	540	294	8	2	284	126	9	1	67.7	0.0011	1.03	0.105
CR-052	13	81	535	400	9	2	307	123	13	2	67.9	0.001	0.94	0.095
CR-053	13	51	488	277	9	2	301	114	8	1	61.2	0.0013	0.88	0.1
CR-054	13	64	528	486	9	2	294	142	12	2	68.5	0.0011	0.76	0.095
CR-055	13	55	463	499	9	3	299	121	7	1	77.1	0.0015	0.64	0.085
CR-056	13	62	389	457	10	2	305	129	13	2	65.3	0.0011	0.78	0.085

جداول آنالیز نمونه‌های ژئوشیمیایی برگه ۱:۱۰۰۰۰۰ چهل کوره

CR-057	13	46	410	320	9	2	300	103	8	1	52.6	0.0017	1.16	0.1
CR-058	13	58	384	390	10	2	302	131	12	2	60.4	0.0012	1.25	0.105
CR-059	13	58	375	364	10	2	282	136	9	2	59.5	0.0011	1.51	0.09
CR-060	13	67	365	363	9	3	282	136	12	2	60.9	0.0011	1.48	0.095
CR-061	13	51	395	370	9	2	290	127	11	2	55.6	0.0011	1.42	0.095
CR-062	12	59	348	333	8	2	296	99	10	1	49.9	0.001	0.6	0.095
CR-063	12	67	334	345	9	2	291	107	9	1	52.6	0.0016	0.375	0.1
CR-064	13	50	353	301	9	5	288	105	12	2	59.4	0.0012	0.75	0.1
CR-065	12	63	380	393	9	3	293	141	11	2	78.4	0.0007	0.81	0.105
CR-066	13	60	382	304	10	2	296	135	10	2	59.7	0.0013	0.88	0.095
CR-067	13	51	353	329	9	2	288	118	9	2	54.9	0.001	0.99	0.1
CR-068	13	53	379	335	9	2	292	125	12	2	56.3	0.0012	0.91	0.1
CR-069	14	49	386	356	10	2	281	160	11	2	65.4	0.0032	0.99	0.095
CR-070	13	59	383	333	9	2	293	114	9	1	63.1	0.0015	0.78	0.095
CR-071	12	56	345	304	8	2	294	76	9	1	57.8	0.001	0.64	0.095
CR-072	12	55	366	343	8	2	285	98	12	2	49.8	0.001	0.87	0.11
CR-073	12	56	398	389	9	3	302	110	12	2	55	0.0011	0.99	0.095
CR-074	14	52	403	349	10	4	284	134	12	2	58.8	0.0013	0.83	0.1
CR-075	13	60	406	444	11	3	289	161	16	2	65.2	0.0011	0.73	0.12
CR-076	13	55	396	395	9	2	300	115	10	2	53.3	0.0008	1.2	0.09
CR-077	13	57	427	577	9	3	285	120	11	2	58.3	0.0007	1.6	0.095
CR-078	13	53	384	325	9	3	288	135	11	2	58.1	0.001	2.01	0.11
CR-079	13	55	414	402	9	3	300	103	13	2	53.4	0.0024	2.38	0.095
CR-080	13	56	368	318	9	2	304	111	11	2	54.4	0.0024	1.43	0.08
CR-081	13	50	502	341	8	2	267	102	9	1	46.4	0.0014	0.99	0.1
CR-082	12	48	416	323	7	2	256	94	8	1	43	0.0017	0.78	0.14
CR-083	12	48	399	273	6	2	240	120	6	1	45.5	0.0011	0.64	0.095
CR-084	12	51	561	334	8	2	273	107	11	2	45	0.001	0.79	0.095
CR-085	12	50	426	360	7	2	261	118	8	1	47.1	0.0022	0.86	0.095
CR-086	12	52	426	288	7	2	266	87	11	1	44.9	0.0011	0.95	0.095
CR-087	13	48	446	306	8	3	264	106	10	2	47.1	0.0012	0.99	0.095
CR-088	12	54	411	333	7	2	260	103	11	2	44.6	0.0012	0.93	0.095
CR-089	13	57	474	421	9	2	265	103	13	2	48.9	0.0013	0.9	0.11
CR-090	14	55	444	373	9	3	258	153	14	2	58.5	0.0013	0.7	0.1
CR-091	14	62	467	384	9	2	261	153	10	2	79.1	0.0017	0.375	0.11
CR-092	13	75	489	308	9	3	256	163	12	2	58.3	0.0019	0.8	0.11
CR-093	13	60	520	414	9	2	267	163	9	2	60.8	0.001	1.42	0.11
CR-094	13	62	469	337	9	2	260	148	11	2	60	0.001	0.7	0.095
CR-095	13	60	490	341	8	2	253	148	10	2	56.2	0.001	0.375	0.095
CR-096	13	57	501	338	9	2	260	160	10	2	60.2	0.0018	0.6	0.105
CR-097	12	68	455	973	7	3	226	131	8	1	55.3	0.0014	0.73	0.11
CR-099	13	94	469	460	9	3	247	175	9	2	96.5	0.0019	0.73	0.095
CR-100	14	82	489	473	10	2	254	180	11	2	88.6	0.0014	0.63	0.11
CR-101	13	108	524	405	9	3	251	214	12	2	98.8	0.0016	0.375	0.095
CR-102	14	84	471	465	10	2	255	182	11	2	93.1	0.0016	0.5	0.095
CR-103	13	87	521	418	10	3	262	185	13	2	92	0.0011	0.375	0.11
CR-104	13	92	492	504	9	3	269	136	13	2	80.5	0.0008	0.52	0.11
CR-105	13	84	507	446	9	2	244	162	14	2	85.7	0.0011	0.375	0.11
CR-106	13	83	510	454	10	3	256	172	12	2	88.6	0.0011	0.78	0.12
CR-107	12	104	537	408	9	6	280	130	12	2	78.6	0.0015	1.16	0.095
CR-108	12	106	549	445	9	2	281	118	9	1	74.9	0.0013	1.05	0.11
CR-109	13	97	566	407	10	3	281	199	15	2	97.3	0.0018	0.99	0.12
CR-110	14	94	620	554	11	4	285	186	12	2	97.7	0.0012	1.2	0.11
CR-111	13	86	606	409	10	3	262	160	13	2	90	0.0014	1.34	0.115
CR-112	13	84	571	451	10	19	250	186	15	2	92.6	0.0016	0.97	0.12
CR-113	13	88	584	407	10	3	242	209	14	2	99.8	0.001	0.99	0.095
CR-114	14	92	606	483	10	3	252	202	16	2	101.9	0.0012	0.83	0.11
CR-115	12	88	548	390	7	2	210	173	10	2	89.5	0.0012	0.75	0.11

جداول آنالیز نمونه‌های ژئوشیمیایی برگه ۱:۱۰۰۰۰۰ چهل کوره

CR-116	12	82	555	388	9	2	232	168	11	2	88.7	0.0014	0.83	0.095
CR-117	13	97	625	535	10	6	267	140	13	2	80.6	0.0013	0.99	0.095
CR-118	12	138	542	429	9	3	238	126	13	2	79.3	0.0012	0.91	0.125
CR-119	13	104	537	474	10	2	239	161	15	2	87.9	0.001	0.9	0.11
CR-120	12	107	588	433	10	2	251	175	11	2	92.1	0.0015	0.73	0.12
CR-121	14	80	470	344	8	2	288	109	10	1	57	0.001	0.375	0.1
CR-122	14	79	405	344	8	3	271	114	9	1	57.4	0.0011	0.94	0.095
CR-123	15	86	466	384	9	4	286	164	12	2	75.6	0.0012	1.25	0.1
CR-124	16	94	417	269	8	4	263	150	9	2	65.3	0.0013	0.8	0.105
CR-125	16	117	485	368	10	5	281	177	11	2	79	0.0013	0.55	0.1
CR-126	14	93	460	290	10	4	274	171	10	2	72.6	0.0013	0.83	0.09
CR-127	15	102	485	351	9	5	290	154	12	2	70.2	0.001	0.94	0.095
CR-128	14	80	472	312	9	2	264	143	9	2	64.6	0.0012	0.92	0.1
CR-129	15	95	515	412	9	4	279	138	12	2	66.3	0.001	0.99	0.11
CR-130	15	92	481	369	9	4	271	143	9	2	65.7	0.0014	1.11	0.09
CR-131	17	97	486	544	10	6	287	164	10	2	73.8	0.0016	1.25	0.085
CR-132	13	60	448	340	8	3	287	120	8	1	60.3	0.0011	1.12	0.08
CR-133	14	65	457	514	8	3	273	118	12	2	60.3	0.0013	1.16	0.1
CR-134	13	54	469	369	8	3	285	111	8	1	58.5	0.0012	1.1	0.1
CR-135	15	65	589	565	9	7	277	114	11	1	61.1	0.0013	0.99	0.09
CR-136	15	63	535	450	9	5	287	102	8	1	59.5	0.0011	0.93	0.095
CG-137	14	171	418	389	8	2	218	141	10	1	57.2	0.0014	0.81	0.09
CG-138	13	96	421	392	8	1	216	131	10	1	56.1	0.0016	0.74	0.1
CG-139	15	182	430	391	8	2	216	126	11	1	55.7	0.001	0.73	0.1
CG-140	16	101	435	354	8	2	219	133	9	1	59.2	0.0012	1.25	0.11
CG-141	13	141	417	412	8	2	229	129	10	1	55.6	0.0011	1.85	0.095
CG-142	13	109	418	355	8	1	225	104	8	1	49.4	0.0011	1.3	0.09
CG-143	13	176	388	335	7	2	198	112	9	1	53.1	0.0011	0.375	0.085
CG-144	13	144	376	337	8	2	211	122	8	1	54.7	0.001	0.53	0.09
CG-145	14	152	452	316	8	2	199	106	8	1	51.5	0.0011	0.375	0.095
CG-146	12	88	423	364	7	1	213	98	8	1	48.4	0.0011	1.28	0.095
CG-147	15	105	421	750	12	4	276	121	14	2	64.3	0.0011	1.78	0.09
CG-148	13	64	388	354	8	3	293	86	9	1	53.1	0.0012	1.62	0.095
CG-149	14	83	360	338	9	2	300	101	11	2	59.6	0.0009	1.13	0.095
CG-150	11	115	365	355	6	1	222	80	8	1	43.1	0.0009	1.11	0.095
CG-151	13	72	396	360	9	3	305	82	11	2	66.6	0.0011	1.06	0.1
CG-152	15	88	368	367	10	3	296	95	13	2	55.5	0.0011	1.23	0.09
CG-153	15	100	398	400	10	3	290	102	10	1	63.1	0.001	1.42	0.09
CG-154	15	86	401	391	10	4	289	107	13	2	85.9	0.0009	1.87	0.095
CG-155	17	88	421	400	12	4	307	120	12	2	71.2	0.0014	2.13	0.105
CG-156	15	84	450	386	10	3	298	108	12	2	64.1	0.001	1.97	0.095
CG-157	15	69	472	436	11	4	307	115	12	2	77.5	0.001	0.99	0.1
CG-158	14	75	411	394	10	4	293	98	13	2	86.3	0.0013	1.1	0.1
CG-159	12	70	373	380	9	3	298	68	10	1	83.8	0.001	1.34	0.095
CG-160	17	102	422	384	8	2	216	141	8	1	62.1	0.0011	0.98	0.1
CG-161	14	74	433	369	10	4	293	90	13	2	87.7	0.0012	0.85	0.1
CG-162	16	70	470	383	11	3	298	131	11	2	66.8	0.0013	1.22	0.1
CG-163	15	79	442	538	12	3	316	172	13	2	109.2	0.001	1.35	0.12
CG-164	14	64	470	388	11	2	320	102	12	2	77.6	0.0084	0.81	0.1
CG-165	14	65	442	464	11	3	315	98	12	2	63.4	0.0012	0.375	0.095
CG-166	13	95	451	402	10	4	132	161	10	1	65.7	0.0014	0.53	0.1
CG-167	14	74	427	378	11	2	311	101	11	2	59.5	0.0019	0.56	0.1
CG-168	15	65	444	484	11	5	315	95	12	1	82.2	0.0016	0.65	0.095
CG-169	14	68	469	456	11	3	322	100	11	2	58.2	0.0011	0.7	0.1
CG-170	14	71	460	395	11	3	312	97	11	2	52.4	0.01	0.63	0.11
CG-171	14	68	465	381	11	3	317	94	12	2	52	0.0015	0.375	0.1
CG-172	14	73	455	539	10	3	327	101	9	1	77.7	0.0011	0.85	0.1
CG-173	14	73	478	480	11	2	302	96	12	2	53.9	0.01	0.99	0.095

جداول آنالیز نمونه‌های ژئوشیمیایی برگه ۱:۱۰۰۰۰۰ چهل کوره

CG-174	14	60	467	339	11	3	298	92	10	1	56.9	0.0013	0.87	0.1
CG-175	13	59	466	555	10	4	324	85	11	1	50.2	0.0011	0.85	0.1
CG-176	14	76	482	509	11	2	333	103	10	1	54.3	0.000933016	0.86	0.105
CG-177	13	84	425	425	11	3	324	94	10	1	54.2	0.000876372	0.85	0.105
CG-178	14	70	450	538	10	3	310	101	12	2	59.6	0.000993321	0.78	0.1
CG-179	14	76	447	420	10	3	304	99	11	1	75.6	0.001198646	0.7	0.1
CG-180	14	81	396	388	11	3	302	120	13	2	56.8	0.00127612	0.82	0.12
CG-181	13	72	399	451	10	3	295	100	10	1	62	0.000993321	0.85	0.095
CG-182	14	71	384	359	11	3	301	99	13	1	56.5	0.000823167	0.83	0.1
CG-183	14	68	446	428	11	2	310	99	12	1	56.3	0.00102492	0.85	0.11
CG-184	16	83	432	472	10	3	305	103	12	2	55.6	0.00127612	0.81	0.105
CG-185	13	74	405	425	10	3	316	91	10	1	51.7	0.001125876	0.78	0.095
CG-186	14	84	431	579	11	3	319	95	12	2	69.6	0.000933016	0.85	0.095
CG-187	15	71	484	512	11	3	324	111	12	1	55.9	0.001401821	0.85	0.1
CG-188	16	68	466	528	11	3	308	93	13	2	55.8	0.001236777	0.84	0.095
CG-189	14	66	441	465	11	2	317	99	9	1	57	0.000823167	0.85	0.11
CG-190	15	81	487	496	11	2	319	111	11	1	53.7	0.001057524	0.86	0.1
CG-191	14	71	423	557	11	3	330	105	11	1	53.6	0.001316715	0.85	0.095
CG-192	12	95	429	378	8	2	225	98	8	1	53.7	0.000993321	0.75	0.1
CG-193	12	89	419	332	7	1	220	105	7	1	48.7	0.000749354	0.7	0.1
CG-194	13	122	444	453	8	1	230	123	9	1	55.2	0.000993321	0.71	0.1
CG-195	16	102	463	402	8	5	224	122	10	1	68.2	0.000876372	0.7	0.1
CG-196	18	76	460	450	7	4	222	98	9	1	74.1	0.000797788	0.74	0.1
CG-197	15	88	461	580	8	5	248	101	12	1	74.9	0.000876372	0.7	0.1
CG-198	14	65	452	375	8	5	212	163	8	1	85.3	0.000993321	0.87	0.11
CG-199	15	77	457	411	7	4	219	87	10	1	69.9	0.000993321	0.99	0.115
CG-200	14	72	472	422	7	5	211	107	7	1	64.6	0.001316715	0.87	0.12
CG-201	15	76	430	335	7	3	225	103	10	1	78.2	0.000849353	0.78	0.12
CG-202	12	74	428	328	6	3	214	84	8	1	49.5	0.000876372	0.87	0.12
CG-203	14	70	459	312	7	3	215	93	10	1	93.2	0.000849353	0.99	0.11
CG-204	13	58	482	391	7	3	209	101	6	1	79.1	0.00127612	0.98	0.11
CG-205	16	64	527	421	8	3	203	137	10	1	70.3	0.001161692	1.13	0.11
CG-206	14	57	472	306	8	4	202	141	7	1	71.2	0.00058376	0.7	0.115
CG-207	12	75	474	343	6	3	198	79	6	1	61.1	0.00058376	0.375	0.1
CG-208	15	77	475	352	7	3	199	103	9	1	60.5	0.000531415	0.7	0.1
CG-209	14	75	487	400	7	3	192	116	7	1	68.9	0.000749957	0.92	0.12
CG-210	13	85	473	313	7	3	190	124	6	1	64.3	0.000773814	1	0.12
CG-211	15	84	460	336	7	4	181	140	7	1	77.2	0.000565762	1.28	0.13
CG-212	16	84	485	399	8	3	191	154	10	1	85.8	0.00099412	0.93	0.1
CG-213	15	83	495	404	7	4	194	120	10	2	73.3	0.000621491	0.7	0.115
CG-214	12	89	446	373	6	3	182	97	7	1	73	0.000641262	0.68	0.1
CG-215	14	72	516	426	7	3	191	120	9	1	66.9	0.000682709	0.64	0.1
CG-216	14	98	488	369	7	3	187	106	8	1	65.5	0.000726836	0.76	0.1
CG-217	13	63	460	454	7	4	190	111	8	1	63.9	0.000704427	0.99	0.1
CG-218	16	66	546	418	7	4	181	116	11	1	74.1	0.00079843	1.25	0.1
CG-219	16	55	583	361	8	3	177	157	10	1	76.3	0.000661661	0.95	0.105
CG-220	16	63	448	335	8	3	179	132	11	1	81.1	0.000565762	1	0.1
CG-221	17	61	439	405	8	3	171	137	11	2	65.3	0.000641262	2.08	0.1
CG-222	13	60	422	412	7	3	178	93	8	1	54.7	0.000850036	1	0.09
CG-223	15	65	491	385	8	3	267	124	11	1	58	0.000726836	1.51	0.1
CG-224	18	74	420	382	8	3	169	146	11	1	69.6	0.000749957	1.26	0.09
CG-225	14	77	399	442	7	2	173	98	8	1	53.2	0.000621491	1.04	0.095
CG-226	11	66	396	370	6	3	172	82	7	1	52.8	0.000850036	0.86	0.125
CG-227	12	81	440	481	7	3	176	91	9	1	64.8	0.000850036	0.52	0.095
CG-228	14	85	444	364	7	3	173	125	8	1	64.1	0.000661661	0.85	0.09
CG-229	15	98	413	525	7	3	173	108	10	1	60.4	0.000962696	0.99	0.095
CG-230	14	114	438	473	8	4	169	156	8	1	77.9	0.000749354	0.78	0.09
CG-231	13	103	406	423	7	3	168	109	8	1	66.7	0.000904251	0.64	0.09

جداول آنالیز نمونه‌های ژئوشیمیایی برگه ۱:۱۰۰۰۰۰ چهل کوره

CG-232	13	100	428	428	7	3	101	78	10	1	59.1	0.001236777	0.75	0.09
CG-233	12	84	402	352	7	4	168	98	7	1	58.9	0.000849353	0.93	0.1
CG-234	13	100	418	461	7	2	162	114	8	1	65.3	0.000849353	1.32	0.1
CG-235	13	138	449	436	8	3	164	122	10	1	69.1	0.001401821	2.55	0.1
CG-236	14	82	443	326	8	3	173	116	8	1	63.7	0.000749354	1.41	0.1
CG-237	12	100	461	443	8	0.6	193	111	8	1	54.3	0.00068216	1.28	0.1
CD-238	14	70	505	617	9	3	192	154	7	1	76.7	0.000661129	1.21	0.11
CD-239	13	81	492	509	8	3	190	111	8	1	66	0.000904251	1.16	0.1
CD-240	14	142	486	500	9	3	192	166	11	1	75.8	0.000640746	1.03	0.11
CD-241	13	80	452	334	8	2	187	125	7	1	79.7	0.00068216	0.99	0.11
CD-242	13	110	449	505	8	2	192	109	9	1	59.3	0.00068216	0.95	0.1
CD-243	15	57	569	408	9	1	186	164	9	1	73.9	0.00068216	0.93	0.1
CD-244	12	55	520	466	8	3	186	126	9	1	100.9	0.00127612	0.89	0.17
CD-245	12	61	450	387	8	2	227	97	10	2	62.1	0.00068216	0.93	0.11
CD-246	13	58	462	413	9	2	242	118	10	1	66.5	0.000726251	1.37	0.09
CD-247	14	78	475	441	10	3	245	136	11	2	78.2	0.00336899	1.63	0.1
CD-248	14	86	475	436	9	2	241	109	9	1	87.2	0.000823167	1.32	0.1
CD-249	14	127	493	485	9	3	251	117	12	2	74.4	0.000797788	1.04	0.1
CD-250	14	71	527	414	10	2	248	142	11	2	79.1	0.000640746	0.95	0.1
CD-251	14	95	490	462	9	3	254	123	12	2	78.6	0.000661129	0.76	0.09
CD-252	13	67	503	423	9	2	251	134	10	2	77.3	0.000514617	0.61	0.1
CD-253	13	103	480	437	9	2	257	118	13	2	72.6	0.00102492	0.375	0.09
CD-254	13	77	480	405	9	3	249	117	10	2	67.7	0.000661129	0.63	0.09
CD-255	12	87	483	424	10	3	251	126	12	2	71.3	0.000601846	0.64	0.09
CD-256	13	155	437	450	9	2	251	119	9	2	79	0.000661129	0.72	0.095
CD-257	13	178	466	459	10	3	242	145	12	2	85.3	0.000661129	1.1	0.09
CD-258	12	135	485	443	9	3	252	101	9	1	64.1	0.000565308	0.87	0.085
CD-259	13	124	474	429	10	2	243	135	9	2	74.4	0.000547879	0.58	0.09
CD-260	13	179	474	419	9	2	250	124	8	1	69.7	0.000661129	0.78	0.1
CD-261	13	164	435	452	8	3	254	104	10	2	64.6	0.000661129	0.99	0.09
CD-262	13	171	430	465	8	3	244	103	11	2	64.6	0.000773192	1.05	0.12
CD-263	13	245	454	525	10	3	256	126	11	1	72	0.000620991	1.39	0.1
CD-264	13	201	480	512	9	3	270	94	12	2	60.9	0.00068216	0.97	0.09
CD-265	12	161	455	478	9	2	267	94	10	1	58.9	0.000726251	0.82	0.09
CD-266	13	120	448	454	10	3	241	105	11	2	66.4	0.000797788	0.72	0.09
CD-267	14	74	408	502	10	3	239	94	9	1	62.2	0.000703861	0.69	0.09
CD-268	15	100	470	498	11	3	247	109	14	2	62.2	0.000565308	0.81	0.1
CD-269	14	76	445	503	10	3	240	106	10	2	64	0.000565308	1.04	0.1
CD-270	15	66	480	531	10	3	239	98	13	2	65.1	0.000620991	0.71	0.1
CD-271	13	87	458	463	10	3	238	97	10	1	55.3	0.000514617	0.375	0.09
CD-272	14	102	429	446	9	3	242	105	11	2	58.9	0.000530988	0.5	0.09
CD-273	13	199	412	422	10	3	250	119	10	1	62.9	0.000661129	0.375	0.1
CD-274	14	70	456	457	9	4	284	100	13	2	53.7	0.000601846	0.65	0.11
CD-275	12	72	416	427	9	3	260	92	9	1	53.1	0.000640746	0.99	0.1
CD-276	12	199	396	459	9	3	259	91	10	1	54.9	0.000993321	0.75	0.1
CD-277	12	271	367	444	9	3	243	93	7	1	55.1	0.000514617	0.375	0.105
CD-278	13	260	406	606	9	3	252	97	11	2	56	0.000749354	0.63	0.095
CD-279	11	344	385	465	8	2	225	76	9	1	51.7	0.000749354	0.69	0.095
CD-280	13	107	443	470	9	2	256	91	12	2	51.3	0.00068216	0.76	0.1
CD-281	11	226	409	492	8	2	239	80	7	1	53.4	0.000726251	0.87	0.095
CD-282	12	280	392	429	9	2	216	117	9	2	63.3	0.000904251	0.91	0.11
CD-283	11	129	402	433	8	2	251	81	9	1	51.8	0.000962696	0.93	0.1
CD-284	12	86	403	388	8	3	252	87	11	1	50.1	0.000703861	0.85	0.11
CD-285	11	189	422	471	9	3	237	85	8	1	52.5	0.000749354	0.64	0.1
CD-286	13	143	431	440	10	3	246	124	11	2	63	0.000749354	0.95	0.095
CD-287	12	159	408	463	9	2	240	104	8	1	62.5	0.000620991	1.04	0.085
CD-288	12	249	406	472	9	2	230	96	10	1	59.6	0.000620991	1.07	0.085
CD-289	15	86	512	429	11	2	223	116	11	1	60.8	0.000498751	1.16	0.09

جداول آنالیز نمونه‌های ژئوشیمیایی برگه ۱:۱۰۰۰۰۰ چهل کوره

CD-290	15	167	475	504	10	2	230	104	12	2	58.7	0.000620991	1	0.085
CD-291	13	183	475	457	9	3	243	94	8	1	74.9	0.000797788	0.375	0.095
CD-292	11	408	381	501	9	2	211	86	10	1	57.1	0.000661129	0.5	0.085
CD-293	13	50	543	459	10	3	244	116	10	1	57.6	0.000661129	0.58	0.11
CD-294	19	125	515	459	11	4	230	127	13	2	70.5	0.000601846	0.59	0.1
CD-295	15	47	974	373	11	3	214	130	17	2	73.7	0.001691586	0.64	0.11
CD-296	13	105	569	405	9	3	227	139	11	1	91.4	0.000726251	0.57	0.1
CD-297	12	149	541	397	8	2	223	91	10	1	59.2	0.001492426	0.375	0.1
CD-298	17	104	714	409	9	4	221	107	10	1	81	0.000413316	0.77	0.1
CD-299	14	98	584	429	9	3	220	100	12	1	70.2	0.00068216	1.2	0.1
CD-300	13	96	658	434	9	3	233	96	10	1	64.1	0.000823167	1.25	0.15
CD-301	11	349	578	429	9	4	179	88	10	1	63.2	0.000876372	1.27	0.095
CD-302	12	50	618	357	9	4	187	109	8	1	78.7	0.000565308	1.54	0.095
CD-303	12	115	563	407	8	3	236	105	9	1	72	0.00068216	1.95	0.11
CD-304	17	74	770	466	9	3	225	105	11	1	77.3	0.004607893	2.01	0.11
CD-305	15	64	640	493	8	3	244	98	12	1	72.7	0.000342516	2.25	0.11
CD-306	15	107	702	516	8	3	236	95	12	1	69.7	0.002541543	2.32	0.105
CD-307	12	58	580	413	8	4	203	97	9	1	61.1	0.00381857	2.45	0.12
CD-308	12	57	608	365	8	3	197	94	9	1	59.6	0.00185821	2.37	0.095
CD-309	11	110	514	397	7	3	258	91	8	1	59	0.000514617	2.33	0.1
CD-310	12	46	553	358	8	3	224	118	6	1	61	0.000640746	2.31	0.1
CD-311	13	55	543	351	8	3	227	98	10	1	57.1	0.000661129	2.4	0.11
CD-312	12	154	535	348	8	3	206	97	9	1	58.9	0.000400573	2.65	0.1
CD-313	10	196	470	336	8	3	229	98	9	1	55.9	0.000962696	2.78	0.11
CD-314	13	62	591	387	8	3	238	105	10	1	56.1	0.000876372	1.53	0.105
CD-315	13	54	555	671	8	3	220	101	11	1	61.5	0.008354247	1.12	0.11
CD-316	12	175	511	399	11	2	262	171	9	1	74.1	0.000993321	1.65	0.1
CD-317	11	202	539	652	10	15	237	161	10	1	68.6	0.000498751	1.8	0.11
CD-318	13	70	572	524	8	21	237	105	9	1	64.8	0.000823167	1.63	0.11
CD-319	13	46	558	391	8	3	239	123	11	1	58.5	0.000514617	1.42	0.11
CD-320	12	100	507	481	8	17	228	96	9	1	64.2	0.000388223	1.47	0.12
CD-321	12	67	467	379	8	2	241	110	11	1	56.1	0.001057524	1.5	0.11
CD-322	12	64	485	440	7	8	246	114	10	1	58.7	0.002622392	1.01	0.11
CD-323	11	61	427	350	8	2	235	126	9	1	54.3	0.000640746	0.9	0.12
CD-324	11	0	480	452	8	3	253	104	10	1	77.9	0.000426464	1.16	0.11
CD-325	12	66	493	421	8	2	250	103	10	1	54.2	0.000498751	1.35	0.11
CD-326	12	67	442	378	8	3	254	106	10	1	54.8	0.001161692	1.59	0.12
CD-327	12	88	497	413	8	3	242	100	11	1	56	0.000601846	2.25	0.12
CD-328	12	97	465	453	8	3	255	120	10	1	58.1	0.000726251	2.27	0.115
CD-329	11	120	499	422	8	2	246	112	11	1	60.6	0.000483374	2.25	0.115
CD-330	10	118	442	386	7	2	259	88	9	1	49	0.000904251	2.45	0.09
CD-331	10	182	400	440	7	11	247	102	8	1	54.4	0.000547879	2.55	0.095
CD-332	11	230	440	446	8	3	256	93	9	1	76.3	0.000620991	1.64	0.095
CD-333	11	94	429	448	7	3	248	97	11	1	51.2	0.000454028	1.35	0.11
CD-334	11	106	421	402	7	2	249	107	9	1	52.3	0.000483374	1.83	0.1
CD-335	12	101	446	404	8	2	266	99	11	1	52.5	0.000876372	2.55	0.13
CD-336	10	205	518	478	7	2	236	99	9	1	53.7	0.000849353	2.61	0.1
CD-337	13	91	481	461	8	2	267	92	11	1	53.1	0.001091165	2.72	0.12
CD-338	12	80	480	402	7	1	254	108	10	1	53.8	0.000773192	2.54	0.095
CD-339	11	74	468	403	8	2	266	107	9	1	52.7	0.001691586	1.8	0.1
CD-340	12	66	440	389	8	2	266	115	10	1	54.5	0.000583291	1.75	0.095
CD-341	12	75	452	380	8	3	267	111	9	1	52.5	0.000620991	1.5	0.09
CD-342	11	75	440	373	8	2	245	115	9	1	59.9	0.000661129	1.35	0.095
CD-343	12	81	520	377	8	3	239	128	8	1	66.4	0.000933016	1.07	0.1
CD-345	13	75	385	320	7	4	226	78	9	1	53.8	0.000933016	1.2	0.095
CD-346	13	67	443	323	8	2	222	91	8	1	57.9	0.000933016	1.45	0.095
CD-347	13	68	476	294	8	3	216	89	8	1	57.9	0.000849353	1.8	0.1
CD-348	13	69	436	342	8	3	230	91	8	1	60.8	0.000797788	1.35	0.11

جداول آنالیز نمونه‌های ژئوشیمیایی برگه ۱:۱۰۰۰۰۰ چهل کوره

CD-349	12	67	389	343	8	4	222	102	8	1	98.4	0.000823167	1.5	0.11
CD-350	13	77	523	331	8	3	218	91	7	1	74.6	0.001236777	1.53	0.09
CD-351	14	53	530	359	8	4	215	99	8	1	75.5	0.000726251	1.57	0.11
CD-352	13	55	446	347	7	4	217	87	8	1	78.9	0.001091165	1.7	0.09
CD-353	13	52	480	338	7	3	215	94	8	1	91.6	0.000661129	2.02	0.11
CD-354	13	53	478	396	8	3	221	92	8	1	65.9	0.002041247	1.89	0.1
CD-355	15	50	484	305	9	3	208	143	8	1	77.6	0.000565308	1.65	0.11
CD-356	13	65	489	374	8	3	216	92	7	1	71.5	0.000661129	1.61	0.095
CD-357	14	125	483	323	8	3	212	105	7	1	58.59	0.000640746	1.57	0.11
CD-358	13	89	455	343	8	4	214	94	8	1	57.1	0.000962696	1.73	0.11
CD-359	14	52	422	368	8	3	208	102	8	1	60.6	0.000876372	1.2	0.11
CD-360	13	57	401	309	8	4	218	113	9	1	60	0.001091165	1.43	0.11
CD-361	13	48	403	353	8	4	221	96	7	1	58.3	0.000601846	1.72	0.11
CD-362	14	53	416	378	8	3	231	105	9	1	60.3	0.00068216	1.51	0.095
CD-363	13	48	507	341	8	3	220	95	7	1	55.5	0.001745397	1.2	0.1
CD-364	14	60	472	375	8	4	218	103	10	1	56.4	0.000749354	1.31	0.1
CD-365	14	53	462	329	9	4	214	124	8	1	62.2	0.000876372	1.35	0.12
CD-366	14	63	471	418	8	3	217	94	9	1	57.5	0.000797788	1.47	0.11
CD-367	14	84	494	418	9	5	214	100	8	1	67.2	0.000823167	1.57	0.11
CD-368	13	69	527	425	8	4	241	88	8	1	54.9	0.002242314	1.56	0.1
CD-369	13	96	472	465	8	4	234	86	8	1	53.8	0.000726251	1.5	0.1
CD-370	13	83	428	402	8	2	210	87	8	1	52.4	0.000749354	1.32	0.1
CD-371	13	64	484	391	7	1	203	91	7	1	53.9	0.000797788	1.27	0.1
CD-372	14	82	467	380	8	3	198	105	7	1	58.8	0.001236777	1.39	0.095
CD-373	12	50	506	348	6	2	211	98	7	1	54	0.000640746	1.95	0.115
CD-374	15	72	547	348	7	3	207	136	9	1	64.8	0.000726251	1.45	0.095
CD-375	13	73	475	361	7	2	209	92	8	1	49.5	0.000530988	1.05	0.095
CD-376	10	59	436	361	4	3	215	96	5	1	53.4	0.000749354	1	0.09
CD-377	11	56	436	385	5	3	214	81	7	1	48.1	0.000583291	0.97	0.085
CD-378	13	71	548	342	7	2	204	98	8	1	55.6	0.000993321	1.89	0.11
CD-379	15	61	542	332	8	2	208	94	9	1	57.4	0.000849353	2.25	0.09
CD-380	13	68	538	364	7	3	216	113	7	1	56.5	0.001358602	2.01	0.11
CD-381	14	56	470	306	8	3	211	116	9	1	59.5	0.000962696	1.8	0.12
CK-382	13	48	450	466	5	3	217	86	6	1	53.4	0.000849353	1	0.09
CK-383	16	53	516	530	8	3	222	95	10	1	58.6	0.001236777	0.375	0.1
CK-384	16	50	533	535	8	2	216	84	8	1	57.2	0.00102492	1.06	0.1
CK-385	15	60	419	429	8	3	219	83	9	1	56.1	0.000962696	1.65	0.1
CK-386	14	61	414	428	6	2	220	94	6	1	56.5	0.001539902	1.99	0.1
CK-387	15	59	462	600	8	2	229	88	10	1	58.9	0.000962696	2.25	0.1
CK-388	16	53	466	563	8	3	209	100	7	1	61.2	0.002	1.56	0.1
CK-389	15	54	420	558	7	3	268	96	8	1	56.6	0.0023	0.6	0.12
CK-390	16	53	442	526	7	3	233	83	7	1	55.9	0.0015	1.09	0.095
CK-391	16	58	446	377	8	3	212	87	9	1	55.9	0.0019	1.42	0.12
CK-392	17	55	619	895	8	3	209	85	8	1	62.7	0.0021	0.89	0.085
CK-393	16	53	445	515	8	3	210	90	8	1	58.6	0.0013	0.375	0.095
CK-394	15	58	450	381	8	3	204	93	8	1	57.1	0.0012	0.56	0.09
CK-395	14	45	376	450	8	3	279	119	9	1	73	0.0013	0.6	0.11
CK-396	15	56	470	468	9	5	211	114	9	1	66.1	0.0014	0.55	0.09
CK-397	15	59	425	384	8	5	220	107	9	1	64	0.0013	0.375	0.1
CK-398	14	47	433	358	8	4	221	102	7	1	62.4	0.001	0.5	0.095
CK-399	15	69	472	437	8	5	218	100	13	1	64	0.00076	0.375	0.085
CK-400	13	56	466	461	8	4	215	117	9	1	65.2	0.0011	1.23	0.09
CK-401	15	63	437	386	9	4	222	135	9	1	71.2	0.00094	1.87	0.095
CK-402	15	57	448	361	9	4	218	130	7	1	81.6	0.00076	1.52	0.1
CK-403	16	66	487	419	9	6	231	152	11	1	77.2	0.00078	1.35	0.085
CK-404	15	59	492	461	9	4	248	116	9	1	72.4	0.00096	1.54	0.095
CK-405	15	72	497	432	9	5	231	147	11	1.1	74.2	0.001	1.72	0.09
CK-406	15	62	493	449	9	5	219	125	10	1	74.4	0.00089	1.78	0.12

جداول آنالیز نمونه‌های ژئوشیمیایی برگه ۱:۱۰۰۰۰۰ چهل کوره

CK-407	16	69	523	485	10	6	236	131	10	1.1	70.8	0.0013	1.95	0.09
CK-408	15	70	470	452	9	6	227	119	10	1	67.7	0.0011	1.64	0.09
CK-410	14	52	443	552	9	6	260	140	10	1	76.6	0.00095	1.73	0.115
CK-411	16	51	490	557	10	6	248	146	10	1	76	0.00081	1.95	0.09
CK-412	13	43	429	239	8	8	242	106	9	1	62	0.00076	1.56	0.095
CK-413	12	45	428	750	9	37	272	123	7	1	72	0.001	1.27	0.11
CK-414	13	54	466	562	9	5	230	114	9	1	63.3	0.0011	1.23	0.11
CK-415	13	46	437	416	9	6	229	124	8	1	65.4	0.00082	1.2	0.105
CK-416	16	52	434	482	9	6	223	182	9	1	67.9	0.00088	1.41	0.11
CK-417	13	53	419	418	10	5	218	149	7	1	72.6	0.001	1.5	0.085
CK-418	13	56	408	387	9	5	209	138	10	1	67.4	0.00094	1.58	0.1
CK-419	13	48	453	761	9	4	255	114	8	1	65.1	0.0013	1.8	0.1
CK-420	13	49	433	483	9	4	231	114	8	1	63.1	0.001	1.61	0.1
CK-421	14	49	469	491	9	5	235	126	9	1	70	0.00088	1.8	0.085
CK-422	13	49	508	782	9	6	237	114	10	1	72.1	0.00098	1.55	0.095
CK-423	12	50	457	493	8	4	222	94	7	1	62.4	0.0013	1.35	0.105
CK-424	14	62	495	628	10	6	226	113	10	1	67.5	0.00082	1.5	0.085
CK-425	14	47	471	602	9	4	220	115	8	1	66.9	0.0014	1.5	0.095
CK-426	15	53	487	638	10	6	209	113	11	1	67.2	0.001	1.25	0.085
CK-427	15	54	497	678	10	7	212	113	8	1	78.1	0.00094	1.05	0.11
CK-428	114	53	468	520	10	6	215	115	10	1	69.2	0.0012	0.66	0.085
CK-429	16	56	435	789	10	5	220	111	8	1	71.7	0.00094	0.375	0.1
CK-430	15	56	514	591	9	7	220	114	9	1	66	0.0011	1.05	0.1
CK-431	14	56	510	449	10	5	219	119	10	1	68.9	0.00084	1.35	0.1
CK-432	14	50	511	401	10	6	215	115	9	1	65.7	0.00086	1.59	0.09
CK-433	13	60	494	477	9	7	215	114	10	1	74.4	0.001	0.6	0.08
CK-434	12	41	407	258	8	6	235	90	9	1	66.1	0.00086	1.6	0.105
CK-435	12	49	422	398	9	6	218	115	8	1	64	0.0009	1.95	0.11
CK-436	12	51	455	401	9	6	221	118	9	1	64.3	0.00096	1.87	0.105
CK-437	14	52	500	481	11	5	218	130	10	1	82.5	0.0011	0.75	0.105
CK-438	15	55	545	463	11	7	217	143	10	1	73.8	0.00094	0.74	0.11
CK-439	15	50	500	569	10	5	217	135	10	1	73.3	0.00086	0.72	0.11
CK-440	13	53	513	347	10	4	218	127	9	1	66.5	0.0034	0.94	0.1
CK-441	13	46	485	429	10	5	227	117	9	1	65.6	0.0011	1.05	0.11
CK-442	13	48	462	427	10	7	223	122	10	1	65.5	0.00086	0.88	0.085
CK-443	12	46	454	432	10	3	225	125	9	1	69.5	0.00088	0.79	0.105
CK-445	14	49	508	450	10	5	219	147	11	1	75.5	0.0014	1.32	0.105
CK-446	13	60	474	495	10	5	293	122	10	2	61.6	0.0018	0.89	0.11
CK-447	13	52	491	261	8	6	227	123	7	1	62.3	0.0048	0.65	0.1
CK-448	12	52	442	250	8	5	227	111	8	1	61	0.0017	1.36	0.085
CK-449	14	58	513	273	8	7	224	132	8	1	73.1	0.0018	1.72	0.105
CK-450	14	55	488	287	9	11	223	130	10	1	72.4	0.002	1.35	0.105
CK-451	14	57	524	341	9	9	223	127	10	1	74.1	0.002	1.12	0.1
CK-452	12	60	483	294	8	6	230	105	7	1	67.7	0.0014	1	0.1
CK-453	12	53	455	229	8	5	222	116	8	1	66.4	0.0012	0.92	0.1
CK-454	13	59	476	226	8	6	224	121	11	1	62.3	0.0013	1.08	0.105
CK-455	11	54	535	255	8	6	228	103	8	1	62.4	0.0012	1.25	0.105
CK-456	11	60	468	260	8	7	230	106	10	1	66	0.0014	1.3	0.1
CK-457	11	58	499	240	8	5	223	103	9	1	63.7	0.0012	1.58	0.11
CK-459	12	65	536	274	8	5	240	107	11	1	63.1	0.0011	0.85	0.1
CK-460	10.7	60	473	265	8	7	222	106	6	1	61.1	0.0015	1.03	0.095
CK-461	12	68	486	265	8	4	238	108	9	1	65.1	0.0011	1.25	0.09
CK-462	12	68	519	290	9	7	236	118	7	1	70.1	0.0012	1.08	0.11
CK-463	11	59	473	274	8	6	247	113	9	1	60.6	0.0013	0.99	0.08
CK-464	12	65	486	286	8	8	246	104	10	1	61.6	0.0014	0.9	0.095
CK-465	11	62	526	272	9	8	256	119	7	1	66.5	0.0017	0.99	0.105
CK-466	11	74	511	490	8	4	248	99	7	1	62.9	0.0011	0.95	0.12
CK-467	11	64	468	263	8	7	246	109	8	1	61.7	0.0012	0.92	0.095

جداول آنالیز نمونه‌های ژئوشیمیایی برگه ۱:۱۰۰۰۰۰ چهل کوره

CK-468	11	64	468	263	8	7	246	109	8	1	61.7	0.0011	0.77	0.11
CK-469	11	67	499	292	9	6	250	106	8	0.75	69.5	0.0011	0.65	0.105
CK-470	11	83	567	312	9	7	256	111	8	1	75.4	0.0015	0.87	0.11
CK-471	12	58	470	302	9	10	261	101	10	1	70.9	0.001	0.92	0.11
CK-472	13	81	520	349	9	7	253	99	9	1	69.8	0.0011	0.86	0.1
CK-473	11	59	454	252	9	6	260	116	9	1	69.9	0.0012	0.65	0.095
CK-474	11	54	450	231	9	7	255	115	6	1	69.8	0.003	0.55	0.11
CK-475	12	65	471	297	9	10	251	109	9	1	68	0.001	0.52	0.11
CK-476	10	50	459	252	9	8	259	117	7	1	64.3	0.0009	0.74	0.1
CK-477	12	55	472	257	9	6	259	120	8	1	65.3	0.00098	0.92	0.09
CK-478	11	44	403	286	9	7	262	117	6	1	62.7	0.001	1.58	0.115
CK-479	11	76	390	302	8	8	257	93	8	1	57	0.00077	1.72	0.105
CK-480	9	328	370	677	8	5	225	95	6	0.75	60.5	0.00088	0.81	0.105
CK-481	11	69.9	410	270	8	6	253	124	8	1	63.9	0.0015	0.375	0.105
CK-482	10	107	399	329	8	5	253	86	7	0.75	59.1	0.0014	0.61	0.09
CK-483	12	58	386	271	9	12	244	132	8	1	73.2	0.0012	0.65	0.11
CK-484	9	48	393	241	8	4	244	91	6	0.75	56.4	0.0009	0.6	0.09
CK-485	11	48	438	296	8	9	249	104	8	1	59	0.0009	0.65	0.105
CK-486	11	46	421	309	8	8	252	122	8	1	62	0.0008	0.62	0.11
CK-487	10	50	374	228	8	8	238	85	8	1	52.4	0.0012	0.59	0.095
CK-488	10	78	405	313	8	10	240	108	8	0.75	64.2	0.00076	1	0.1
CK-489	11	62	370	250	8	6	243	106	8	1	61.3	0.00088	1.12	0.095
CK-490	10	71	406	308	8	7	242	106	8	1	60.5	0.0021	0.92	0.1
CK-491	10	110	439	498	8	9	242	99	8	0.75	102.1	0.0009	0.79	0.095
CK-492	10	6	411	270	9	5	237	105	7	0.75	59.2	0.001	0.65	0.1
CK-493	12	80	413	275	8	11	23	101	10	1	58.7	0.0012	0.52	0.095
CK-494	11	71	397	321	8	12	242	95	7	0.75	58.6	0.00098	0.63	0.09
CK-495	15	89	415	480	8	3	285	106	8	2	82.4	0.0013	0.65	0.09
CK-496	17	89	449	572	9	4	291	127	9	2	88.2	0.0011	0.6	0.085
CK-497	16	125	443	492	8	7	295	88	10	2	78.8	0.0011	0.65	0.08
CK-498	15	73	438	461	8	4	301	82	11	2	69.6	0.0011	0.5	0.08
CK-499	12	56	441	470	5	3	298	84	7	2	66.6	0.001	0.375	0.085
CK-500	14	66	453	489	7	3	278	104	10	2	84.1	0.00079	0.5	0.075
CK-501	16	76	508	538	9	3	280	95	13	2	76.9	0.0014	0.52	0.1
CK-502	13	62	480	480	7	4	278	86	7	2	94.1	0.0016	0.65	0.08
CK-503	14	74	479	650	7	10	260	87	9	2	96.8	0.0023	0.72	0.08
CK-504	17	69	519	505	9	3	282	98	9	2	101.3	0.0027	0.62	0.075
CK-505	16	64	524	483	9	4	283	90	8	2	87.4	0.0016	0.52	0.07
CK-506	17	83	534	443	9	4	267	93	10	2	93.8	0.0019	0.78	0.075
CK-507	16	68	502	649	9	2	288	100	10	2	79.4	0.0028	0.99	0.08
CK-508	17	74	559	690	9	3	278	99	11	2	85.4	0.0022	0.75	0.07
CK-509	16	72	542	490	10	2	285	97	10	2	95.7	0.0013	0.52	0.07
CK-510	16	64	620	484	9	8	289	109	11	2	88.5	0.0012	0.5	0.085
CK-511	17	78	478	481	10	3	285	107	12	2	92.5	0.0021	0.375	0.08
CK-512	16	66	477	446	9	2	290	118	11	2	92.1	0.0011	0.375	0.085
CK-513	15	58	450	494	9	3	289	102	12	2	84	0.0014	0.375	0.08
CK-514	16	65	431	466	9	3	285	115	12	2	100.6	0.001	0.5	0.08
CK-515	15	78	481	820	10	3	250	117	10	2	103.3	0.0013	0.92	0.075
CK-516	17	80	473	701	10	3	274	103	13	2	87.4	0.0025	0.87	0.075
CK-517	16	85	442	509	9	2	275	97	11	2	89.8	0.001	0.72	0.07
CK-518	18	79	475	501	10	3	286	105	15	2	95.1	0.0012	1.06	0.1
CK-519	15	63	468	528	9	3	283	92	11	2	83.5	0.0015	1.18	0.085
CK-520	17	69	454	498	9	3	283	93	14	2	85.7	0.0012	0.77	0.075
CK-521	15	67	424	461	9	3	279	102	8	2	79.5	0.001	0.375	0.08
CK-522	17	68	441	480	9	3	280	90	14	2	74.3	0.001	0.5	0.075
CK-523	17	225	447	580	9	3	269	121	12	2	87.9	0.0009	0.52	0.09
CK-524	15	148	461	507	9	3	274	89	12	2	75.6	0.001	0.89	0.09
CK-525	18	75	527	525	9	2	279	96.9	11	2	79.9	0.0012	0.92	0.1

جداول آنالیز نمونه‌های ژئوشیمیایی برگه ۱:۱۰۰۰۰۰۰ چهل کوره

CK-526	18	72	524	569	9	4	284	101	15	2	77.5	0.0009	0.73	0.1
CK-527	15	61	511	484	9	3	274	88	10	2	71	0.0022	0.59	0.11
CK-528	16	51	447	454	8	3	259	102	13	2	69.5	0.0012	0.63	0.095
CK-529	15	59	450	425	8	3	252	106	9	2	73	0.0014	0.65	0.075
CK-530	13	59	427	422	5	2	248	81	8	2	64	0.0011	0.5	0.085
CK-531	14	58	466	431	8	3	264	85	11	2	68.5	0.001	0.375	0.08
CK-532	14	54	473	435	9	2	268	93	11	2	68.8	0.0012	0.5	0.075
CK-533	16	63	458	453	9	3	266	125	14	2	79.7	0.0015	0.59	0.085
CK-534	14	52	469	395	9	3	259	126	10	2	80.3	0.001	0.62	0.085
CK-535	14	51	473	435	9	2	265	90	12	2	76.5	0.0012	0.85	0.1
CK-536	15	63	534	440	10	3	257	92	9	2	80.8	0.0015	0.71	0.085
CK-537	15	60	432	451	8	2	265	81	13	2	64.9	0.001	0.65	0.12
CK-538	13	49	454	435	9	3	275	114	10	2	78.19	0.0011	0.7	0.095
CK-539	14	57	469	468	10	3	260	105	10	2	85.3	0.0013	0.79	0.09
CK-540	15	69	475	466	10	3	254	98	11	2	85.3	0.0011	0.63	0.11
CK-541	14	54	482	450	9	3	260	86	8	2	80.1	0.0013	0.375	0.1
CK-542	14	67	479	489	10	2	262	101	14	2	85.9	0.0011	1.08	0.1
CK-543	12	53	410	488	8	2	250	86	8	2	71	0.0008	1.25	0.095
CK-544	11	53	417	429	6	2	250	81	7	2	63.7	0.0011	0.75	0.09
CK-545	15	55	528	359	8	2	261	96	11	2	56.9	0.0012	0.375	0.1
CK-546	14	60	500	436	7	4	279	91	13	2	54.1	0.001	0.76	0.1
CK-547	15	59	519	378	8	4	285	115	14	2	83	0.0007	1.05	0.11
CK-548	16	55	518	374	8	6	280	137	12	2	66.5	0.0013	0.76	0.1
CK-549	16	60	533	449	8	4	278	108	16	2	63.2	0.0011	0.375	0.1
CK-550	14	111	584	463	8	3	286	101	10	2	68.7	0.0011	0.5	0.11
CK-551	15	91	610	490	9	5	316	127	12	2	97.7	0.0008	0.59	0.11
CK-552	16	75	610	440	9	4	290	132	11	2	75.2	0.001	0.5	0.09
CK-553	15	82	550	419	8	4	273	118	12	2	61	0.0009	0.375	0.1